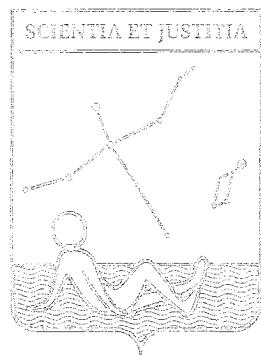


А. В. Веселова, М. И. Волобуева, М. А. Пирогов, И. А. Утешев



Астрофизический дивертисмент

Задачи и упражнения
по астрономии
и астрофизике

Учебно-методическое пособие



Onebook.ru

Москва
2018

УДК 52(076.1)

ББК 22.6

A91

A91 *А. В. Веселова, М. И. Волобуева, М. А. Пирогов, И. А. Утешев*

Астрофизический дивертимент. Задачи и упражнения по астрономии и астрофизике / Под ред. И. А. Утешева.

— М.: ООО «Сам Полиграфист», 2018. — 154 с.

ISBN 978-5-00077-697-1

Книга представляет собой учебно-методическое пособие по астрономии и астрофизике, основанное на материалах учебно-тренировочных сборов кандидатов в сборную команду Российской Федерации для участия в международной олимпиаде школьников. В сборнике представлены 84 теоретических задачи разного уровня сложности с подробными решениями и упражнениями для самостоятельного решения.

Книга послужит пособием для педагогов и школьников старших классов при подготовке к астрономическим олимпиадам, а также для студентов высших учебных заведений, специализирующихся в области астрономии, физики или педагогики и желающих повысить свой уровень владения предметом.

УДК 52(076.1)

ББК 22.6

Авторы-

составители:

И. А. Утешев, А. В. Веселова, М. А. Пирогов, Р. А. Исхаков,
М. И. Волобуева, А. С. Шепелев, В. В. Григорьев, Н. Д. Марковов,
М. В. Костица, К. А. Гринин

Иллюстрации

Р. А. Исхаков

Вёрстка

И. А. Утешев

Рецензент

Н. А. Тараканов, к. ф.-м. н.

ISBN 978-5-00077-697-1

/ Коллектив авторов, 2018

Содержание

		Условия	Решения
1.	Геометрия и время		
1.1	Северная столица	9	13
1.2	День Луны	9	14
1.3	Псевдомарс	9	14
1.4	Gloria Mundi	10	15
1.5	Вечернее Облако	10	16
1.6	Не шути со временем	10	17
1.7	Геосинхронный спутник	10	17
1.8	Сверхновая 1987A	11	18
1.9	Yellowknives	11	19
1.10	«Беглянка»	11	21
1.11	Вращающийся наблюдатель	11	21
1.12	Нейтралитет	12	22
1.13	Далёкий рукав	12	23
1.14	Вифлеемская звезда	12	23
2.	Небесная сфера		
2.1	Полночь	25	29
2.2	А зори там тихие	25	31
2.3	Тени	25	32
2.4	Теория вероятностей	25	32
2.5	Три часа	26	34
2.6	Бейрут	26	34
2.7	Быть, а не казаться	26	36
2.8	Наблюдаемость	27	37
2.9	Pas de deux	27	38
2.10	Марибо	27	39
2.11	Реактивная тригонометрия	27	40
2.12	Кораблекрушение	28	41
2.13	Загадочный круг	28	42

3. Наиболее яркие		
3.1 Небесные курьи	7	17
3.2 Сбесивая Единственную спонс	7	19
3.3 Космодром на Юпитере	7	21
3.4 Байконур Трио	7	23
3.5 67Р	7	26
3.6 К Сатурну	7	28
3.7 Гранитная панель	7	34
3.8 Автоматы	7	37
3.9 Голограф	7	39
3.10 Ирикад 66	7	42
3.11 Mars Orbiter Mission	7	43
3.12 Мисса Местной группы	7	49
3.13 Экзопуны	7	51
3.14 Мюон напр	7	53
4. Оптика		
4.1 Операция «Аг»	57	53
4.2 В поиске за мёдзаты	57	54
4.3 Солнце через путь СМКС	57	55
4.4 Устье цепочки звезд	57	57
4.5 Оптика телескопа	58	57
4.6 Ежик в тумане	58	58
4.7 Горизонт событий	59	59
4.8 Соблю	59	61
4.9 Гравитационно-линзовый телескоп	59	61
4.10 Коронаzo	59	61
5. Частные и поля		
5.1 Циклотрон	93	100
5.2 Небес из атмосферы	95	100
5.3 Охуден	95	101
5.4 Марсийская высота	95	102
5.5 Гора на Титане	96	102
5.6 Да идиотки	96	103
5.7 Обратный комето-эффект	96	104
5.8 Солнечные	97	105
5.9 19 мая - не четвёртое	98	107
5.10 Пролёт ГЗК	99	108
5.11 Все фантазии	98	108
5.12 Гравитационные потоки	99	109

6 Законы излучения		
6.1 Багровый ужас	111	118
6.2 Аккреция на нейтронную звезду	111	118
6.3 Тройной альфа-процесс	111	119
6.4 Нейтрино	112	119
6.5 Пульсация цефелды	112	120
6.6 Одна фамилия	113	121
6.7 Давайте поговорим про это	113	122
6.8 Мегамазер	114	123
6.9 Спирт в космосе	114	124
6.10 Запрещённая зона	114	125
6.11 Dolce Vita	114	127
6.12 Довесть до белого каленъя	115	127
6.13 Фотометрия в полосе U	115	128
6.14 AstroSat	116	129
7 Галактики		
7.1 Утечка газа	133	136
7.2 Dark Matters	134	137
7.3 Теорсма Рыбака	134	138
7.4 Энергия вакуума	134	138
7.5 Ранняя Вселенная	134	139
7.6 Истина в Вине	134	141
7.7 Обозревая 21 см	135	142
Справочные данные		
D 1 Физические и астрономические постоянные	145	
D 2 Единицы измерения	146	
D 3 Измерение углов	147	
D 4 Элементарные частицы	147	
D 5 Формулы сферической тригонометрии	148	
D 6 Параметры орбит больших планет	149	
D 7 Физические характеристики Солнца и планет	149	
D 8 Характеристики карликовых планет	149	
D 9 Характеристики спутников больших планет	150	
D 10 Исчисление времени	151	
D 11 Ярчайшие звёзды земного неба	152	
D 12 Координаты некоторых городов России и мира	153	
D 13 Некоторые общепринятые значения величин	153	

Предисловие

Ста книга выходит в свет как раз в тот момент, когда курс астрономии массово возвращается в общесобразовательные школы после продолжительного забвения. Между тем история олимпиад школьников по астрономии в России не прерывалась: в 2018 году две крупнейшие в нашей стране астрономические олимпиады — Всероссийская и Санкт-Петербургская — разыграли четверть века, а Московская состоялась уже в 72-й раз. По сравнению с ними история международных олимпиад по астрономии выглядит более скромно: Международная астрономическая олимпиада (IAO) проводится с 1996 года, Международная олимпиада по астрономии и астрофизике (SOA) — с 2007 года.

С появлением международных олимпиад при поддержке Минобрнауки России стали проходить учебно-тренировочные сборы с целью обучения и подготовки талантливых школьников к формированию сборной команды России. Уже более 10 лет сборы проводятся в Санкт-Петербурге дважды в год. На них приглашаются победители и призёры заключительного этапа Всероссийской олимпиады школьников по астрономии. Параллельно со сборами для заинтересованных школьников проводится открытая Астрономическая школа.

За десять лет с момента основания Международная олимпиада по астрономии и астрофизике приобрела внушительный размер: на сегоднешний день в ней принимают участие школьники из более чем полусотни стран со всех континентов, за исключением Антарктиды. В 2017 году Минобрнауки России официально закрепило за ЮАО статус «главной» международной олимпиады по астрономии. К этому моменту Россия принимала участие в этой олимпиаде уже в седьмой раз, но выступления сборной были не слишком удачными: первую в истории золотую медаль для нашей страны забрал редактор этой книги лично в 2016 году на IX ЮАО в Индонезии, в то время как с IAO сборная ежегодно приносит по несколько золотых медалей. Это привело к пересмотрению подхода к подготовке на учебно-тренировочных сборах.

С 2016 года отбор в сборную производится по оригинальным комплектам задач повышенной сложности, по стилю и формату существенно отличающихся от всех российских астрономических олимпиад. Хотя задачи формально были оставлены в рамках школьной программы, без требований к наличию у участников каких-либо чисто «вузовских» знаний по физике и математике (за исключением, конечно, специализированных знаний в области астрономии, традиционных для астрономических олимпиад школьников), все ограничения на сложность были сняты. Это позволило не только более эффективно формировать сборную команду, отбирая тех ребят, которые способны хорошо решать не только определенный набор привычных «классических» задач, но и познакомить остальных участников сборов с нестандартными методами решения, с редко затрагиваемыми на олимпиадах разделами физики и астрономии, а также мотивировать их на поиск собственных, отличных от «шаблонных», способов решения.

Молодой коллектив преподавателей учебно-тренировочных сборов взял на себя труя собрать и обобщить материалы за минувшие два года. В данный сборник вошли исправленные и дополненные задачи со сборов и избранные задачи с международных олимпиад, условно поделенные на 7 тематических разделов. К некоторым задачам приведены упражнения для самостоятельного решения. Отметим особо концепцию этих упражнений: это не базовые задачи «для самопроверки», а логичным образом вытекающие из условия основной задачи вопросы, которые, вполне возможно, не имеют не только относительно простого, но и вообще сколько-нибудь заключенного решения. Это не должно приводить в смятение: желательно нам именно такие вопросы.

Успехов!

Геометрия и время

Астрономия, как наука, стала существовать с тех пор, как она соединилась с математикой.

А. Герцен

1.1 Северная столица

Определите длину L тени, отбрасываемой вертикальной мачтой высотой $H = 8$ м и диаметром $D = 20$ см на горизонтальную палубу корабля в местный солнечный полдень 21 декабря в Петербурге ($\varphi = 60^\circ$ с. ш.).

1.2 День Луны

В последний день IPhO – 2016, 17 июля, Луна пересекла меридиан Цюриха в 23:46 по центральноевропейскому времени, а в августе того же года произошло полутеневое лунное затмение продолжительностью около получаса. Найдите его дату и охарактеризуйте условия наблюдения в Цюрихе. Орбиту Луны считайте круговой, уравнением времени пренебрегите.

Город	Цюрих
Страна	Швейцария
Координаты	$47^\circ 23'$ с. ш. $8^\circ 32'$ в. д.
Часовой пояс	Central Europe UT+1
Площадь	88 км^2
Население	400 тыс.
Летнее время	Да, +1

1.3 Псевдомарс

Как известно, самые успешные астрологи астрологией не занимаются. Некоторые же прочие в своих расчётах заменяют планету Марс на воображаемый Псевдомарс. Положим, Псевдомарс существует на самом деле, и большая полуось его орбиты на 4.00% меньше, чем у орбиты Марса при равных эксцентриситетах.

Оцените, как часто происходят великие противостояния Псевдомарса. Исходя из предположения о совпадении физических характеристик Псевдомарса и Марса, оцените разницу их блесков во время соответствующих великих противостояний. Орбиту Земли считайте круговой.

1.4 *Gloria Mundi*

Earth's Transit Zone (ETZ) — область пространства, в которой плавающие в космосе космонавты могутфиксировать прохождения Земли по диску Солнца. Для землянина эта область соответствует полосе небесной сферы, охватывающей эклиптику (рис. 1.1).

Считая орбиту Земли круговой, рассчитайте угловую ширину θ_2 всей ETZ, а также ширину θ_f той её части, из которой могут наблюдаться полные прохождения — когда диск Земли полностью проецируется на солнечный.



Рис. 1.1. К задаче *Gloria Mundi*

1.5 *Вечернее Облако*

В какой день 2017 года кульминация Большого Магелланова Облака ($\alpha \approx 5.4^{\text{h}}$, $\delta \approx -70^{\circ}$) наблюдалась в Ибукете ($\phi = -8^{\circ}$, $\lambda = +98^{\circ}$, UT+7) в 9:00 вечера? Гринвичское звёздное время GST на 0^h UT 1 января того же года было равно GST₀ = 6^h 43^m.

1.6 *Не шуми со временем!*

Сегодня 24 сентября — самый длинный день в году!

Он вдвое длиннее, чем 25 марта.

В какой ближайшей к нынешнему Петербургу (60° с. ш., 30° в. д.) точке на поверхности Земли мог бы находиться путешественник во времени, будь приведённая запись правдива? Рефракцией и угловыми размерами Солнца пренебречите.

1.7 *Геосинхронный спутник*

Наклонение круговой орбиты геосинхронного спутника к плоскости экватора составляет $\theta = 6.69^{\circ}$. Вычислите значение максимальной возможной высоты этого спутника h для широты $\phi = 51.49^{\circ}$. Землю считайте шаром, атмосферной рефракцией пренебречите.

1.8 Сверхновая 1987A

SN 1987A на пике яркости 15 мая 1987 года имела видимую звёздную величину 3^m . Плавно уменьшая блеск, она перестала быть видимой невооружённым глазом к 4 февраля 1988 года. Предположим, что яркость объекта экспоненциально уменьшалась со временем.

Установите, когда сверхновая перестала быть доступна для визуального наблюдения в 6-дюймовый телескоп. Коэффициент светопередачи примите равным 70%.

1.9 Yellowknives

Ходят легенды, что в исчезнувшем племени Йеллоунайф существовал древний обычай: в момент, когда часовой угол Солнца составлял $13^h 29^m$, а пылающая звезда осеннего неба Альдебаран ($4^h 36^m, +16^\circ 31'$) пересекала небесный меридиан, главный жрец племени обращал свой взор на путеводную звезду — Полярную, в направлении которой небо озарялось разноцветными лентами, парящими в небе. Увидев ленты, согласно поверью, жрец запускал священные часы, отсчитывающие ровно 111 звёздных суток, по истечении которых члены племени должны увидеть первые талые воды. Эти часы отстают с ходом $\pi \cdot 10^{-3}$.

В 2017 году астрономическая весна наступила 20 марта в 10:28 по местному времени. Определите дату, когда юрлоунайфцы услышали бы первую капель в 2018 году.

1.10 «Беглянка»

Звезду Барнарда ($\alpha = 18.0^h, \delta = +4.7^\circ$), одиночную звезду в созвездии Змееносца, часто называют «летящей», поскольку она обладает самым большим из известных собственных движений: $\mu_\alpha = -798$ mas/год, $\mu_\delta = 10327$ mas/год. При параллаксе $\pi = 547$ mas её лучевая скорость составляет $v_r = -111$ км/с. Вычислите полную пространственную скорость звезды Барнарда относительно Солнечной системы.

1.11 Вращающийся наблюдатель

Спутник движется в обратном направлении по круговой экваториальной орбите на высоте $h = 5000$ км. Определите видимые угловые скорости ω_x и ω_y спутника в моменты, когда он находится в зените и на горизонте для наблюдателя на экваторе Земли. Ответ выразите в угловых минутах в секунду.

1.12 Нейтралитет

Будем считать, что за пределами солнечного круга кривая вращения Галактики плоская с $v = 240$ км/с, а диск нейтрального водорода простирается до галактоцентрического расстояния $R_{\text{disc}} = 50$ кпк. На галактической долготе $\ell = 140^\circ$ наблюдается облако H₂. Определите минимум возможное значение его галактоцентрической лучевой скорости.

1.13 Далёкий рукав

В 2010 году Dame и Thaddeus нашли новую часть письменного рукава Млечного Пути, изучая линию CO на 1.2-метровом телескопе CfA. Они обнаружили начало рукава на галактической долготе $\ell = 13^\circ$ (точка A на рис. 1.2), где газ имеет галактоцентрическую лучевую скорость -20.9 км/с. Полагая, что начиная с 5 кпк кривая вращения Галактики плоская (параметр плато $v = 240$ км/с), вычислите галактоцентрическое расстояние точки A.



Рис. 1.2. К задаче Далёкий рукав (не в масштабе)

1.14 Вифлеемская звезда

Соединения Юпитера и Сатурна в древности называли «великими». Вычислите средний период P их наступления и среднее угловое перемещение Ω планет между двумя последовательными событиями. Ближайшее великое соединение состоится 21 декабря 2020 года при коэффициенте элонгации 30.3° . В каком созвездии^{*} оно будет наблюдаваться? Иоганн Кеплер установил, что иногда великие соединения происходят трижды (!) за год благодаря попутному движению планет, как это было, например, в 7 году до н. э. В каком созвездии они тогда наблюдались? В каком созвездии находилось Солнце во время среднего из соединений такой серии?

* По возможности используйте полные или трехбуквенные (латинские) обозначения созвездий, например, Ursus Major или UMa.

Решения

1.1 Северная столица

21 декабря Солнце проходит точку зимнего солнцестояния, его склонение $\delta_3 = -\epsilon = -23^\circ 26'$. В полдень, в момент верхней кульминации высота Солнца над горизонтом составит

$$h_\odot = 90^\circ - \varphi + \delta_3 = 90^\circ - 60^\circ - 23^\circ 26' = 6^\circ 34',$$

и если бы светило являлось бесконечно удаленным точечным источником, то длина тени вдоль поверхности составила бы

$$\frac{H}{\operatorname{tg} h_\odot} \approx 8.7H \approx 70 \text{ м.}$$

Однако Солнце имеет конечный угловой размер ($2\rho_\odot \approx 32'$), поэтому геометрическая область тени представляет собой усечённую треугольную призму (рис. 1.3).

Вычислим длину тени, отбрасываемой мачтой на плоскость палубы:

$$L = \frac{D}{2 \operatorname{tg} \rho_\odot} \cdot \cos h_\odot = \frac{0.2 \text{ м} \times \cos 6^\circ 34'}{2 \times \operatorname{tg} 0^\circ 16'} = 21.3 \text{ м.}$$

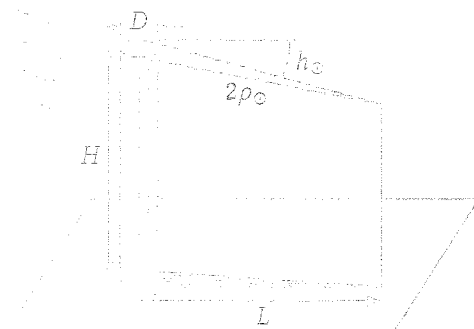


Рис. 1.3. Мачта и её тень

Упражнения

- Иследуйте форму области тени и её зависимость от геометрических параметров мачты D и H .
- Нарисуйте качественный график зависимости относительной длины проекции тени мачты на горизонтальную плоскость L/H от параметра D/H .
- Решите задачу в более правдоподобном случае конической мачты высотой H с диаметром основания D .
- Найдите угловую скорость тени в рассматриваемый момент времени.

1.2 День Луны

Заметим, что летом в Швейцарии действует центральноевропейское летнее время UTC+2. Поскольку по Гринингу (но UTC) верхняя кульминация Луны наблюдалась в $23^{\text{h}} 46^{\text{m}} - 2^{\circ} = 21^{\text{h}} 46^{\text{m}}$, а цюрихское время (долгота $8^{\circ} 32'$) опережает грининговское на $8^{\circ} 32'/15^{\circ} = 34^{\text{m}}$, по местному времени пересечение меридиана было зафиксировано в $21^{\text{h}} 46^{\text{m}} + 34^{\text{m}} = 22^{\text{h}} 20^{\text{m}}$. Следовательно, Луна «опережает» Солнце по прямому восхождению** на $22^{\text{h}} 20^{\text{m}} - 12^{\text{h}} = 10^{\text{h}} 20^{\text{m}}$.

Лунные затмения происходят в полнолуние, когда разница прямых восхождений Солнца и Луны составляет 12° . Ближайшее полнолуние наступило еще в июле — всего через пару дней, когда Луна прошла относительно Солнца $12^{\text{h}} + 10^{\text{h}} 20^{\text{m}} = 1^{\text{h}} 40^{\text{m}}$. До августовского полнолуния нужно «наверстать» еще 24^{h} , суммарно — $1^{\text{h}} 40^{\text{m}} + 24^{\text{h}} = 25^{\text{h}} 40^{\text{m}}$.

Поскольку относительное движение Луны и Солнца происходит с периодом в 1 синодический месяц, такая разница наконецится за

$$\frac{25^{\text{h}} 40^{\text{m}}}{24^{\text{h}}} \times 29.53^{\text{d}} \approx 31.6^{\text{d}},$$

Следовательно, лунное затмение произошло

$$17 \text{ июля } (23^{\text{h}} 46^{\text{m}}) + 31.6^{\text{d}} \approx 18 \text{ августа } (14^{\text{h}})$$

и наблюдалось в Цюрихе не могло.

Упражнения.

1. Как долго Луна пересекала меридиан Цюриха 17 июля?
2. Определите, через какое время после затмения Луна пронесла узел своей орбиты, если её верхняя кульминация 17 июля произошла на высоте 23.3° .

1.3 Псевдомарс

По третьему закону Кеплера орбитальный период псевдомарса

$$T = T_{\oplus} \cdot (1 - 0.04)^{3/2} = 686.98 \text{ сут.} \times 0.96^{1.5} = 646.18 \text{ сут.}$$

что соответствует синодическому периоду

$$S = \left(\frac{1}{T_{\oplus}} - \frac{1}{T} \right)^{-1} = \left(\frac{1}{365.26 \text{ сут.}} - \frac{1}{646.18 \text{ сут.}} \right)^{-1} = 840.18 \text{ сут.}$$

** Пренебрежение уравнением времени эквивалентно утверждению о нулевом эксцентриситете орбиты Земли и нулевом наклонении эклиптики к плоскости земного экватора. Про наклонение орбиты Луны тоже тем более можно забыть.

В великие противостояния планета и Земля находятся примерно в одних и тех же точках своих орбит, соответствующих наибольшему сближению. Заметим, что $S : T = 13 : 10$ с точностью $\sim 2 \cdot 10^{-4}$. Следовательно, великие противостояния Псевдомарса происходят каждые $13T \approx 10S = 23.00$ земных года.

Марс и Псевдомарс не излучают сами, а лишь отражают солнечный свет, поэтому разница их блесков обусловлена двумя «пространственными» факторами — близостью к наблюдателю и к Солнцу. Освещённость обратно пропорциональна квадрату расстояния до источника, откуда

$$\Delta m = 2.5 \lg \left(\frac{a_{\text{♂}} (1 - e_{\text{♂}}) - a_{\oplus}}{0.96 a_{\text{♂}} (1 - e_{\text{♂}}) - a_{\oplus}} \right)^2 + 2.5 \lg \left(\frac{a_{\text{♂}} (1 - e_{\text{♂}})}{0.96 a_{\text{♂}} (1 - e_{\text{♂}})} \right)^2 =$$

геометрическая $\Delta m_{\text{♂}}$
тепловенная $\Delta m_{\text{♂}}$

$$= 5 \lg \frac{1.38 - 1.00}{0.96 \times 1.38 - 1.00} - 5 \lg 0.96 = 0.43^m.$$

Упражнение.

Решите обратную задачу: по заданному промежутку времени между великими противостояниями Псевдомарса — 23 земных года — найдите возможную величину большой полуоси его орбиты.

1.4 Gloria Mundi

$$\theta_z \approx 2 \arcsin \frac{R_{\odot} + R_{\oplus}}{a_{\oplus}} = 0.538^\circ;$$

$$\theta_f \approx 2 \arcsin \frac{R_{\odot} - R_{\oplus}}{a_{\oplus}} = 0.528^\circ.$$

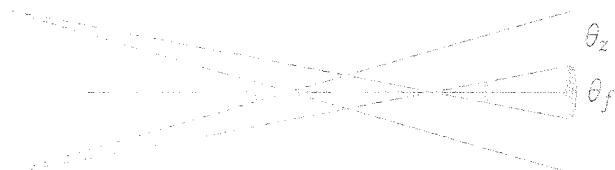


Рис. 1.4. Тень и полутень Земли

Упражнения

1. Оцените длину конуса тени Земли.
2. Рассчитайте максимально возможную продолжительность прохождения Земли по диску Солнца для наблюдателя, покоящегося относительно центра Солнца.
3. Определите вариацию ширины ETZ, обусловленную эллиптичностью орбиты.
4. Вычислите угловую ширину части ETZ, соответствующей центральным транзитам, когда Земля пересекает луч, соединяющий наблюдателя и центр Солнца.

1.5 Вечернее Облако

В условии подразумевается, конечно, верхняя кульминация Облака — нижняя кульминация происходит под горизонтом, её наблюдать нельзя.

Гринвичское местное солнечное время в момент верхней кульминации БМО в Пхукете есть

$$\text{UT} = 21^{\text{h}} - 7^{\text{h}} = 14^{\text{h}}.$$

Выразим гринвичское звёздное время GST через местное звёздное время s , которое совпадает с привычным восходствием α Облака в момент его верхней кульминации:

$$\text{GST} = s - \lambda = \alpha - \lambda = 5.4^{\text{h}} - 98^{\circ}/15^{\circ} = 22^{\text{h}} 52^{\text{m}}.$$

Оно связано с количеством прошедших с начала года дней N и всемирным временем UT соотношением

$$\text{GST} = \text{GST}_0 + \left\{ \frac{N}{365.2422} + \frac{\text{UT}}{23^{\text{h}} 56^{\text{m}} 04^{\text{s}}} \right\} \times 24^{\text{h}},$$

справедливость которого нетрудно проверить, используя его линейность по N и по UT: в самом деле, через 1 сидерические сутки и через 1 тропический год ожидаем увидеть на звёздных часах то же самое.²⁰⁶

Теперь уже можно вычислить N :

$$\begin{aligned} N &= \left(\frac{\text{GST} - \text{GST}_0}{24^{\text{h}}} - \frac{\text{UT}}{23^{\text{h}} 56^{\text{m}} 04^{\text{s}}} \right) \times 365.2422 = \\ &= \left(\frac{22^{\text{h}} 52^{\text{m}} - 0^{\text{h}} 43^{\text{m}}}{24^{\text{h}}} - \frac{14^{\text{h}}}{23^{\text{h}} 56^{\text{m}} 04^{\text{s}}} \right) \times 365.2422 = 32.14 \approx 32. \end{aligned} \quad (1.1)$$

Итак, Большое Магелланово Облако кульминировало в Пхукете в 21:00 2 февраля 2017 года.

Упражнения.

- Обоснуйте законность окружности при захождении количества дней N в (1.1). Как дробная часть результата может повлиять на ответ задачи?
- Решите эту задачу для 2007 года.
- Решите эту задачу в 2007 году.

*** Это — хитрый способ учесть преломление и не усложнять расчёты.

1.6 Не шуми со временем

Продолжительность дня 24 сентября максимальна, если около этого дня Солнце проходит точку солнцестояния. Тогда около 25 марта наступает противоположное солнцестояние.

Часовой угол захода Солнца t связан с его склонением δ и широтой φ соотношением

$$\cos t = -\operatorname{tg} \delta \operatorname{tg} \varphi,$$

а продолжительность дня составляет примерно $2t$. Тогда условие задачи формализуется как

$$\arccos(\pm \operatorname{tg} \varepsilon \operatorname{tg} \varphi) = 2 \arccos(\pm \operatorname{tg} \varepsilon \operatorname{tg} \varphi).$$

$$\therefore \operatorname{tg} \varepsilon \operatorname{tg} \varphi = \pm \frac{1}{2};$$

$$\varphi = \operatorname{arctg}\left(\mp \frac{1}{2 \operatorname{tg} \varepsilon}\right) \approx \begin{cases} +49^\circ, & \text{если } 24.09 - \text{ летнее солнцестояние;} \\ -49^\circ, & \text{если } 24.09 - \text{ зимнее солнцестояние.} \end{cases}$$

Подходящая точка, очевидно, находится в северном полушарии и имеет долготу, равную долготе Петербурга: 49° с. ш., 30° в. д.

Упражнение.

Оцените, в какое ближайшее тысячелетие могло занести путешественника, если он пользуется григорианским календарём? В каком веке запись будет верна для юлианского календаря?

1.7 Геосинхронный спутник

Спутник достигает максимальной высоты при пересечении плоскости меридиана (рис. 1.5). Заметим, что

$$\begin{aligned} R \sin(\varphi - \theta) &= [r - R \cos(\varphi - \theta)] \operatorname{tg} \psi, \\ \psi &= 90^\circ - (\varphi - \theta) - h. \end{aligned}$$

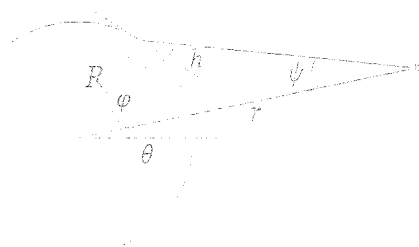


Рис. 1.5. К расчёту горизонтального параплакса спутника

$$\alpha_1 \cdot h = 90^\circ - (\varphi + \psi) + \arctg \left(\frac{R \sin \varphi}{r + R \cos \varphi} \right) =$$

$$\frac{\pi}{2} - \frac{1}{2} \arctg \left(\frac{R \sin \varphi}{r + R \cos \varphi} \right)$$

Осталось рассчитать радиус орбиты спутника, например, используя третий закон Кеплера в сравнении с Землей:

$$r = \rho \cdot \zeta \times \left(\frac{25^{\text{h}} 56^{\text{m}} 04^{\text{s}}}{27.0217^{\text{d}}} \right)^{\frac{2}{3}} = 42.3 \cdot 10^6 \text{ км}, \quad (1.2)$$

также непосредственно:

$$r = \sqrt[3]{GM_{\oplus} \times \left(\frac{25^{\text{h}} 56^{\text{m}} 04^{\text{s}}}{27^{\text{d}}} \right)^2} = 42.16 \cdot 10^6 \text{ км}. \quad (1.3)$$

Изменение изостановки получаем:

$$h = 90,00^\circ - 4 \pi \cdot 50^\circ + \arctg \left(\frac{100^{\text{h}} 15^{\text{m}} 45^{\text{s}}}{47,16^{\circ} + 0,37^{\circ} \cdot \cos(11,80^\circ)} \right) = 38,40^\circ$$

Задачи

- Рассчитайте значение максимальной звездной яркости, при котором спутник виден.
- Возможна ли при таком горизонтальном зоне на орбите спутника ситуация, когда его наблюдается тректория, когда он поднимется выше горизонта h_0 .
- Объясните различие результатов вычислений (1.2) и (1.3).

1.3 Сверхновая 1987A

Рассчитаем проникающую способность данного телескопа, сравнив его с неодарённым глазом:

$$m_p = m^{\text{вн}} + 5 \lg \frac{6 \times 25,4 \text{ км}}{h \text{ км}} + 2,5 \lg (0,79 \times 0,06^{\text{вн}})$$

$$= 21,5 + 5 \lg \frac{6 \times 25,4}{h} + 2,5 \lg (0,79 \times 0,06^{\text{вн}})$$

Максимальное уменьшение яркости в спектральной составляющей линейному величинство её спектральной величинности:

$$m - m_p = -2,5 \lg \frac{B}{B_p} = -2,5 \lg \exp \left\{ -\frac{1}{2} \right\} = \frac{-2,5 \lg 2}{2} \approx 1,3 \text{ км}$$

С 15.05.1987 г. до 04.02.1988 г. прошло 265 ± 1 дней. Составим пропорцию:

$$\frac{t^*}{265^d} = \frac{12.6^m - 3^m}{6^m - 3^m} \Rightarrow t^* \approx 850^d.$$

Прибавляя 850 дней к 15 мая 1987 года, получим искомую дату — около 11 сентября 1989 года.

Упражнения.

- Чем обусловлен экспоненциальный спад яркости сверхновой?
- На самом деле, степенная связь яркости и времени устанавливается через некоторое время после пика. Решите задачу, используя кривую блеска 1.6.

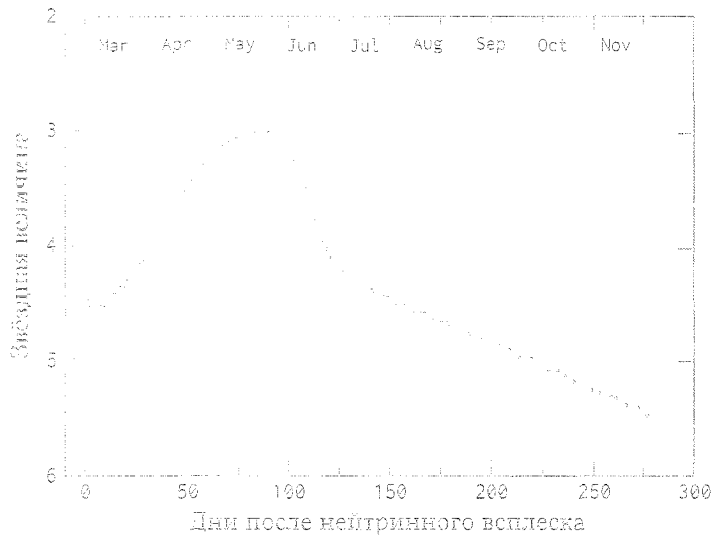


Рис. 1.6. Кривая блеска SN1987A

(R. Kirshner, E. Schlegel!)

1.9 Yellowknives

В момент пересечения Альдебараном небесного меридиана его часовой угол составляет $t_1 = 12^h$ в нижней кульминации или $t_2 = 0^h$ — в верхней. Часовые углы и прямые восхождения Альдебарана и Солнца связаны соотношением

$$s = t - \alpha = t_0 + \alpha_0,$$

где s — местное звёздное время. Отсюда можно рассчитать прямое восхождение истинного Солнца.

В первом случае $\alpha_1 = 3^h 07^m$, так что через сотню дней прямое восхождение Солнца составит около 10^h . Поскольку видна Полярная и сменяются

прежняя година, тщательно, очищена, изучена и вычищена, поэтому
мы можем использовать зону Константина Калугина, чтобы не ошибиться.
Во втором случае $\alpha_2 = 15^\circ 07''$. Используя косинус формулу для
взаимодействия с грибного Солнца. Заметим, что уравнение приведено

$$\begin{array}{ll} \text{Среднее} & \text{Полное} \\ \varphi \equiv \text{солнечес} & = \text{солнечес} + t_2 + \lambda_2 - 15^\circ 07'' \text{ для} \\ \text{время} & \text{брата} \end{array}$$

Приходя к уравнению $\alpha_0 = \alpha_2 + \varphi(t_0)$, то есть

$$\alpha_0 = 15^\circ 07'' + 7.53'' \cos \alpha_0 = 1.50'' \sin \alpha_0 + 9.85'' \sin \alpha_0.$$

Оно решается методом итераций, в результате получим $\alpha_0 \approx 15^\circ 23''$.

Причём похождение среднего Солнца линейно растёт со временем
(с точностью до первого числа обратное)

$$\alpha_0 = \frac{T_0}{T_1} \times 15^\circ$$

Что это — прямой элемента весеннего равноденствия? Ответа нет! Потому
что между этим двумя выражениями

$$\begin{aligned} \alpha_0 &= \pi^{\circ} - \left(3^{\circ} + 28^{\circ} - 15^{\circ} \right) = 15^{\circ} 28' 12'' \\ &\approx \frac{15^\circ 23''}{747} \times 363.242 T^0 + 73.4 \text{ сут.} = 312.5 \text{ сут.} \end{aligned}$$

Простота и линейность означает составность

$$T_0 = \frac{111 \times 23^\circ 56'' 04''}{1 - \pi \cdot 10^{-3}} \approx 111.0 \text{ сут.}$$

Промежуток времени между началом 2018 года и началом первой
полярной борьбы может быть

$$t_2 \approx t_0 + T_0 = 365^2 \approx 312.5^2 + 111.0^2 = 365^2 - 38.5 \text{ сут.}$$

что соответствует 28 февраля.

Задачи.

1. Выполните базисный расчёт, определяя склонение солнца в средней
шестидесятитрехградианской системе координат для момента
15.5.2018 г. утром.
2. Продолжите способ решениями задачи № 1 для момента 15.5.2018 г. утром
при использовании коэффициентов в 2001 г. утра.

1.10 «Беглянка»

Расстояние до звезды Барнarda

$$d = \frac{1000 \text{ пк}}{\pi \text{ (mas)}} = 1.828 \text{ пк.}$$

Полное собственное движение звезды

$$\mu = \sqrt{(\mu_\alpha \cos \delta)^2 + \mu_\delta^2} = 10358 \text{ mas/год,}$$

что соответствует линейной скорости

$$\begin{aligned} \mu d &= 10.358''/\text{год} \times 1.828 \text{ пк} = (10.358 \times 1.828) \text{ а.е./год} \approx \\ &\approx 18.9 \text{ а.е./год} = 90 \text{ км/с.} \end{aligned}$$

Тогда полная пространственная скорость

$$v = \sqrt{(\mu d)^2 + v_r^2} \approx 143 \text{ км/с.}$$

Упражнения.

- Когда звезда Барнarda была или будет пролетать ближе всего к Солнцу и на каком расстоянии? На сколько звёздных величин её блеск тогда отличается от нынешнего?
- Найдите экваториальные координаты (на эпоху 2000 г.) звезды Барнarda во время максимального сближения.

1.11 Вращающийся наблюдатель

Геоцентрическая скорость спутника

$$V_{\text{абс}} = \sqrt{\frac{GM_\oplus}{R_\oplus + h}} \approx 5.92 \text{ км/с.}$$

Запишем закон сложения скоростей:

$$\tilde{V}_{\text{отн}} = \tilde{V}_{\text{абс}} - \vec{\omega}_\oplus \times \vec{r},$$

и заметим, что векторное произведение $(\vec{\omega}_\oplus \times \vec{r}) \parallel \tilde{V}_{\text{абс}}$, следовательно, скорости $\tilde{V}_{\text{отн}}$ и $\tilde{V}_{\text{абс}}$ тоже коллинеарны.

Это означает, что величина относительной скорости спутника не зависит от положения наблюдателя и равна

$$V_{\text{отн}} = V_{\text{абс}} + (R_\oplus + h)\omega_\oplus = V_{\text{абс}} + \frac{2\pi(R_\oplus + h)}{23^h 56^m 04^s} \approx 6.75 \text{ км/с.}$$

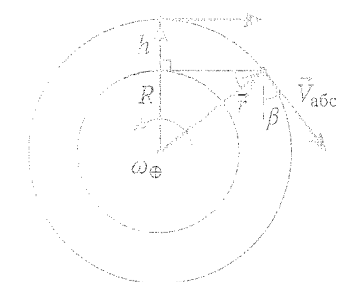


Рис. 1.7. К вычислению относительных скоростей спутника

Некоторые устремите скорости (см. рис. 1.7):

$$v_{\text{д}} = \frac{V_{\text{д},\text{н}}}{h} = \frac{5,75 \text{ км/с}}{5000 \text{ км}} = 1,15 \cdot 10^{-3} \text{ рад/с} \approx 4,0^\circ/\text{ч}$$

$$v_{\text{в}} = \frac{V_{\text{в},\text{н}} \cos \beta}{(R_{\oplus} + h) \cos \beta} = \frac{V_{\text{в},\text{н}}}{R_{\oplus} + h} = \frac{6,75 \text{ км/с}}{6375 \text{ км} + 5000 \text{ км}} = \\ = 5,93 \cdot 10^{-4} \text{ рад/с} \approx 2,2^\circ/\text{ч}.$$

Упражнение.

1. Рассчитайте видимую угловую скорость Марса в градусах в час, с единицами в квадратных Венера — в верхнем и левом координатах, а также в макромодельных единицах.
2. Найдите экваториальный точек римлян Венера.

3.32 Небесный поток

Если смотреть с северного полюса Галактики, галактическая долгота отсчитывается от антиподииума за пятерть против часовой стрелки, а орбиты планет Млечного Пути проектируются на плоскость.

Запишем теорему синусов для $\triangle GSG$ (рис. 3.8а)

$$\sin \angle GCS = \frac{r_1}{r} \sin \angle GSC = \frac{r_1}{r} \sin \alpha.$$

Лунная скорость облака равна разности проекций скоростей облака и Солнца на плоскость

$$v_r = v \cos(90^\circ - \angle GCS) - v \cos(\angle 90^\circ - \alpha) = \\ = v (\sin \angle GCS - \sin \alpha) = v \left(\frac{r_1}{r} - 1 \right) \sin \alpha. \quad (1.4)$$

Ясно, что максимальное значение v_r достигается при $\alpha = 90^\circ$:

$$v_r^{\text{макс}} \approx 240 \text{ км/с} \times \sin 145^\circ \times \left(\frac{3 \cdot 10^{12} \text{ км}}{50 \cdot 10^9 \text{ км}} - 1 \right) \approx -140 \text{ км/с}.$$

Упражнение.

- Пусть прикам гравитация Галактики равна земской ($g = 9,81 \text{ м/с}^2$), вычислите способ определения минимально возможной радиуса облака, при котором облако при земской гравитации не падает.

1.13 Далёкий рукав

Обратимся к решению предыдущей задачи.

Из выражения (1.4) зависимости лучевой скорости объекта v_r от его галактоцентрического расстояния r и галактической долготы ℓ следует

$$r = \frac{r_\odot}{\frac{v_r}{\sin \ell} + 1} = \frac{8 \text{ кпк}}{1 + \frac{20.9}{240 : \sin 13^\circ}} \approx 13 \text{ кпк}.$$

Для нахождения гелиоцентрического расстояния x запишем[‡] теорему косинусов для $\triangle CSG$ (рис. 1.8) и решим полученное квадратное уравнение:

$$r^2 = x^2 + r_\odot^2 - 2xr_\odot \cos \ell.$$

$$\begin{aligned} \therefore x &= \frac{1}{2} \sqrt{2r_\odot \cos \ell + \sqrt{(2r_\odot \cos \ell)^2 - 4(r_\odot^2 - r^2)}} = \\ &= r_\odot \cos \ell + \sqrt{r^2 - r_\odot^2 \sin^2 \ell} \approx \end{aligned} \quad (1.5)$$

$$\approx r_\odot - r = 21 \text{ кпк}. \quad (1.6)$$

1.14 Вифлеемская звезда

Синодический период планеты S_x выражается через сидерические периоды планеты T_x и Земли T_\oplus :

$$\frac{1}{S_x} = \frac{1}{T_\oplus} + \frac{1}{T_x}. \quad (1.7)$$

Средний промежуток времени между великими соединениями^P связан с синодическими периодами планет соотношением

$$\frac{1}{P} = \frac{1}{S_x} - \frac{1}{S_\oplus}, \quad (1.8)$$

в котором имеем право на основании (1.7) заменить синодические периоды на сидерические:

$$\frac{1}{P} = \frac{1}{T_\oplus} - \frac{1}{T_\gamma}. \quad (1.9)$$

$$\therefore P = \left(T_\oplus^{-1} - T_\gamma^{-1} \right)^{-1} = (11.862^{-1} - 29.458^{-1})^{-1} \text{ лет} \approx 19.86 \text{ лет}.$$

[‡] Отметим, что строку-выражение (1.5) можно получить и непосредственно из геометрии задачи, а (1.6) — вовсе записать сразу (поскольку $\ell \ll 1$).

Уравнение (1.9) может быть интерпретировано как «усреднение» земной орбиты с эффективным переносом наблюдателя в центр Солнца. Такой подход позволяет сравнительно легко ответить на следующий вопрос: среднее угловое перемещение есть

$$\Omega = \frac{P}{T_s} \cdot 360^\circ = \left\{ \begin{array}{l} \frac{\frac{P}{T_s}}{\frac{1}{11.85}} \cdot 360^\circ = \frac{11.85}{11.85} \times 360^\circ = 360^\circ \\ \frac{\frac{P}{T_s}}{\frac{1}{29.46}} \cdot 360^\circ = \frac{29.46}{29.46} \times 360^\circ = 360^\circ \end{array} \right\} \equiv 242.7^\circ \quad (1.10)$$

к востоку (по направлению прямого движения), или же $360^\circ - 242.7^\circ = 117.3^\circ$ — к западу.

21.12.2020 года эквиптическая долгота Солнца составляет около 270° , следовательно, планеты расположены на долготе $\lambda = 270^\circ + 30^\circ = 300^\circ$, на границе Стрельца (Sagittarius, Sgr) и Козерога (Capricornus, Cap).

Между соединениями 7 г. до н.э. и 2020 г. н.э. прошло

$$n = \left[\frac{2020 + 7}{P} \right] = 102$$

средних периода великих соединений. «Отматывая» время вспять, рассчитаем соответствующую эквиптическую долготу:

$$\lambda - n\Omega = 300^\circ - 242.7^\circ \times 102 = -24455^\circ \equiv 25^\circ,$$

\therefore Юпитер и Сатурн соединились в Рыбах (Pisces, Psc).

Во время среднего соединения серии планеты совершили попутные движения, будучи около противостояний. Следовательно, Солнце находилось напротив Рыб, в Деве (Virgo, Vir).

Упражнения.

1. Обоснуйте формулу (1.8) и вычисление (1.10). Оцените характерные различия между наблюдаемыми и вычисленными средними промежутками времени и углами.
2. Расчитайте длины путей попутных движений внешних планет и времена их прохождения.
3. Опишите движения Юпитера и Сатурна в 7 г. до н.э.

Небесная сфера

Прежде всего, мы должны заметить, что мир является шарообразным, потому что эта форма совершеннейшая из всех...

Н. Коперник

2.1 Полночь

В течение года некоторое удалённое светило описывает на небе Земли параболический эллипс, эксцентриситет которого $e = 0.987$. В ночь с четвёртого на пятое апреля можно наблюдать, как оно пересекает небесный меридиан в полночь. На какой высоте над горизонтом это происходит, если наблюдатель находится на широте $\phi = 80^\circ$ с. ш.? Солнце прошло точку равноденствия в ночь с 20 на 21 марта.

2.2 А зори там тихие

Рыжая панда Мири устала от всеобщего внимания и улетела на Уран. Там, конечно, холодно, зато спокойно. И восходы красивые... В каких пределах может изменяться продолжительность восхода Солнца для Мири, находящейся на условной «поверхности» этого гиганта? Ураноцентрическая широта места наблюдения $\phi = 10^\circ$.

2.3 Тени

Наблюдатель заметил, что минимальная длина тени тонкого метрового вертикального столба в течение дня составила $l_{\min} = 1.732$ м. В те же самые сутки её максимальная длина была равна $l_{\max} = 5.671$ м. Найдите широту места наблюдения ϕ и склонение Солнца δ_0 в тот день. Солнце считайте точечным источником.

2.4 Теория вероятностей

Рассмотрим произвольный момент времени в пределах ближайших 10 тысяч лет. Оцените вероятность того, что в какой-либо точке на Земле в этот момент возможно наблюдать покрытие Луной звезды ι Leo (экваториальные координаты на эпоху J 2000.0: $11^{\text{h}} 23^{\text{m}} 56^{\text{s}}$, $+10^\circ 31' 46''$). Наличием у Земли атмосферы пренебрегите.

2.5 Три часа

Наибольшая высота над горизонтом, которой достигает некоторая звезда в Санкт-Петербурге ($\phi = 60^\circ$ с.ш.), составляет $h_{\max} = +35^\circ$. Определите высоту этой звезды в момент, когда её астрономический azimuth $A = 90^\circ$.

2.6 Бейрут

В какой момент по истинному солнечному времени 1 сентября Регул ($\alpha_1 = 10^h 09'$, $\delta_1 = 11^\circ 53'$) и Хорт ($\alpha_2 = 11^h 15'$, $\delta_2 = 15^\circ 20'$) находятся на одном альмукантаре в Бейруте (широта $\phi = -33^\circ 53'$)?

2.7 Быть, а не казаться

Производится фотографирование области неба разрешением $\Delta h = 10.0'$ по высоте и $\Delta A = 10.0'$ по azimuthу на высоте $h = 2.7^\circ$ над горизонтом. Определите истинные угловые размеры этой области. Зависимость величины атмосферной рефракции R от истинной высоты светила x имеет следующий приближённый вид:

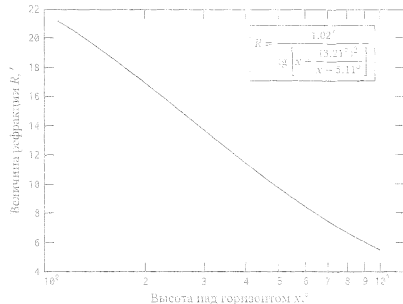


Рис. 2.1. График зависимости величины атмосферной рефракции от истинной высоты (T. Saemundsson)

2.8 Наблюдаемость

Некоторая звезда со склонением $\delta = +40.0^\circ$ наблюдается в Санкт-Петербурге (широта $\varphi = +60.0^\circ$). Известно, что когда её высота над горизонтом составила $h = 20.0^\circ$, видимая звёздная величина была равна 6.80^m . Поднявшись на $\Delta h = 10.0^\circ$, звезда стала ярче на 0.40^m . Будет ли эта звезда доступна для наблюдения невооруженным глазом (проникающая способность 6.0^m) в какой-либо момент времени? Если да, то как долго будет продолжаться период её непрерывной видимости?

2.9 Pas de deux

В момент захода Солнца азимут центра его диска был равен $A_\odot = 98.0^\circ$, а модуль скорости изменения этой величины $b = 12.87'/\text{мин}$. В момент наблюдений среднее солнечное время опережало истинное. Найдите дату наблюдения. Рефракцией пренебречь.

2.10 Марко

Ночью 17 января 2009 года в Скандинавии многие люди наблюдали яркий стед метеорида, сгорающего в атмосфере Земли.

Метеорид двигался равномерно и прямолинейно. Определите его скорость v по данным съёмки. Каково минимальное удаление траектории падения от точки наблюдения, если метеорит был найден на расстоянии 195 км от неё? Кривизной поверхности Земли пренебречь.

$t - t_0$	Азимут	Высота
2.46 с	197.4°	28.4°
5.28 с	222.3°	14.7°
	231.0°	0° точно
± 5 мс	$\pm 0.05^\circ$	$\pm 0.05^\circ$

2.11 Реактивная тригонометрия

Во время тура один из участников IOAA-2016 случайно отправился в космический полёт и оказался над городом проведения олимпиады — Бхубанешваром ($\varphi_0 = 20^\circ$ с.ш., $\lambda_0 = 86^\circ$ в.д.) — на высоте, равной радиусу Земли: $h = R_\oplus$.

1. Найдите, какая часть поверхности Земли открылась его взору.
2. Определите координаты самой западной и самой восточной точек этой области — $W(\varphi_W; \lambda_W)$ и $E(\varphi_E; \lambda_E)$.
3. Какой наибольшей широты φ_{\max} достигает в полёте самолёт, летящий из W в E по кратчайшей траектории?

Землю считайте идеальным шаром без атмосферы.

2.12 Кораблекрушение

Очнувшись после кораблекрушения, вы обнаружили, что попали на остров. Недавно стемнело. Ригель (β Ori: $\alpha = 5^{\text{h}} 15^{\text{m}}$, $\delta = -8^{\circ} 11'$) находится на высоте $h = 52.5^\circ$ при азимуте $A = 109^\circ$. Часы, установленные на бангкокское время (UT+7), показывают 01:00 21 ноября 2017 года. Найдите часовой угол Ригеля, текущее гринвичское звёздное время и ваши географические координаты, если гринвичское звёздное время на 0^h UT 1 января 2017 года было равно $\text{GST}_p = 6^{\text{h}} 43^{\text{m}}$.

2.13 Загадочный круг

Рассчитайте астрономический азимут восхода звезды с Большого Кса ($\alpha = 6^{\text{h}} 58^{\text{m}} 38^{\text{s}}$, $\delta = -28^{\circ} 58'$) при наблюдении из самой северной равноудалённой от Санкт-Петербурга ($\varphi_1 = 59^{\circ} 57'$ с. ш., $\lambda_1 = 30^{\circ} 19'$ в. д.) и Красной Поляны ($\varphi_2 = 43^{\circ} 41'$ с. ш., $\lambda_2 = 40^{\circ} 11'$ в. д.) точки земной поверхности. Землю считайте шаром.

Решения

2.1 Полночь

Из-за орбитального движения Земли траектория звезды относительно далёкого фона на земном небе представляет собой эллипс, большая полуось которого параллельна эклиптике. Помятно (см. рис. 2.2), что эксцентриситет e параллактического эллипса связан с эклиптической широтой β светила соотношением

$$e = \cos \beta.$$

$$\therefore \beta = \pm \arccos e = \pm \arccos 0.987 = \pm 9.2^\circ.$$

Ночь наблюдений отстоит от весеннего равноденствия всего на 15 суток. Для эклиптической долготы Солнца имеем

$$\lambda_S = 360^\circ \times \frac{15^d}{365.2422^d} = 15^\circ \times \frac{360}{365.2422} \approx 15^\circ = 1^h.$$

Вблизи точки весеннего равноденствия координаты преобразуются следующим образом (поворот на рис. 2.3):

$$\begin{cases} \alpha = \lambda \cos \epsilon - \beta \sin \epsilon; \\ \delta = \beta \cos \epsilon + \lambda \sin \epsilon. \end{cases} \quad (2.1)$$

Рассчитаем прямое восхождение Солнца, зная, что его эклиптическая широта $\beta_S \equiv 0^\circ$:

$$\alpha_S = \lambda_S \cos \epsilon = 1^h \times \cos 23.44^\circ = 13.76^\circ.$$

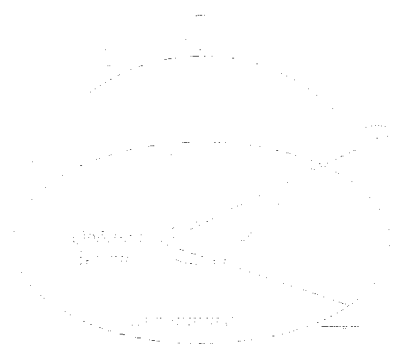


Рис. 2.2. Параллактические эллипсы

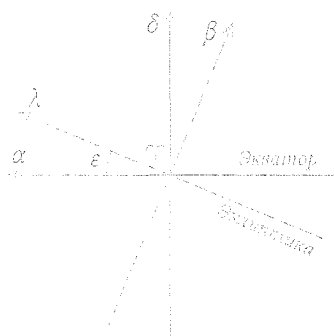


Рис. 2.3. Поворот координатных осей

Для упрощения записи можно выделить общий множитель $\cos \varepsilon$. Тогда это приведет к выражению $\kappa = \kappa_1$. Далее из формулы (2.1) получим

$$\begin{aligned} S &= \beta \cos \varepsilon + \left(\frac{\delta}{\cos \varepsilon} - \beta \operatorname{tg} \varepsilon \right) \sin \varepsilon = \kappa \sin \varepsilon + \frac{\delta}{\cos \varepsilon} = \\ &= 13.5 \operatorname{c}^2 \operatorname{tg} 23.14^\circ = \frac{\delta_1}{\cos 23.14^\circ} \sin \varepsilon = \frac{\delta_1 \sin \varepsilon}{\cos 23.14^\circ} = \delta_1. \end{aligned}$$

В первом случае систоло в момент 100-й доли кульминации находился над горизонтом ($\varphi - \delta_1 < 90^\circ$). Второй возможный результат даёт высоту

$$h_1 = \varphi + \delta_1 - 90^\circ = 80^\circ + 16^\circ - 90^\circ = +6^\circ.$$

Теперь рассмотрим верхнюю кульминацию ($\varphi - \delta_1 = 12^\circ$). Аналогичные преобразования выполним в окрестности горизонта:

$$\begin{cases} \varphi + 12^\circ = \delta_1 + 12^\circ \cos \varepsilon + \beta \sin \varepsilon, \\ \delta = \beta \cos \varepsilon + \delta_1 + 12^\circ \sin \varepsilon. \end{cases}$$

$$\therefore \delta = \frac{\beta}{\cos \varepsilon} + \delta_1 \operatorname{tg} 12^\circ \varepsilon = \begin{cases} \delta_1 \sin \varepsilon + \delta_1 \operatorname{tg} 12^\circ \varepsilon, \\ \delta_1 \sin \varepsilon + \delta_1 \operatorname{tg} 12^\circ \varepsilon. \end{cases}$$

При систолике -10° система единиц измерения имеет вид $\lambda = \varphi - \delta_1 = 60^\circ$. Четвёртый вариант, напротив, выдаёт:

$$h_1 = 90^\circ - \varphi + \delta_1 = 90^\circ - 60^\circ + 16^\circ = +16^\circ.$$

Задачи

- Найдите, что в общем случае для определения коэффициентов расстояний $a_1 = \alpha_1 + Y_1^1$, $a_2 = \lambda_2 + Y_2^1$ и $\lambda_3 = \lambda_2 + Y_2^2$. Каково минимальное возможное значение величины $(\lambda_1 - \lambda_2)^2$? В каком случае оно достигается?
- Рассмотрим множество точек пейзажной сферы $E = \{x^1, x^2, \dots, x^n\}$, где x^i – параметрическая линия, и функцию $f: E^2 \rightarrow \mathbb{R}$, которая удовлетворяет условию $A, B \in E$ входит в E с равной вероятностью и не определяет конечного количества пар (A, B) . Множество

$$U = \{f(A, B) : A, B \in E, A \neq B\} \subset \mathbb{R}^n$$

называется множеством функций f при $n \geq 3$ с неравнозначными параметрами. Покажите что U .

- При выполнении условия расстояния λ между наблюдателем и объектом O необходимо обеспечивать приемлемую точность измерений. Примите для конкретностей $\delta_{\text{об}} = 0.05^\circ$, $\delta_{\text{об}} = 0.05^\circ$.

2.2 А зори там тихие

Угловой размер Солнца при наблюдении с Урана составляет

$$P = 2\rho_{\odot} \cdot \frac{a_{\oplus}}{a_{\odot}} = 32' \times \frac{1.00 \text{ а.е.}}{19.19 \text{ а.е.}} \approx 100''.$$

Самые короткие восходы Солнца происходят, когда оно находится на небесном экваторе. Примем угловую скорость Солнца равной $\omega_{\odot} = 360^\circ / T_{\odot}$, где T_{\odot} — продолжительность "суток" на Уране. Для минимальной продолжительности восхода имеем (рис. 2.4):

$$\begin{aligned} t_{\min} &= \frac{P}{\omega_{\odot} \sin(90^\circ - \varphi)} = \frac{P}{360^\circ} \cdot \frac{T_{\odot}}{\cos \varphi} = \\ &= \frac{100''}{360^\circ} \times \frac{17.24^h}{\cos 10^\circ} \approx 5''. \end{aligned}$$

В месторасположении Мира может наступать полярная ночь. Нетрудно догадаться, что максимум длительности восхода приходится на день, когда Солнце едва заходит — в нижней кульминации касается горизонта (см. рис. 2.5). Полярное расстояние Солнца в этот день

$$P_{\odot} = \varphi + \frac{1}{2}P = 10^\circ + \frac{100''}{2}.$$

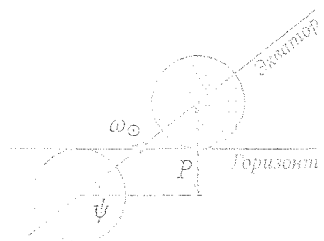


Рис. 2.4. Восход Солнца вдоль небесного экватора ($\psi \equiv 90^\circ - \varphi$)

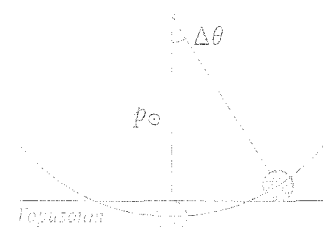


Рис. 2.5. Восход Солнца около полюса мира

От нижней кульминации, начала восхода, до конца восхода Солнце поднимается на угол, равный своему угловому диаметру P . Его часовой угол изменится на величину

$$\Delta\theta = \arccos \frac{P_{\odot} - P}{P_{\odot}} = \arccos \frac{\varphi - P/2}{\varphi + P/2} = \arccos \frac{10^\circ - 50''}{10^\circ + 50''} \approx 4.3^\circ.$$

$$\therefore t_{\max} = \frac{\Delta\theta}{\omega_{\odot}} = \frac{\Delta\theta}{360^\circ} \cdot T_{\odot} = \frac{4.3^\circ}{360^\circ} \times 17.24^h \approx 12^m.$$

* Понятие синодических суток на Уране теряет смысл. Его ось вращения наклонена к плоскости орбиты на 8° , то есть векторы угловых скоростей орбитального и собственного вращения практически ортогональны, и складывать их алгебраически нельзя.

2.3 Тени

Очевидно, наблюдатель находится в условиях полярного дня. Минимальная длина тени достигается при наибольшей высоте Солнца $h_{\text{ max}}$, в момент его верхней кульминации, а максимальная длина — в момент нижней кульминации Солнца (высота $h_{\text{ min}}$).

Длины тени, длина столба $L \equiv 1,000$ м и искомые склонение Солнца и широта связаны следующими геометрическими соотношениями:

$$\begin{cases} h_{\text{ max}} = 90^\circ - \varphi + \delta_S = \arctg \frac{L}{l_{\text{ стол}}} = \arctg 1.732^{-1} = 30^\circ, \\ h_{\text{ min}} = \varphi + \delta_S - 90^\circ = \arctg \frac{L}{l_{\text{ макс}}} = \arctg 5.671^{-1} = 10^\circ. \end{cases}$$

Эта система линейных уравнений легко разрешается относительно неизвестных: $\varphi = 80^\circ$, $\delta_S = 20^\circ$. Не следует забывать про южное полушарие: допускается два случая: $(80^\circ \text{ с. ш.}, +20^\circ)$ и $(80^\circ \text{ ю. ш.}, -20^\circ)$.

Упражнение.

Определите возможную дату наблюдений.

2.4 Теория вероятностей

В связи с близостью звезды к точке осеннего равноденствия при нахождении её эклиптической широты β по зашитым экваториальным координатам $(\alpha; \delta)$ допустимо использовать «плоское» приближение.^{**} Из (2.2, стр. 30) получим, что вблизи точки осеннего равноденствия

$$\begin{aligned} \beta &= \delta \cos \varepsilon + (\alpha - 12^h) \sin \varepsilon = \\ &= 10^\circ 31' 46'' \cos 23.44^\circ + [12^h - 11^h 23' 56''] \sin 23.44^\circ = \\ &= 10.529^\circ \cos 23.44^\circ - 9.017^\circ \sin 23.44^\circ = +6.07^\circ. \end{aligned}$$

Теперь необходимо принять принципиальное решение о продолжении решения задачи, несмотря на то, что эклиптическая широта светила превосходит наклонение лунной орбиты к эклиптике $i_L = 5.15^\circ$.

** Даже при наличии этого желания использовать аппарат сферической тригонометрии вместе преобразования координат достаточно решить более «конкругированную» задачу о нахождении расстояния между двумя точками на сфере, а именно — между светилом и северным полюсом эклиптики. Эклиптические координаты последнего — $18^\circ, 90^\circ$ — р. Теорема косинусов для 4-классов мира — полные эклиптических «звезд» — записывается в виде

$$\begin{aligned} \cos(90^\circ - \beta) &= \cos(90^\circ - \delta) \cos \varepsilon + \sin(90^\circ - \delta) \sin \varepsilon \cos(12^h - \alpha), \\ \therefore \beta &= \arcsin(\sin \delta \cos \varepsilon + \cos \delta \sin \varepsilon \sin \alpha) = +6.11^\circ. \end{aligned}$$

Покрытие звезды Луной наблюдается на Земле, если геоцентрическое угловое расстояние между звездой и центром Луны не превышает суммы её углового радиуса и суточного параллакса

$$P = i_\zeta + \pi_\zeta = 0.26^\circ + 0.95^\circ = 1.21^\circ.$$

Заметив, что $i_\zeta + P = 6.36^\circ > \beta$, заключим, что покрытия возможны.

Поскольку период пресессии узлов лунной орбиты составляет 18.6 лет, что существенно меньше 10 тысяч лет, будем считать, что центр Луны равномерно распределён в «поясе» эклиптических широт $[-i_\zeta; +i_\zeta]$.

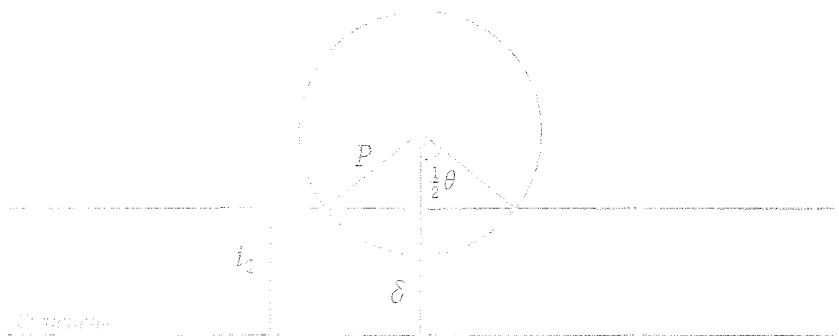


Рис. 2.6. Тень и полутень Земли

Задача свелась к нахождению отношения площади S_1 окрестности звезды радиуса P , попадающей в «пояс», к площади S последнего:

$$S_1 = \frac{1}{2}P^2(\theta - \sin\theta), \quad S = 2\pi \times 360^\circ \times 2i_\zeta;$$

$$\text{где } \theta = 2 \arccos \frac{\beta - i_\zeta}{P} = 2 \arccos \frac{6.07^\circ - 5.15^\circ}{1.21^\circ} = 81^\circ = 1.41 \text{ рад.}$$

В результате искомая вероятность есть

$$\Phi = \frac{S_1}{S} = \frac{P^2(\theta - \sin\theta)}{8\pi \times 360^\circ \times i_\zeta} = \frac{(1.21^\circ)^2(1.41 - \sin 81^\circ)}{8\pi \times 360^\circ \times 5.15^\circ} \approx 1 \cdot 10^{-5}.$$

Упражнения.

- Иследуйте асимптотическое поведение функции $\Phi(\beta)$ при $\beta \rightarrow \beta_{\max}$.
- Оцените вероятность того, что в некоторой заданной точке на Земле в случайный момент времени возможно наблюдать покрытие Луной звезды *i Leo*.
- Как известно, покрытия звёзд Луной происходят сериями. Так, например, серия покрытий Альдебарана началась 29 января 2015 года и продолжится до 3 сентября 2018 года. Определите эклиптическую широту Альдебарана, долготу восходящего узла лунной орбиты в день окончания серии и дату начала очередной серии покрытий этой звезды Луной.

2.5 Три часа

Высота верхней кульминации к северу от зенита не может быть выше высоты северного полюса мира, равной широте Петербурга, $\delta = +60^\circ$. Следовательно, кульминация происходит к югу от зенита. И поскольку склонение звезды δ связано с h_{\max} и φ соотношением $h_{\max} = \delta - \varphi - 90^\circ$,

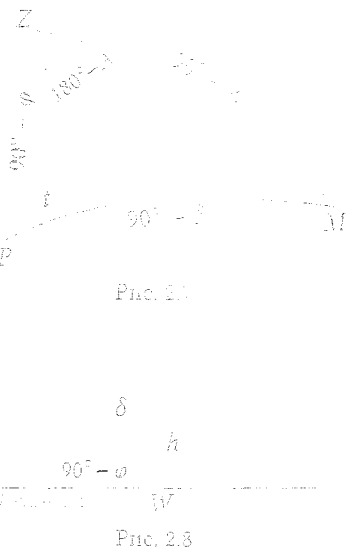
$$\delta = h_{\max} + \varphi - 90^\circ = 35^\circ + 60^\circ - 90^\circ = +5^\circ.$$

Способ 1. Рассмотрим параллактический $\triangle ZPM$: зенит – северный полюс мира – звезда (рис. 2.7). Найдём высоту звезды в указанный момент, используя сферическую теорему косинусов:

$$\begin{aligned}\sin \delta &= \sin h \sin \varphi - \cos h \cos \varphi \cos A; \\ h &= \arcsin \frac{\sin \delta + \cos h \cos \varphi \cos 90^\circ}{\sin \varphi} = \\ &= \arcsin \frac{\sin 5^\circ}{\sin 60^\circ} = +5.76^\circ \approx +6^\circ.\end{aligned}$$

Способ 2. Поскольку склонение звезды невелико, непосредственно из евклидовой геометрии рис. 2.8 получаем

$$h = \frac{\delta}{\sin \varphi} = \frac{5^\circ}{\sin 60^\circ} = +5.77^\circ \approx +6^\circ.$$



2.6 Бейрут

Запишем сферическую теорему косинусов для параллактического $\triangle ZPM$ (зенит – северный полюс мира – светило):

$$\cos z = \sin \varphi \sin \delta + \cos \varphi \cos \delta \cos t.$$

Поскольку светила находятся на одном альмукантарите, их зенитные расстояния $z_1 = z_2$, поэтому после вычитания имеем

$$0 = \sin \varphi \cdot (\sin \delta_1 - \sin \delta_2) + \cos \varphi \cdot (\cos \delta_1 \cos t_1 - \cos \delta_2 \cos t_2).$$

Разность прямых восхождений Регула и Хорта

$$\Delta \alpha = \alpha_2 - \alpha_1 = 11^h 15^m - 10^h 09^m = 1^h 06^m = 16.5^\circ$$

ЧЕЛОВЕКАМ $\cos \delta_2 = \cos \varphi + \Delta \alpha = \cos \varphi - 0,21$ ЖАК КОСИЧНОЕ УРАВНЕНИЕ, ПОДСКАЗЫВАЕТ И ПРЯМОЕ РЕШЕНИЕ

$$\sin \alpha \cdot \sin \delta_1 = \sin \delta_2 =$$

$$\frac{A^2 - B^2 \cos^2 t_1 - C^2 \sin^2 t_1}{\pi^2} = \frac{\cos \varphi \cdot \cos \delta_2 \sin \Delta \alpha \cdot \sin t_1}{\pi^2} = 2,$$

ПО ЧЕМУ

$$A + B \cos t_1 + C \sin t_1 = 0. \quad (1.2)$$

РЕШЕНИЯ КОЭФФИЦИЕНТОВ

$$\begin{cases} A = \sin 33^\circ 53' \times (\sin 15^\circ 53' - \cos 15^\circ 20') = -0,04262 \\ B = \cos 33^\circ 53' \times (\cos 15^\circ 53' - \cos 15^\circ 20') \sin 16,5^\circ = 0,04473, \\ C = \cos 33^\circ 53' \cos 15^\circ 20' \sin 16,5^\circ = 0,22739. \end{cases}$$

ПОДСКОЗЬ (1.2) + + ПРИДАТЬ ПОДСКАЗКУ К ПОДСКАЗКЕ ОДНОГО УРАВНЕНИЯ СОДЕРЖАЩЕГО ПАРАМЕТРЫ

$$A^2 + B^2 \cos^2 t_1 + 2AB \cos t_1 = C^2 + C^2 \sin^2 t_1;$$

$$(B^2 + C^2) \cos^2 t_1 + 2BC \cos t_1 + (A^2 + C^2) = 0.$$

$$C \cdot \cos t_1 = \frac{C \sqrt{B^2 + C^2 - A^2} - AB}{B^2 + C^2} = \begin{cases} \cos t_1 = +0,99939, \\ \cos t_1 = -0,94479. \end{cases}$$

САМЫЙ ВЕЛИЧИНУ ПОЧЕМУМУ ПРИХОДИТСЯ $\pm 160^\circ 78'$. ИЗОЧЕМУННАЯ ПОХОДИЛО УРАВНЕНИЕ (1.2) ПРИДАЕТ ПРИ БАРИАНТЕ И ПРИ СООТВЕТСТВУЮЩИМ ПОДСКАЗКАМ НАЧАЛЬНОЕ ВРЕМЯ:

$$t_1^0 = -0,34^\circ \approx 6^h 12^m, \quad t_1^1 = t_1^0 + \alpha_1 = 6^h 12^m + 10^h 05^m = 16^h 21^m,$$

$$t_1^0 = -16^\circ 78' \approx 1^h 12^m, \quad t_1^2 = t_1^0 + \alpha_1 = 1^h 12^m + 10^h 32^m = 23^h 26^m.$$

22 ОКТЯБРЯ, за 20 дн. до основного размежевания, солнечное зороже совершило движение $1^h 12^m 00^s$

$$22 - 8^h 57^m = 1^h 12^m.$$

ЧЕЛОВЕКАМ СОЛНЕЧНОЕ ДВИЖЕНИЕ ПРОДОЛЖИЛОСЬ $1^h 12^m 00^s$ И $1^h 12^m$.

ПОДСКАЗКА

ПОХОДИЛО ПРИДАТЬ КЛАССИЧЕСКОЕ ПОДСКАЗКИ, КОДА ЗАСКАЗЫВАЮТ РАВНОЕ ОБНОВЛЕНИЕ, ПОХОДИЛО АДДИТИВНОЕ ПОДСКАЗКИ. ПРИДАТЬ РАВНОЕ ПОДСКАЗКИ ПРИДАТЬ ПРИДАТЬ ПОДСКАЗКИ ПРИДАТЬ.

2.7 Быть, а не казаться

Рефракция не изменяет азимуты световых лучей. С уменьшением высоты её величина заметно растёт, из-за чего, например, диск закатного Солнца становится съедененным.

Пусть истинная высота центра поля зрения — h_0 , а истинный размер кадра — $\Delta_0 h$. Видимые высоты нижней и верхней границ кадра равны соответственно

$$h - \frac{1}{2} \Delta h = h_0 - \frac{1}{2} \Delta_0 h + R \left(h_0 - \frac{1}{2} \Delta_0 h \right),$$

$$h + \frac{1}{2} \Delta h = h_0 + \frac{1}{2} \Delta_0 h + R \left(h_0 + \frac{1}{2} \Delta_0 h \right).$$

Вычтем первое уравнение из второго и приближим функцию $R(h)$ в окрестности h_0 её линейной аппроксимацией:

$$\Delta h = \Delta_0 h + R \left(h_0 + \frac{1}{2} \Delta_0 h \right) - R \left(h_0 - \frac{1}{2} \Delta_0 h \right) \approx \Delta_0 h - R'(h_0) \cdot \Delta_0 h.$$

Производную $R'(h_0)$ можно рассчитать аналитически, но куда проще сделать это приближённо, полагая $R'(h_0) \approx R'(h)$:

$$R(x) = \frac{1.02'}{\operatorname{tg} \left[x + \frac{(3.21')^2}{x + 5.11'} \right]}, \quad R(h - \Delta h/2) \approx 14'46.26'',$$

$$R(h + \Delta h/2) \approx 14'16.14''$$

$$R'(h) \approx \frac{R(h + \Delta h/2) - R(h - \Delta h/2)}{\Delta h} = \frac{16.14'' - 46.26''}{10'} = -0.050.$$

В результате

$$\Delta_0 h = \frac{\Delta h}{1 + R'(h)} \approx \Delta h \cdot (1 - R'(h)) = 10' \times (1 - 0.050) = 10.5'.$$

Истинные размеры: 10.5' по высоте и 10.0' по азимуту.

Упражнения

- Оцените изменение рефракцией отклонение наблюдаемого и истинного размера изображения по горизонтали, а также его плоскости.
- Вычислите $R'(h)$, используя график из условия задачи (рис. 2.1).

2.8 Наблюдаемость

Чем меньше путь, проходимый светом звезды в атмосфере Земли, тем ярче звезда и меньшее значение её видимой величины, причём величина иоглощения прямопропорциональна оптическому пути. Пусть m — видимая величина звезды вне атмосферы, E_2 — величина иоглощения в атмосфере. Тогда, считая атмосферу икоской (в силу нестабильной или использования такого приближения высоты), можно заметить, что наблюдаемая на высоте h звезда величина

$$m(h) = m - \frac{E_2}{\sin h}.$$

Разность приведённых в условии изёзенных величин:

$$m(0) - m(0 + \Delta h) = E_2 \left(\frac{1}{\sin 0} - \frac{1}{\sin(0 + \Delta h)} \right).$$

$$\therefore E_2 = \frac{m(0) - m(0 + \Delta h)}{\sin^2 0 - \sin^2(0 + \Delta h)} = \frac{0.4^m}{\sin^{+1} 20^\circ - \sin^{-1} 30^\circ} = 0.433^m.$$

Определим, на какой высоте H должна находиться звезда, чтобы быть предельно доступной для наблюдения невооруженным глазом проницаемость способность $m_c = 6.0^m$:

$$m(H) - m_c = E_2 \left(\frac{1}{\sin H} - \frac{1}{\sin H_c} \right);$$

$$H = \arcsin \left| \frac{1}{\sin H} - \frac{m(H) - m_c}{E_2} \right|^{-1} = \arcsin \frac{1}{\frac{1}{\sin 20^\circ} - \frac{6.0 - 6.0}{0.433}} = 68.3^\circ.$$

Отметим, что $H < 90^\circ - \alpha - \delta = 90^\circ - 60^\circ - 40^\circ = 70^\circ$ — высота верхней кульминации звезды, значит, звезда преодолеет пороговый блеск 6.0^m . При помощи сферической теоремы косинусов для параллактического треугольника вычислим часовой угол, при котором достигается такая высота:

$$\tau = \arccos \frac{\sin h - \sin \alpha \sin \delta}{\cos \alpha \cos \delta} = \arccos \frac{\sin 68.3^\circ - \sin 60^\circ \sin 40^\circ}{\cos 60^\circ \cos 40^\circ} \approx 1^\circ.$$

Таким образом, период, в течение которого звезда формально доступна для наблюдения невооруженным глазом, составляет около 2 часов.

Упражнение

Проведите расчёты для модели атмосферы — тонкого сферического слоя. Сравните результат с полученным в «икосической» модели.

2.9 Pas de deux

Рассчитаем склонение Солнца δ_{\odot} .

Способ 1. Запишем сферическую теорему синусов для параллактического $\Delta PZ\odot$ и продифференцируем по времени получившее равенство:

$$\cos h \sin A = \cos \delta_{\odot} \sin t,$$

$$\frac{dA}{dt} \cdot \cos h \cos A - \frac{dh}{dt} \cdot \sin h \sin A = \frac{dt}{dt} \cos \delta_{\odot} \cos t.$$

Заметим, что $dt/dt = \omega_{\odot} = 15'/\text{мин}$ — угловая скорость движения Солнца по небу. Подставим $h = h_{\odot} = 0$, $A = A_{\odot}$ в равенства выше:

$$\sin A_{\odot} = \cos \delta_{\odot} \sin t;$$

$$\frac{b}{\omega_{\odot}} \cos A_{\odot} = \cos \delta_{\odot} \cos t.$$

Возведём в квадрат и сложим эти уравнения:

$$\cos^2 \delta_{\odot} = \sin^2 A_{\odot} + \left(\frac{b}{\omega_{\odot}} \right)^2 \cos^2 A_{\odot} = 1 + \left[\left(\frac{b}{\omega_{\odot}} \right)^2 - 1 \right] \cos^2 A_{\odot}.$$

$$\therefore \delta_{\odot} = \pm \arccos \sqrt{1 + \left[\left(\frac{b}{\omega_{\odot}} \right)^2 - 1 \right] \cos^2 A_{\odot}} =$$

$$= \pm \arccos \sqrt{1 + \left[\left(\frac{12.87' / \text{мин}}{15' / \text{мин}} \right)^2 - 1 \right] \cos^2 90^\circ} = \pm 4.10^\circ.$$

Способ 2. Точка захода Солнца

отстоит от точки запада всего

на 8° . Имеем право решать

«плоскую» задачу — см. рис. 2.9:

$$\pm b = \omega_{\odot} \cos \psi;$$

$$\delta_{\odot} = (A_{\odot} - 90^\circ) \sin \psi.$$

Рис. 2.9

Угол ψ нетрудно исключить из полученной системы. Таким образом,

$$\therefore \delta_{\odot} = \pm (A_{\odot} - 90^\circ) \sqrt{1 - \left(\frac{b}{\omega_{\odot}} \right)^2} = \pm 8^\circ \times \sqrt{1 - \left(\frac{12.87'}{15} \right)^2} = \pm 4.11^\circ.$$

Очевидно, скорость изменения склонения Солнца является равноденствий, составившей, например, на (2.3):

$$\frac{d\delta_S}{dt} = \frac{d\delta_T}{dt} \operatorname{tg} \nu \approx 1^\circ/\text{сут.} \times \operatorname{tg} 23.44^\circ \approx 0.4^\circ/\text{сут.}$$

Точка неизменно наблюдения отстоит от равноденствия на 10 дней.

Окрестность осеннего равноденствия не подходит, так как по условию уравнение времени неподвижно — среднее солнечное время определяет истинное. Случай с отрицательным склонением тоже не подходит, поскольку точка захода Солнца сменила к северу. Значит, наблюдения пришлись примерно на 1 апреля с прошлым годом вас.

Упражнение

1. Определите широту места наблюдения, время захода Солнца, а также его продолжительность.
2. Найдите модуль скорости изменения высоты Солнца в тот момент времени. Какой физический смысл имеет выражение $\dot{h}^2 = v^2$?

2.10 Марко

Пожалею, что ситуация невозможна. В самом деле, проекция траектории на плоскость, отрезка прямой, на небесную сферу является лугой большого круга. Рассчитаем расстояния между всеми парами заданных точек, используя сферическую теорему косинусов:

$$r_{12} = \arccos [\sin h_1 \sin h_2 + \cos h_1 \cos h_2 \cos(\lambda_1 - \lambda_2)],$$

$$r_{13} = 26.82^\circ, \quad r_{23} = 17.03^\circ, \quad r_{11} = 42.89^\circ.$$

Как видим, $r_{12} + r_{13} - r_{23} = 26.82^\circ + 17.03^\circ - 42.89^\circ \approx 1.6^\circ$, что значительно отлично от нуля. Значимость можно продемонстрировать, например, используя метод Кардачника: рассчитав соотвествующие расстояния, пары трех координат на величину их погрешностей, и убедимся², что

$$(r_{12} + r_{13})^{\text{ном}} - r_{23}^{\text{ном}} \approx 0.6^\circ \gg 0.1^\circ > 0.$$

Две эти точки, конечно, образуют сферический треугольник и не могут в совокупности принадлежать проекции траектории. \square

Упражнение

1. Альтернативный способ подтверждения основывается на следующем утверждении: если радиус-векторы трех точек, конечно, неизвестных, то эти точки не лежат на одной прямой. Выполните такое доказательство.
2. Выполните расчет по методу Кардачника самостоятельно.

2.11 Реактивная тригонометрия

1. Площадь поверхности сферического сегмента линейно зависит от его высоты, то есть искомое соотношение площадей есть (рис. 2.10)

$$\begin{aligned} \frac{2\pi R_\oplus \cdot H}{2\pi R_\oplus \cdot 2R_\oplus} &= \frac{H}{2R_\oplus} = \frac{1 - \cos \theta}{2} = \\ &= \frac{1}{2} \left(1 - \frac{R_\oplus}{R_\oplus + H} \right) = \frac{1 - 1/2}{2} = \frac{1}{4}. \end{aligned}$$



Рис. 2.10

2. Граница области видимости представляет собой малый круг радиусом θ с центром в $(\varphi_0; \lambda_0)$, поскольку укрупненное расстояние от точек границы до Бахубанешвара составляет θ . Значит, их координаты $(\varphi; \lambda)$ удовлетворяют уравнению

$$\cos \theta = \sin \varphi \sin \varphi_0 + \cos \varphi \cos \varphi_0 \cos(\lambda - \lambda_0) = \frac{1}{2}.$$

Заметим, что максимум $|\lambda - \lambda_0|$ доставляет минимум функции

$$f(\varphi) = \cos(\lambda - \lambda_0) = \frac{\frac{1}{2} - \sin \varphi \sin \varphi_0}{\cos \varphi \cos \varphi_0}.$$

Найдём широту φ_1 , при которой этот минимум достигается.^{***}

$$\begin{aligned} f'(\varphi_1) = 0: \quad \cos \varphi_1 \sin \varphi_0 \cos \varphi_1 \cos \varphi_0 &= \left(\frac{1}{2} - \sin \varphi_1 \sin \varphi_0 \right) \sin \varphi_1 \cos \varphi_0; \\ \cos^2 \varphi_1 \sin \varphi_0 &= \frac{1}{2} \sin \varphi_1 - \sin^2 \varphi_1 \sin \varphi_0; \\ \sin \varphi_1 &= 2 \sin \varphi_0. \end{aligned}$$

Таким образом, искомая широта $\varphi_1 = \arcsin(2 \sin 20^\circ) \approx 43^\circ$.

Подставив её в выражение для $f(\varphi)$, получим

$$f(\varphi_1) = \cos(\lambda_1 - \lambda_0) = \frac{\frac{1}{2} - \sin \varphi_1 \sin \varphi_0}{\cos \varphi_1 \cos \varphi_0} = \frac{\frac{1}{2} - 2 \sin^2 20^\circ}{\cos 43^\circ \cos 20^\circ} = 0.387.$$

$$\therefore \Delta \lambda = \arccos f(\varphi_1) \approx 67^\circ;$$

$$\lambda_W = \lambda_0 - \Delta \lambda = 86^\circ - 67^\circ = 19^\circ,$$

$$\lambda_E = \lambda_0 + \Delta \lambda = 86^\circ + 67^\circ = 153^\circ.$$

В результате найдены самая западная и восточная точки границы: $W(43^\circ \text{ с. ш.}; 19^\circ \text{ в. д.})$, $E(43^\circ \text{ с. ш.}; 153^\circ \text{ в. д.})$.

*** Проверку выполнения достаточных условий минимальности или утверждение об их очевидности оставляем внимательным читателям.

3. Самолёт летит по дуге большого круга, проходящего через W и E . Рассмотрим прямоугольный сферический $\triangle PCE$, где P — северный полюс, а точка C — самая северная точка маршрута; $\angle PCE = 90^\circ$ по определению точки C . Для прямоугольного сферического треугольника справедливо следующее соотношение:

$$\operatorname{tg}(90^\circ - \varphi_C) = \operatorname{tg}(90^\circ - \varphi_E) \cos \Delta\lambda,$$



Рис. 2.11

откуда

$$\varphi_C = 90^\circ - \arctg \frac{\cos \Delta\lambda}{\operatorname{tg} \varphi_E} = 90^\circ - \arctg \frac{\cos 67^\circ}{\operatorname{tg} 43^\circ} \approx 67^\circ.$$

2.12 Кораблекрушение

Имея астрономический азимут $A = 109^\circ \in (0^\circ; 180^\circ)$, Ригель располагается к западу от небесного меридиана. Его часовой угол определяется из сферической теоремы синусов для параллактического треугольника:

$$\frac{\sin A}{\cos \delta} = \frac{\sin t}{\cos h};$$

$$t = \arcsin \frac{\sin A \cos h}{\cos \delta} = \arcsin \frac{\sin 109^\circ \cos 52.5^\circ}{\cos(-8^\circ 11')} = 35.6^\circ = 2^h 22^m,$$

Местное звёздное время рассчитаем по формуле

$$LST = t + \alpha = 2^h 22^m + 5^h 15^m = 7^h 37^m.$$

Поскольку время на гринвичском меридиане отстает от бангкокского на 7 часов, там новогодняя полночь наступит через

$$\Delta t = 07^h 01.01.2018 \text{ г.} - 01^h 21.11.2017 \text{ г.} = 10^d + 31^c + 6^h = 41.25^d,$$

так что звёздное время на Гринвиче в заданный момент составляет

$$\begin{aligned} GST &= GST_0 + \left(365^\circ - \Delta t\right) \cdot \frac{24^h}{23^h 56^m 04^s} = \\ &= 6^h 43^m - \left(365^d - 41.25^d\right) \times \frac{24^h}{23^h 56^m 04^s} = \\ &= 324.9166^d \equiv 0.9166^d = 22^h 00^m. \end{aligned}$$

Искомая долгота острова есть

$$\lambda = LST - GST = 7^h 37^m - 22^h 00^m = -14^h 23^m \equiv 9^h 37^m = 144.25^\circ \text{ в. д.}$$



Рис. 2.12. Геометрические построения, используемые в решении

Затем вычислим наклонение i к экватору g большого круга g , используя сферическую теорему косинусов для углов в $\Delta KK'C'$:

$$\cos i = -\cos \xi \cos 90^\circ + \sin \xi \sin 90^\circ \cos \varphi_2;$$

$$i = \arccos(\sin \xi \cos \varphi_2) = \arccos(\sin 16.74^\circ \cos 43^\circ 41') = 77.98^\circ. \quad (2.4)$$

Нам также понадобится длина m дуги KC' , которую нетрудно рассчитать по сферической теореме синусов для $\Delta KK'C'$:

$$\frac{\sin \varphi_2}{\sin i} = \frac{\sin m}{\sin 90^\circ};$$

$$m = \arcsin \frac{\sin \varphi_2}{\sin i} = \arcsin \frac{\sin 43^\circ 41'}{\sin 77.98^\circ} = 44.92^\circ.$$

Равноудалённые от Санкт-Петербурга и Красной Поляны точки лежат на большом круге h , перпендикулярном g и проходящем через середину O дуги CK . По аналогии с (2.4), его наклонение к экватору

$$\begin{aligned} \varphi &= \arccos \left[\cos \left(m + \frac{l}{2} \right) \sin i \right] = \\ &= \arccos \left[\cos \left(44.92^\circ + \frac{17.33^\circ}{2} \right) \times \sin 77.98^\circ \right] = 54.51^\circ. \end{aligned}$$

Тогда, очевидно, самая северная точка большого круга h находится на широте ϕ . Найдём азимут A восхода звезды ε СMa на этой широте. Запишем сферическую теорему косинусов для параллактического треугольника:

$$\sin \delta = \sin \varphi \sin h + \cos \varphi \cos h \cos A;$$

$$A = -\arccos \frac{\sin \varphi \sin h - \sin \delta}{\cos \varphi \cos h} = -\arccos \frac{\sin 28^\circ 58'}{\cos 54.51^\circ} = -33.5^\circ.$$

Упражнения.

1. Запишите уравнение большого круга, проходящего через заданные точки $(\varphi_1; \lambda_1)$ и $(\varphi_2; \lambda_2)$, а также серединного перпендикуляра к нему.
2. Используя результат предыдущего упражнения, найдите широту ϕ .

Небесная механика

Не видите ли вы, что субъект, по которому он движется, изменился заранее?

— Ах, да!

Л. Чайковский

3.1 Небесный курий

В 2016 году Новычик Вася обыкновенно отмечал 9 мая, находясь на Днепровом подиуме и наблюдав, как мачтенные небесное тело¹ долго и печально пересекает диск Солнца. Василий предполагал, что наблюдает транзит американского секретного спутника, обрывающегося вокруг Земли по круговой орбите.

Комбинированные расстояния Солнца и Меркурия в это время превышали составляли $r_S = 1,019$ а. е., $r_M = 0,357$ а. е., соответственно.

Несмотря на то что орбиты такого спутника R и её параметры ℓ и φ таковы, что $R \ll r_S$, $R \ll r_M$, $R \ll R_S$, $R \ll R_M$.

3.2 О бедной Лузиноточке слюсе

Точки Лагранжа — точки в системе из двух массивных тел, в которых трение тела с преобладанием малой массой, испытываемое движущимися под действием гравитационных сил со стороны двух первых тел, может оставаться неподвижным относительно этих тел. Точка Лагранжа L_4 лежит на соединяющей тела прямой и находится за телом с большей массой.

Выразите расстояние x между точкой L_4 и более массивным телом через расстояние R между телами и отношение их масс $\mu \ll 1$.

¹ Слово «тело» в «Небесном курии» означает нечто, что не имеет чёткого определения, но что, тем не менее, имеет массу. В общем смысле «тело» подразумевают, что «тело» имеет массу, но не имеет чётко определённых геометрических размеров, т. е. имеет форму, подобную форме яйца.

3.3 Космодром на Юпитере

Необходимо, по фактам на юпитерянской научной станции, парящей в верхних слоях атмосферы Юпитера, был построен космодром для межзвёздных перелетов! Дескать, поближе к границе Солнечной системы. Оцените минимальную скорость, с которой можно стартовать космический корабль с этого космодрома, чтобы действительно улететь к другим звёздам без дальнейших затрат топлива.

3.4 Звёздное трио

Цивилизация, живущая на далёкой планете, обращающейся вокруг звезды по орбите радиуса $a = 0.5$ а. е., построила и запустила устойчивый к высоким температурам звездолёт. Из него было за одну экспедицию изучить сразу две близлежащие звезды. Примерная траектория движения звездолета показана на рис. 3.2. Ионотангенты обитают на планете около звезды массой M_1 .

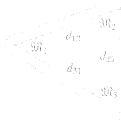


Рис. 3.2. К задаче Звёздное трио

№	α	δ	π
2	12 ^h 34 ^m	-80° 12'	0.050"
3	08 ^h 06 ^m	-12° 27'	0.040"

Таблица 3.1. Фрагмент каталога

В нашем распоряжении фрагмент звёздного каталога (таблица 3.1) жителей этой планеты, в котором указаны прямые восхождения, склонения и параллаксы звёзд 2 и 3. Все величины выражены аналогично земным.

Известно, что прицельные расстояния пролёта между всеми звёзд одинаковы и равны $q = 0.1$ а. е., а скорость звездолёта «на бесконечности» была бы равна $v_\infty = 70$ км/с.

- Найдите расстояния d_{12} , d_{23} , d_{31} и соответствующие им углы треугольника ϕ_1 , ϕ_2 , ϕ_3 .
- Оцените время полёта.
- Оцените массы звёзд M_1 , M_2 и M_3 .
- Выясните, к какой из звёзд аппарат приблизится сильнее всего, и оцените это расстояние. Задумайтесь он её поверхность, если звезда принадлежит главной последовательности?

Относительные движения звёзд не учитывать.

3.5 67Р

Используя приведённый ниже график, определите параметры орбиты объекта 67Р: большую полуось a и эксцентриситет e . Части графика были утрачены в ходе постобработки.

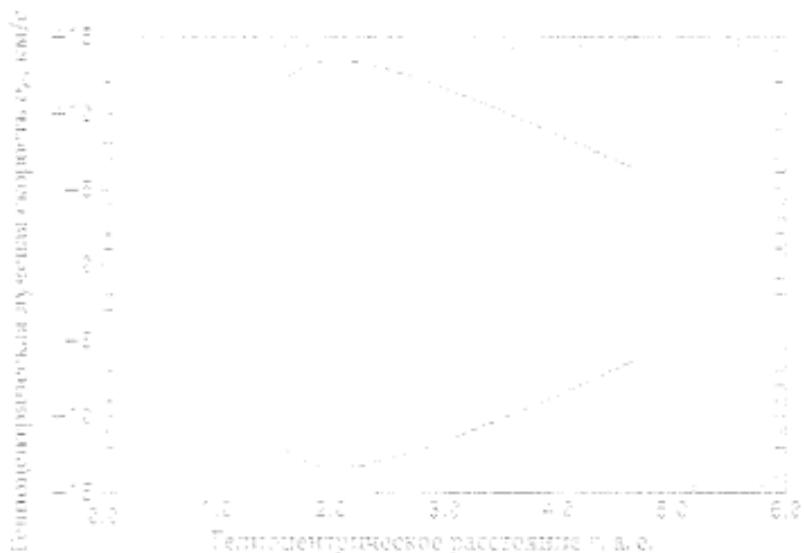


Рис. 3.5. График к задаче 67Р

3.6 К Сатурну¹

Космический корабль запущен с поверхности Земли к Сатурну по наиболее энергетически выгодной траектории. К своим движению корабль проходит мимо астероида-троинца (624) Гектор.

Определите большую полуось и эксцентриситет полученной орбиты, скорость старта с поверхности Земли, а также угол между направлениями на Солнце и на Сатурн в момент старта корабля. Оцените относительную скорость корабля и астероида во время сближения.

Орбиты считайте круговыми, атмосферой пренебрегите.

3.7 Гравитация падает

Рассмотрим следующую модификацию закона всемирного тяготения:

$$\tilde{F} = G \frac{m_1 m_2}{r^2},$$

$$\tilde{r} = \frac{r}{1 + \epsilon r},$$

Найдите первую поправку ко второй космической скорости для объекта массы M и радиуса R в рамках данной теории, полагая $R \ll r$.

Подсказка: $\int \frac{dx}{x^2 + a^2} = \frac{\arctan \frac{x}{a}}{a} + \text{const.}$

3.8 Антипланеты

Астрономы Луна и Пупа живут на антипланетах, обращаются вокруг звезды с массой $M_* \approx 10 M_\odot$ по эллиптической орбите с фокальным параметром $r = 0.3$ а. е. и эксцентриситетом $e = 0.72$. Как и полагается антипланетам, время от времени центральная звезда находится точно между ними. В этот момент X истинная аномалия планеты Пуны составляет $\nu = 237^\circ$.

Однажды кто-то опять всё перекутал, и в момент X центральная звезда бесследно исчезла, а модули скоростей планет уменьшились в 217 раз. Установите, с каким периодом T планеты белых астрономов будут обращаться в отсутствие звезды. Известно, что планеты относятся к классу горячих Юпитеров с массой $M \approx 90 M_\oplus$.

3.9 Годограф

Тело движется в центральном гравитационном поле звезды массы M . Плоскость орбиты разбита на секторы с общей вершиной в центре звезды и одинаковыми малыми углами раствора $\Delta\phi$. Угольянный орбитальный момент импульса тела \vec{J} .

- Найдите изыскание скорости спутника $|\Delta\vec{v}|$ при прохождении сектора.

Годографом называют кривую, которую описывает конец вектора скорости, отложенного от начала координат. Известно, что для кеплерова движения годограф — луга окружности или окружность.



Рис. 3.4. К задаче Годограф: вид эллиптической орбиты и годографа скорости

- Уточните годограф скорости для эллиптической орбиты, изображённой выше, с учётом её геометрических параметров. Укажите на годографе точки, соответствующие отмеченным (1 ~ 6) на орбите.
- Изобразите качественно годограф скорости для гиперболической орбиты с эксцентриситетом $e = 2$. Отметьте на чертеже характерные элементы и соотношения между ними.

3.10 Приказ 66

Преподуемый зекастрон китурозионин, мастер Кота решил укрыться на планете Мрисет системы Меннаалии (орбитальный период $T \approx 60$ стандартных лет, эксцентриситет орбиты $e = 0.94$). Бортовой компьютер звездолёта Коты серьезно повреждён, поэтому нам придётся помочь ему с расчётом.

1. Выразите секторную скорость σ материальной точки, движущейся в центральном поле, через её удельный момент импульса \tilde{l} .
2. Запишите соотношение между удельным моментом импульса \tilde{l} , удельной механической энергией E кеплерова движения тела и эксцентриситетом e его орбиты.

В момент, когда Мрисет вступила в верхнее соединение с Меннаалии и находилась точно за её диском в апогянте своей орбиты, Кота начал изногать корабль при помощи Силы. Через промежуток времени t , не превышающий трети T , корабль совершил жёсткую посадку на Мрисет при астроцентрическом расстоянии r_1 , равном большой полуоси орбиты планеты.

3. Найдите t , пренебрегая гравитационным взаимодействием корабля и планеты.

3.11 Mars Orbiter Mission

Индийский аппарат Mars Orbiter Mission запустили с помощью ракеты-носителя Polar Satellite Launch Vehicle 5 ноября 2013 года. Масса аппарата вместе с топливом составила $m = 1352$ кг. Сначала аппарат вывели на эллиптическую орбиту вокруг Земли с высотами перигея $h_p = 264$ км и апогея $h_a = 23904$ км. Потом он 6 раз переходил на более высокую орбиту, а затем отправился к Марсу по гомановскому эллипсу.

При этом, чтобы впервые изменить траекторию, два аттера выключили на очень короткий промежуток времени поблизости перигея. При этом сохранилось положение перигея и плоскость орбиты; аппарат пропобрёл дополнительный импульс $J = 1.73 \cdot 10^5$ кг · м / с.

1. Найдите высоту нового симметричного.
2. Рассчитайте эксцентриситет новой орбиты и период обращения по ней.

Наженением массы из-за горения топлива пренебрегите

3.12 Масса Местной группы

Поскольку Местная группа галактик образует единую физически связанную систему, естественно предположить, что Млечный Путь и галактика Андромеды сформировались сравнительно недавно друг от друга. Знан движение этих галактик, можно оценить их суммарную массу, которая составляет существенную часть массы всей Местной группы. Для оценки достаточно определить расстояние между галактиками, их относительную скорость и установить возраст Вселенной. Этим методом в 1959 году воспользовались Kahn и Woltjer; в этой задаче мы следуем по их пути.

Рассмотрим систему из двух точечных масс \mathcal{M}_1 и \mathcal{M}_2 с нулевым суммарным моментом импульса в инерциальной системе отсчёта их центра масс.



Рис. 3.5. К задаче Масса Местной группы

- Чему равна полная механическая энергия системы? Образуйте ответ через массы \mathcal{M}_1 и \mathcal{M}_2 , расстояния r_1 и r_2 , частоты ω_1 и ω_2 , и гравитационную постоянную G .
- Перепишите выражение для E в следующем виде, заменивши

G	— гравитационная постоянная
$r \equiv r_1 + r_2$	— расстояние между галактиками
$v \equiv \dot{r}$	— относительная скорость галактик
$\mu \equiv \frac{\mathcal{M}_1 \mathcal{M}_2}{\mathcal{M}_1 + \mathcal{M}_2}$	— приведенная масса
$\mathcal{M} \equiv \mathcal{M}_1 + \mathcal{M}_2$	— полная масса группы

- Нокажите, что из полученного результата получается формула

$$v^2 = 2GM \left(\frac{1}{r_1} + \frac{1}{r_2} \right),$$

где r_0 — некоторая константа. Выразите из этого уравнения E , \mathcal{M} , μ и G .

Решение уравнения движения тел в описанной системе при условии $\dot{\psi}_1 = 0 = \dot{\theta}$ в параметрическом виде представляется выражениями

$$\begin{cases} r(\hat{\theta}) = \frac{r_0}{2} \cdot (1 + \cos \hat{\theta}), \\ \varphi(\hat{\theta}) = \left(\frac{r_0^2}{8GM} \right)^{\frac{1}{2}} (\hat{\theta} - \sin \hat{\theta}). \end{cases} \quad (3.1)$$

Параметр $\hat{\theta}$ измеряется в радианах.

4. Используя (3.1) покажите, что

$$\frac{d\varphi}{dr} = \frac{(\hat{\theta} - \sin \hat{\theta})(\sin \hat{\theta})}{(1 - \cos \hat{\theta})^2}.$$

Где r_0 — масса M_1 и M_2 — соответственно массы Млечного Пути и галактики Андромеды. На данный момент $v_0 = -118$ км/с и $r_0 = 710$ км. Промежуток времени t_0 можно принять равным возрасту Вселенной $13.7 \cdot 10^9$ лет.

5. Вычислите соответствующее значение $\hat{\theta}_0$.
 6. Оцените максимальное удаление галактик r_{\max} в описанном движении при суммарной массе M .

3.13 Экзотурии

Способы траектории обнаружения экзопланет назначение у них сугубое: можно установить прямым способом первоначальное смещение планеты относительно центра масс системы: планета — луна приводит к тому, что прохождение планеты по диску звезды наблюдается раньше или позже по сравнению с предсказанным без учёта луны. Меняется и наблюдаемая длительность прохождения.

Рассмотрим видимую с ребра систему со следующими параметрами:

M_p — масса планеты;

M_m — масса луны;

R_p — радиус планеты;

Z_p — орбитальный период барицентра системы: планета — луна;

T_m — период обращения луны вокруг планеты;

ϕ — расстояние от барицентра до звезды;

$a_{\text{пр}}$ — расстояние от луны до барицентра;

f_m — фаза луны ($f_m = 0$, когда луна в противостоянии со звездой).

Будем считать, что луна всегда лежит в плоскости орбиты планеты, направление её обращения вскругл планеты совпадает с направлением вращения планеты вокруг звезды; все орбиты в системе круговые. На схеме ниже изображены несколько конфигураций с разными фазами.

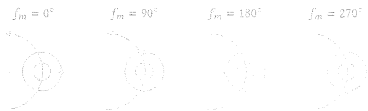


Рис. 3.6. К задаче Экзотуны: примеры конфигураций (определение фазы)

- Пусть $\sigma_I \equiv t_m - t$, где t — предсказанное без учёта луны время начала прохождения, а t_m — наблюдаемое. Предположив, что скорость движения центра масс по орбите куда большие скорости движения луны вокруг него, покажите, что

$$\sigma_I = \frac{a_m \mathfrak{M}_m P_p}{2\pi a_p \mathfrak{M}_p} \sin f_m.$$

- Пусть $\sigma_d = t_m - \tau$, где τ — предсказанная длительность прохождения, а t_m — наблюдаемая. Из предположения о скоростях следует, что фазу во времени прохождения можно считать постоянной. Покажите, что

$$\sigma_d = \tau \frac{P_p \mathfrak{M}_m a_m}{P_m \mathfrak{M}_p a_p} \cos f_m.$$

- Некоторая экзопланета вращается вокруг звезды, аналогичной Солнцу. Эта система удовлетворяет модели настоящей задачи. Из наблюденной известно, что $P_p = 3.50$ сут, $\mathfrak{M}_p = 120 \mathfrak{M}_{\oplus}$ и $R_p = 12 R_{\oplus}$. Между σ_I и σ_d выполнено соотношение

$$\sigma_d^2 = -0.7432 \sigma_I^2 + 1.933 \cdot 10^{-8} \text{ сут}^2$$

Исходя из соотношения $\mathfrak{M}_m \ll \mathfrak{M}_p$, найдите τ .

- Найдите период обращения луны P_m в сутках.
- Оцените расстояние от луны до центра масс a_m в радиусах Земли. Найдите массу луны \mathfrak{M}_m в массах Земли.

3.14 Moon наш!

Сфера Хилла — область пространства около небесного тела, в которой оно способно удерживать свои спутники несмотря на притяжение тела, вокруг которого обращается (например, звезды). Её радиус для Земли можно записать как

$$R_h = a_\oplus \sqrt{\frac{M_\oplus}{\alpha M_\oplus}},$$

Предел Ронда — минимальный радиус орбиты, на котором спутник может выдержать притягивающие силы, создаваемые планетой. В системе Земля — Луна он равен

$$R_r = R_\oplus \sqrt{\beta \cdot \frac{\rho_\oplus}{\rho_\odot}},$$

где ρ_\oplus и ρ_\odot — плотности Земли и Луны соответственно.

1. Найдите значение коэффициента α , полагая $M_\oplus \ll M_\odot$.
2. Найдите значение коэффициента β , пренебрегая вращением и деформациями Луны.
3. При каких значениях плотности Земли ρ_\oplus система Земля — Луна могла бы существовать при нынешних значениях радиуса Земли R_\oplus и большой полуоси орбиты Луны a_\odot ?

Решения

3.1 Псевдомеркурий

Такой спутник не может обращаться вокруг Земли. В самом деле, оценим видимую угловую скорость Меркурия в момент наблюдения, полагая скорости планет v_M и v_\oplus относительно Солнца равными круговыми:

$$\omega = \frac{v_M - v_\oplus}{r_M} \approx \frac{\sqrt{\frac{GM_\oplus}{a_M}} - \sqrt{\frac{GM_\oplus}{a_\oplus}}}{r_M}. \quad (3.2)$$

Необходимо отметить, что тело на схеме из условия задачи движется, как и подобает внутренней планете в нижнем соединении, в западном (положительном) направлении.

С другой стороны, спутник, обращающийся по орбите радиуса R , имеет угловую скорость

$$\bar{\omega} = \sqrt{\frac{GM_\oplus}{R^3}}.$$

Из совпадения видимых движений приходим к равенству $\omega = \bar{\omega}$, откуда

$$R = \sqrt[3]{\frac{r_M^2 a_\oplus}{\left(\sqrt{\frac{a_\oplus}{a_M}} - 1\right)^2 M_\oplus}} \approx \sqrt[3]{\frac{0.56^2}{\left(\sqrt{\frac{1.00}{0.39}} - 1\right)^2}} \times \frac{1}{3.3 \cdot 10^5} \text{ а. е.} \approx \\ = 14 \cdot 10^{-3} \text{ а. е.} \approx 2 \cdot 10^6 \text{ км.}$$

Во время прохождения гелиоцентрическое расстояние Меркурия составляло

$$R_M = r_\oplus - r_M = 1.010 \text{ а. е.} - 0.557 \text{ а. е.} = 0.453 \text{ а. е.},$$

что близко к его афелийному расстоянию

$$a_M(1 + e_M) = 0.3871 \text{ а. е.} \times 1.2056 \approx 0.467 \text{ а. е.}$$

Следовательно, выражение (3.2) преувеличивает значение относительной угловой скорости Меркурия и Земли, а полученная оценка R существенно занижена.

На таком расстоянии от Земли, за пределами сферы Хилла ($1.5 \cdot 10^6$ км), спутник обращаться не может (см. задачу 3.14, стр. 53). \square

3.2 О бедной L_3 замолвите слово

Рассмотрим две материальные точки с массами \mathfrak{M}_1 и \mathfrak{M}_2 и радиусами-векторами \vec{r}_1 и \vec{r}_2 , обращающиеся вокруг общего центра масс с угловой скоростью ω . Для определенности положим $\mathfrak{M}_1 > \mathfrak{M}_2$.

По третьему закону Кеплера угловая скорость вращения системы

$$\omega = \frac{2\pi}{T} = \sqrt{\frac{G(\mathfrak{M}_1 + \mathfrak{M}_2)}{R^3}}.$$

Вудем «работать» в системе отсчета, связанной с более массивным телом. Второе тело сообщает ему ускорение

$$\vec{a}_{21} = \frac{G\mathfrak{M}_2}{R^3}(\vec{r}_2 - \vec{r}_1),$$

поэтому на материальную точку массы m , расположенную в точке L_3 , на радиусе-векторе \vec{r} , действует сила инерции

$$\vec{F}_i = -m\vec{a}_{21} = \frac{G\mathfrak{M}_2 m}{R^3}(\vec{r}_1 - \vec{r}_2).$$

Запишем условие равновесия этой «пробной» материальной точки:

$$\frac{G\mathfrak{M}_1 m}{|\vec{r}_1 - \vec{r}|^3}(\vec{r}_1 - \vec{r}) + \frac{G\mathfrak{M}_2 m}{|\vec{r}_2 - \vec{r}|^3}(\vec{r}_2 - \vec{r}) + \frac{G\mathfrak{M}_2 m}{R^3}(\vec{r}_1 - \vec{r}_2) = m\omega^2(\vec{r}_1 - \vec{r}),$$

тяготение \mathfrak{M}_1	тяготение \mathfrak{M}_2	сила инерии	вращение
----------------------------	----------------------------	-------------	----------

Поскольку тела лежат на одной прямой, можно переписать это уравнение, заменив векторы на их проекции на направление этой прямой:^{*}

$$\frac{\mathfrak{M}_1}{x^2} + \frac{\mathfrak{M}_2}{(R+x)^2} - \frac{\mathfrak{M}_2}{R^2} = \frac{(\mathfrak{M}_1 - \mathfrak{M}_2)x}{R^3}.$$

После умножения на $\frac{R^2}{\mathfrak{M}_1}$ условие равновесия выглядит симпатичнее:

$$(1 + \xi)^{-2} + \frac{\mu}{4} \left(1 + \frac{\xi}{2}\right)^{-2} - \mu = (1 + \mu)(1 - \xi) \quad \left| \begin{array}{l} \xi \equiv \frac{x - R}{R} \ll 1; \\ \mu \equiv \frac{\mathfrak{M}_2}{\mathfrak{M}_1} \ll 1. \end{array} \right.$$

* Технически, это фраза означает следующее: «заткни» вектором можем опустить замены \vec{r} на $-x$, \vec{r}_1 на 0 , \vec{r}_2 на R . Геометрия системы описана в условии задачи.

Раскладывая полученное выражение по формуле $(1+t)^n \approx 1 + \alpha t$ и пренебрегая членами второго и высших порядков при раскрытии произведений, получим

$$1 - 2\xi + \frac{\mu}{4} - \mu \approx 1 - \xi + \mu,$$

$$\therefore \xi \approx -\frac{7}{12}\mu; \quad x \approx R \left(1 - \frac{7}{12} \frac{M_2}{M_1} \right).$$

Упражнения.

- Где же находится точка L_3 : внутри или снаружи орбиты тела меньшей массы?
- Получите аналогичный результат для точки L_1 , располагающейся между телами. В этом случае удобнее искать расстояние от тела с меньшей массой.
- Докажите, что существуют ровно две точки Лагранжа, не лежащие на соединяющей тела прямой, причём каждая из них образует равносторонний треугольник с этими телами.
- Пусть теперь тела имеют практически одинаковые массы. Найдите расстояние от центра масс системы до точки Лагранжа, находящейся вблизи него, выразив ответ через расстояние между телами R , сумму и разность их масс Σm и Δm .

3.3 Космодром на Юпитере

Очевидно, нам требуется посчитать третью космическую скорость для Юпитера. Пусть v_{\perp} — орбитальная скорость Юпитера, v — скорость корабля в системе отсчёта Юпитера, когда он уже покинул его сферу влияния, а \tilde{v} — скорость корабля в системе отсчёта Солнца в этот же момент.

Из закона сложения скоростей

$$\tilde{v} = v + \tilde{v}_{\perp} \quad \Rightarrow \quad v \leq v_{\perp},$$

причём равенство достигается только тогда, когда v и \tilde{v}_{\perp} сонаправлены. Поскольку нас интересует наименьшее значение v , будем считать, что так и есть.

Орбиту Юпитера будем считать круговой. Тогда, чтобы покинуть Солнечную систему, необходимо, чтобы гелиоцентрическая скорость корабля V составляла хотя бы $\sqrt{2}v_{\perp}$, откуда

$$v = (\sqrt{2} - 1)v_{\perp}.$$

Пусть v_0 — скорость, с которой корабль был запущен. Запишем закон сохранения энергии:

$$\frac{v^2}{2} = \frac{v_0^2}{2} - \frac{GM_2}{R_{\perp}}.$$

В момент покидания сферы тяготения Юпитера полагаем потенциальную энергию его взаимодействия с последним равной нулю; влияние Солнца можно не учитывать, ибо относительно него корабль почти не менял своего положения.

Наконец, полставляя орбитальную скорость Юпитера

$$v_{\perp} = \sqrt{\frac{GM_{\oplus}}{a_{\oplus}}},$$

находим

$$v_c = \sqrt{(\sqrt{2}-1)^2 \frac{GM_{\oplus}}{a_{\oplus}} + \frac{2GM_{\oplus}}{R_{\oplus}}} \approx 60 \text{ км/с.}$$

Идея запускать с Юпитера, честно говоря, не очень — с Земли куда проще...

Упражнение.

Для нахождения искомой скорости можно записать сразу закон сохранения энергии для моментов старта с Юпитера и выткет «на бесконечность»:

$$\frac{(v_0 - v_{\perp})^2}{2} - \frac{GM_{\oplus}}{R_{\oplus}} - \frac{GM_{\oplus}}{a_{\oplus}} = 0.$$

Находит ошибку. Как её исправить?

3.4 Звёздное трио

1. Прежде всего, нужно перевести параметры звёзд в расстояния, не забыв о том, что орбиты планеты в два раза меньше земной:

$$d_{12} = \frac{a}{\pi_2} = \frac{0.5 \text{ а.е.}}{0.05''} = 10.0 \text{ пк};$$

$$d_{31} = \frac{a}{\pi_3} = \frac{0.5 \text{ а.е.}}{0.04''} = 12.5 \text{ пк.}$$

Используя сферическую теорему косинусов, найдём угол между звёздами 2 и 3 на небе планеты:

$$\begin{aligned} \varphi_1 &= \arccos(\sin \delta_2 \sin \delta_3 - \cos \delta_2 \cos \delta_3 \cos(\alpha_2 - \alpha_3)) = \\ &= \arccos(\sin 80^\circ 12' \sin 12^\circ 27' - \\ &\quad + \cos 80^\circ 12' \cos 12^\circ 27' \cos(12^{\text{h}} 34^{\text{m}} - 8^{\text{h}} 06^{\text{m}})) = 73^\circ 54'. \end{aligned}$$

$$d_{11} = \sqrt{d_{11}^2 + d_{21}^2 + 2d_{12}d_{21}\cos\Delta_1} =$$

$$= \sqrt{10.0^2 + 11.5^2 - 2 \times 10.0 \times 11.5 \times \cos(180^\circ - 108.4^\circ - 108.4^\circ)} = 10.0$$

$$\frac{d_{12}}{\sin \phi_1} = \frac{d_{23}}{\sin \phi_2}$$

$$\varphi_0 = \arcsin \left(d_3; \frac{\sin \varphi_1}{d_{04}} \right) = \arcsin \left(12.5; \frac{\sin 73^\circ 54' }{13.7} \right) \approx 61^\circ 14'.$$

$$\phi_1 = \arcsin\left(\frac{\sin \phi_3}{d_{12}}\right) = \arcsin\left(10.0 \cdot \frac{\sin 73^\circ 54' }{34.7}\right) \approx 41^\circ 32'$$

$$\frac{m_1}{M} = \left(\frac{\frac{m_1}{M}}{\frac{m_1}{M}} + \frac{\frac{m_1}{M}}{\frac{m_1}{M}} + \frac{1}{\frac{m_1}{M}} \right)^{-1} = \frac{1}{\frac{m_1}{M} + 2},$$

3. По астрономическим признакам можно считать, что вблизи каждой из звезд движутся по гиперболе. Необходимо счесть между собой массу звезды, скорость «на бесконечности» и пребывающее расстояние.

Заметим, что прямоугольные треугольники OAB и OBC (схема 3.7) равны по гипотенузе и углу. Значит,

$$\frac{P_{\text{S}}}{P_{\text{R}}} = \frac{1}{4\pi r^2} \cdot \frac{P_{\text{S}}}{P_{\text{R}}} = \frac{1}{4\pi r^2} \cdot \frac{P_{\text{S}}}{P_{\text{R}}} = \frac{1}{4\pi r^2} \cdot \frac{P_{\text{S}}}{P_{\text{R}}}.$$

$$\psi = \sqrt{G^{(1)}} \left[\frac{2}{\lambda^2} + \frac{1}{\lambda^2 \sinh^2(\lambda x)} \right]^{-\frac{1}{2}} e^{-\lambda x} \quad (1)$$

откуда большая полуось гиперболы

$$a = \frac{GM}{v_{\infty}^2},$$

Заметим, что

$$\lg \frac{\varphi}{2} = \frac{q}{a} = \frac{qv_{\infty}^2}{GM} \implies M = \frac{qv_{\infty}^2}{G \lg \frac{\varphi}{2}}. \quad (3.3)$$

Прежде чем произволить расчёты, переведём гравитационную постоянную в удобные единицы:

$$G = 6.674 \cdot 10^{-11} \frac{\text{М}^3}{\text{кг} \cdot \text{с}^2} = 6.674 \cdot 10^{-20} \frac{\text{Км} \cdot \text{Км}^2}{\text{кг} \cdot \text{с}^2} = \\ = 4.461 \cdot 10^{-28} \frac{\text{а. е.} \cdot \text{Км}^2}{\text{кг} \cdot \text{с}^2} = 923 \frac{\text{а. е.} \cdot \text{Км}^2}{\text{М}_\odot \cdot \text{с}^2}.$$

$$\mathfrak{M}_1 = \frac{0.1 \times 70^2}{923} \mathfrak{M}_\odot / \lg \frac{73^\circ 54'}{2} \approx 0.7 \mathfrak{M}_\odot,$$

$$\mathfrak{M}_2 = \frac{0.1 \times 70^2}{923} \mathfrak{M}_\odot / \lg \frac{61^\circ 14'}{2} \approx 0.9 \mathfrak{M}_\odot,$$

$$\mathfrak{M}_3 = \frac{0.1 \times 70^2}{923} \mathfrak{M}_\odot / \lg \frac{44^\circ 32'}{2} \approx 1.3 \mathfrak{M}_\odot.$$

4. Расстояние в перигастре есть

$$p = a(e - 1) = a \left(\frac{c}{a} - 1 \right) = \frac{q}{\lg \frac{\varphi}{2}} \left(\frac{1}{\cos \frac{\varphi}{2}} - 1 \right) = q \frac{1 - \cos \frac{\varphi}{2}}{\sin \frac{\varphi}{2}} = q \operatorname{tg} \frac{\varphi}{4}.$$

Оно минимально у третьей звезды по монотонности тангенса и равно

$$p_3 = q \operatorname{tg} \frac{\varphi_3}{4} = 0.1 \text{ а. е.} \times \operatorname{tg} \frac{44^\circ 32'}{4} = 0.020 \text{ а. е.} \approx 4.3 R_\odot.$$

Поскольку $R_3/R_2 \sim \mathfrak{M}_3/\mathfrak{M}_2 \approx 1.3$, аппарат не зацепит эту звезду. Тем не менее, инженерам явно пришлось хорошо потрудиться!

Упражнения.

Предложите аналитический способ получения выражения (3.3).

1. Каковы условия на поверхности планеты, обжитой инопланетянами?

2. Оцените радиусы всех трёх звёзд.

3.5 67Р

По теореме Пифагора квадрат гелиоцентрической скорости кометы

$$v^2 = v_t^2 + v_r^2,$$

где v_t и v_r — соответственно трансверсальная и радиальная компоненты скорости. С другой стороны, из интеграла энергии

$$v^2(r) = GM_{\odot} \left(\frac{2}{r} - \frac{1}{a} \right),$$

Найдём соответствующее выражение для v_r , исходя из ЗСМИ и равенства $v_r = 0$ в перигелии и афелии:

$$v_r^2 r^2 = GM_{\odot} \left(\frac{2}{a(1-e)} - \frac{1}{a} \right) \cdot a^2 (1-e)^2 = GM_{\odot} a (1-e^2).$$

откуда сразу следует

$$v_r = \sqrt{v^2 - v_r^2} = \sqrt{GM_{\odot} \left(\frac{2}{r} - \frac{1}{a} - \frac{a(1-e^2)}{r^2} \right)}. \quad (3.4)$$

Нетрудно заметить, что касательная к графику горизонтальна в точке $\{r_0 = 2.04 \text{ а.е.}, v_r = 13.4 \text{ км/с}\}$, где

$$\begin{aligned} \frac{dv_r(r_0)}{dr} &= 0 \implies \frac{dv_r^2(r_0)}{dr} = 0 \implies \\ &\implies GM_{\odot} \left(-\frac{2}{r_0^2} + \frac{2a(1-e^2)}{r_0^3} \right) = 0 \implies a = \frac{r_0}{1-e^2}. \end{aligned}$$

Подстановка a, r_0, v_{r_0} в (3.4) даёт уравнение относительно e , разрешим которое находим и a :

$$e = \sqrt{\frac{v_{r_0}^2 r_0}{GM_{\odot}}} = \frac{v_{r_0}}{v_{\odot}} \sqrt{\frac{r_0}{a_{\odot}}} = \frac{13.4 \text{ км/с}}{29.8 \text{ км/с}} \times \sqrt{2.04} = 0.64;$$

$$a = \frac{r_0}{1-e^2} = \frac{2.04 \text{ а.е.}}{1-0.64^2} = 3.46 \text{ а.е.}$$

Упражнения.

- Предложите способ определения большой полуоси и эксцентриситета орбиты тела, используя при этом линеаризацию зависимости $v_r(r)$.
- Табулируйте график, присланный к условию настоящей задачи, и проверьте работоспособность предложенного метода.
- Оцените погрешности расчётных величин a и e .

3.6 К Сатурну!

1. Корабль летит по гомановскому эллипсу, перигелий которого находится на орбите Земли, а афелий — на орбите Сатурна. Его бельяная полуось

$$a = \frac{a_{\oplus} + a_{\odot}}{2} = \frac{1.00 \text{ а. е.} + 9.54 \text{ а. е.}}{2} = 5.28 \text{ а. е.},$$

$$e = 1 - \frac{a_{\oplus}}{a} = 1 - \frac{1.00 \text{ а. е.}}{9.54 \text{ а. е.}} = 0.81.$$

Скорость, которую корабль должен иметь в точке перигея, есть

$$\begin{aligned} v_p &= \sqrt{GM_{\oplus} \left(\frac{2}{a_{\oplus}} - \frac{1}{a} \right)} = v_{\oplus} \sqrt{2 - \frac{a_{\oplus}}{a}} = \\ &= 29.8 \text{ км/с} \times \sqrt{2 - \frac{1}{5.28}} \approx 40.1 \text{ км/с}. \end{aligned}$$

На границе сферы действия Земли корабль должен иметь скорость

$$u = v_p - v_{\oplus} = (40.1 - 29.8) \text{ км/с} = 10.3 \text{ км/с}.$$

Потом из закона сохранения энергии скорость старта с поверхности Земли будет равна

$$v_0 = \sqrt{u^2 + v_{\oplus}^2} = \sqrt{10.3^2 + 11.2^2} \text{ км/с} = 15.2 \text{ км/с},$$

где v_{\oplus} — вторая космическая скорость для Земли.

Время движения корабля от Земли к Сатурну равно половине орбитального периода для эллипса Гомана:

$$T = \frac{T_{\odot}}{2} \left(\frac{a}{a_{\oplus}} \right)^{3/2} = \frac{1 \text{ год}}{2} \left(\frac{5.28 \text{ а. е.}}{1.06 \text{ а. е.}} \right)^{3/2} \approx 6.1 \text{ года}.$$

2. Поскольку к моменту окончания полёта корабль и Сатурн должны оказаться в непосредственной близости друг от друга, угол ξ , который за время полёта корабля проходит Сатурн по своей орбите, равен

$$\xi = 360^\circ \cdot \frac{T}{T_{\odot}} \approx 74^\circ.$$

Рассмотрим траекторию $\Delta\Theta_1$ для корабля в момент старта корабля. Определим из (3.1) гелиоцентрическое расстояние Сатурна:

$$\begin{aligned} \Theta_1^k &= \sqrt{1.67^2 + 1.77^2 + 2 \cdot 1.67 \cdot 1.77 \cos 71^\circ} \\ &= \sqrt{1.00 + 9.42 - 2 \times 1.67 \times 1.77 \cos 71^\circ} = 3.12 \text{ а.е.} \end{aligned}$$

Тогда по теореме синусов

$$\frac{\Theta_1^k}{\sin \angle \Theta_1^k \Theta_2^k} = \frac{\Theta_2^k}{\sin \varphi},$$

$$\angle \Theta_1^k \Theta_2^k = \arcsin \frac{\Theta_1^k \cdot \sin \varphi}{\Theta_2^k} = \arcsin \frac{9.54 \text{ км/с} \cdot \sin 71^\circ}{9.79 \text{ км/с}} = 68^\circ.$$

Задача является тройским астероидом Юпитера и движется по его орбите с опережением на 60° . Закон сопротивления времени определен тремя точками старта и конки пересечения орбиты Юпитера:

$$d\Omega_1^k = d\Omega_2^k = 60^\circ$$

и $\omega_1^k =$ угол между радиусом-вектором и линией скорости корабля v_1^k , — скорость корабля при пересечении орбиты Юпитера:

$$v_1^k = \sqrt{G M_{\odot}} \left(\frac{2}{a_{\odot}^k} - \frac{1}{r_1^k} \right) = 15.2 \text{ км/с.}$$

$$\angle \theta = \arcsin \frac{d\Omega_1^k}{d\Omega_2^k} = \arcsin \left(\frac{1.60 \text{ км/с}}{5.20 \text{ км/с}} \times \frac{40^\circ}{60^\circ} \right) = 30^\circ.$$

Вектор гелиоцентрической скорости Гектора ортогонален пренебрежимому и эту конку радиусу-вектору. Угол между векторами складывается

$$\Delta\theta = 90^\circ - \theta = 90^\circ - 30^\circ = 60^\circ.$$

Скорость тройника равна кратной для орбиты Гектора

$$v_{\odot}^k = \sqrt{\frac{GM_{\odot}}{a_{\odot}^k}} = v_{\oplus}^k \sqrt{\frac{d\Omega}{d\Omega_2^k}} = \frac{29.8 \text{ км/с}}{\sqrt{3.00}} = 17.1 \text{ км/с.}$$

Определим изу же скорость Гектора и корабля решением задачи по теореме косинусов:

$$\begin{aligned} v_{\odot,1}^k &= \sqrt{v_{\odot}^k + v_1^k - 2v_{\odot}^k v_1^k \cos \Delta\theta} = \\ &= \sqrt{17.1^2 + 13.2^2 - 2 \times 13.2 \times 17.1 \cos 60^\circ} = 17.5 \text{ км/с.} \end{aligned}$$

3.7 Гравитация падает

Пишём выражение для потенциальной энергии тела $U(r)$:

$$\begin{aligned} U(r) &= - \int F(r) dr = -G\mathfrak{M}m \int \frac{dr}{r^2 + r_0^2} = -G\mathfrak{M}m \int \frac{r_0^2 dr}{r^2(r_0^2 + r^2)} = \\ &= -G\mathfrak{M}m \int \left(\frac{1}{r^2} - \frac{1}{r^2 + r_0^2} \right) dr = -G\mathfrak{M}m \left(\frac{1}{r} + \frac{\operatorname{arctg} \frac{r}{r_0}}{r_0} \right) + \text{const.} \end{aligned}$$

Важно отметить, что эта функция строго монотонна на $r \in (0; +\infty)$. Тогда из определения второй космической скорости и закона сохранения энергии имеем

$$\begin{aligned} \frac{1}{2}mv_{\text{II}}^2 - U(R) &= U(\infty) \equiv \lim_{r \rightarrow \infty} U(r); \\ \frac{1}{2}v_{\text{II}}^2 - G\mathfrak{M} \left(\frac{1}{R} + \frac{\operatorname{arctg} \frac{R}{r_0}}{r_0} \right) &= -G\mathfrak{M} \left(\phi + \frac{\pi}{2r_0} \right), \\ \therefore v_{\text{II}}^2 &= 2G\mathfrak{M} \left(\frac{1}{R} + \frac{\operatorname{arctg} \frac{R}{r_0}}{r_0} - \frac{\pi}{2r_0} \right) \approx 2G\mathfrak{M} \left(\frac{1}{R} + \frac{R}{r_0^2} - \frac{\pi}{2r_0} \right) = \\ &= \frac{2G\mathfrak{M}}{R} \left(1 - \frac{\pi R}{2r_0} + \frac{R^2}{r_0^2} \right) \approx \frac{2G\mathfrak{M}}{R} \left(1 - \frac{\pi R}{2r_0} \right). \end{aligned}$$

Иначе говоря,

$$v_{\text{II}} \approx \sqrt{\frac{2G\mathfrak{M}}{R} \left(1 - \frac{\pi R}{2r_0} \right)} \approx \sqrt{\frac{2G\mathfrak{M}}{R} \left(1 - \frac{\pi R}{4r_0} \right)}.$$

3.8 Апплиланеты

В этом разделе индексом p будем отмечать величины, относящиеся к Юпитеру и его планете, а l – относящиеся, соответственно, к Луне.

Длина радиус-вектора для каждой из планет в момент исчезновения звезды определяется из уравнения аллипса (в полярных координатах). Учитывая, что в момент X планеты находились на одной прямой, получаем

$$r_{p1} = \frac{p}{1 + e \cos v} = \frac{0.3 \text{ а.е.}}{1 - 0.72 \cos 237^\circ} = 0.494 \text{ а.е.},$$

$$r_{l1} = \frac{p}{1 + e \cos(v - 180^\circ)} = \frac{0.3 \text{ а.е.}}{1 - 0.72 \cos(237^\circ - 180^\circ)} = 0.215 \text{ а.е.}$$

Для большей полноты орбиты a справедливо выражение

$$a = \frac{P}{1 - e^2} = 0.623 \text{ а. с.}$$

По теореме косинусов для треугольников $\triangle F_1F_2P$ и $\triangle F_1F_2I$ определяются расстояния от планет Плутина и Луны до второго фокуса:

$$r_{p2} = \sqrt{4a^2e^2 + r_{p1}^2 - 2 \cdot 2ae \cdot r_{p1} \cos(v - 180^\circ)} = 0.753 \text{ а. с.}$$

$$r_{l2} = \sqrt{4a^2e^2 + r_{l1}^2 - 2 \cdot 2ae \cdot r_{l1} \cos(360^\circ - v)} = 1.030 \text{ а. с.}$$

Угол между направлениями на фокусы орбиты для Плутина и Луны определяется из теоремы синусов для тех же треугольников:

$$\alpha_p = \arcsin\left(\frac{2ae \sin(v - 180^\circ)}{r_{p2}}\right) = 89.6^\circ;$$

$$\alpha_l = \arcsin\left(\frac{2ae \sin(360^\circ - v)}{r_{l2}}\right) = 46.9^\circ.$$

Вектор скорости точки, движущейся по некоторой траектории, в каждый момент времени направлен по касательной к этой траектории. Поэтому из «бильярдного» (оптического) свойства эллипса получаем угол между радиусами-векторами планет и векторами их скоростей:

$$\beta_p = \frac{180^\circ + \alpha_p}{2} = \frac{180^\circ + 89.6^\circ}{2} = 134.8^\circ;$$

$$\beta_l = \frac{180^\circ - \alpha_l}{2} = \frac{180^\circ - 46.9^\circ}{2} = 66.6^\circ.$$

Интеграл энергии поможет найти модули скоростей планет после события X :

$$V_p = \frac{1}{217} \sqrt{GM_\oplus \left(\frac{2}{r_{p1}} - \frac{1}{a} \right)} = 0.68 \text{ км/с.}$$

$$V_l = \frac{1}{217} \sqrt{GM_\oplus \left(\frac{2}{r_{l1}} - \frac{1}{a} \right)} = 1.20 \text{ км/с.}$$

Теперь рассчитаем трансверсальную и радиальную компоненты относительной скорости планет:

$$V_t = V_p \sin \beta_p + V_l \sin \beta_l = 0.68 \sin 134.8^\circ + 1.20 \sin 66.6^\circ = 1.59 \text{ (км/с);}$$

$$V_r = V_p \cos \beta_p + V_l \cos \beta_l = 0.68 \cos 134.8^\circ + 1.20 \cos 66.6^\circ = 0.00 \text{ (км/с).}$$

Отсутствие радиальной компоненты не может не обнаруживаться: относительная скорость планет $V_{\text{отн}} \equiv V_r$.

Мысленно перенеся всю массу в одну из планет, «фиксируем» её и пускаем вторую обращаться вокруг неё с расчётной относительной скоростью $V_{\text{отн}}$. Используя интеграл энергии, определяем большую полуось a' новой системы:

$$a' = \left(\frac{2}{r_{\text{пл}} + r_{\text{вн}}} - \frac{V_{\text{отн}}^2}{G \cdot 2M_{\odot}} \right)^{-\frac{1}{2}} = 0,355 \text{ а.е.}$$

Период системы устанавливается при помощи обобщённого третьего закона Кеплера:

$$T = T_{\odot} \sqrt{\frac{a'^3}{a_{\oplus}^3} \frac{M_{\odot}}{2M_{\oplus}}} \approx 4,7 \text{ года.}$$

Упражнения.

- С какой относительной скоростью расстались бы планеты через достаточно большое время после исчезновения звезды, если бы их скорости в момент X не изменились?
- Определите вид зависимостей угла β между радиусом-вектором планеты и вектором её скорости от астроцентрического расстояния r и от истинной аномалии ν . Когда $\beta(\nu)$ минимальен?

3.9 Годограф

- С одной стороны, из закона всемирного тяготения

$$\ddot{a} = \frac{d\vec{v}}{dt} = -\frac{GM_{\odot} \dot{a}}{R^3} \vec{R};$$

$$(\Delta\vec{v}) \approx a \cdot \Delta t = \frac{GM_{\odot}}{R^2} \Delta t.$$

С другой стороны, удельный момент импульса

$$\vec{l}_1 = R^2 \omega = R^2 \frac{d\phi}{dt};$$

$$\Delta l \approx \frac{R^2}{\tau} \Delta\phi,$$

Можем заключить, что

$$\Delta\vec{v} \approx \frac{GM_{\odot}}{R^2} \Delta\phi.$$

2. Непосредственно измеряем оси эллипса:

$$2a = (37.0 \pm 0.5) \text{ мм};$$

$$2b = (26.0 \pm 0.5) \text{ мм}.$$

Отсюда сразу можно найти эксцентриситет

$$e = \sqrt{1 - \left(\frac{2b}{2a}\right)^2} = 0.71 \pm 0.02.$$

а также — отношение скоростей в перигалактии и афигалактии:

$$\frac{v_{\max}}{v_{\min}} = \frac{1+e}{1-e} \approx 6 \pm 0.5.$$

Чтобы вычислить расстояние от точки O до центра окружности, нужно из радиуса гипографа вычесть v_{\min} :

$$v_{\text{гра}} = \frac{v_{\max} + v_{\min}}{2} - v_{\min} = \frac{v_{\max} - v_{\min}}{2} \approx 3v_{\min}.$$

Теперь легко построить правильную картинку. Вектор скорости направлен по касательной к траектории, поэтому отметки точек на гипографе сделать нетрудно:



Рис. 3.8. Вид эллиптической орбиты и соответствующего гипографа скорости

3. Скорость при движении по гиперболе зависит между её асимптотами, поэтому гипограф не может быть целой окружностью.

Найдём угол θ_0 между асимптотой и воспринимаемой осью гиперболы, используя уравнение гиперболы в полярных координатах:

$$r(\theta) = \frac{P}{1 - e \cos \theta} \implies e \cos \theta_0 = 1;$$

$$\theta_0 = \arccos \frac{1}{e} = \arccos \frac{1}{2} = 60^\circ.$$

При номинации интеграла энергии установлено, что скорость «на бесконечности»

$$v_{\infty} = \sqrt{\frac{GM}{a}},$$

а перинцентрическая скорость

$$v_p = \sqrt{\frac{GM}{a}} \cdot \frac{e+1}{e-1},$$

где a — большая полуось гиперболы.
Отношение этих скоростей

$$\frac{v_p}{v_{\infty}} = \sqrt{\frac{e+1}{e-1}} = \sqrt{3} \approx 1.73.$$

Можно перейти к построению.

Упражнения.

- Каким будет голограф для круговой орбиты?
- Постройте голограф для тела, брошенного под углом к горизонту в однородном гравитационном поле.
- Докажите, что голограф звездной задачи имеет описанный в задаче вид.

3.10 Приказ 66

- По определению секторной скорости имеем

$$\sigma = \frac{dS}{dt} = \frac{r \, dr \sin(\widehat{\vec{r}, d\vec{r}})}{2 \, dt} = \frac{|\vec{r} \times d\vec{r}|}{2 \, dt} = \frac{\vec{l}}{2},$$

где \vec{l} — удельный момент импульса тела.

- Удельная механическая энергия E — известный интеграл кеплерова движения:

$$E = -\frac{\mu}{2a}.$$

Остается выразить большую полуось орбиты тела a через удельный момент импульса, величину μ и эксцентриситет e . Для этого используем равенство нуля радиальной компоненты скорости в перинцентре орбиты:

$$l = a(1-e) \cdot \sqrt{\frac{\mu(1+e)}{a(1-e)}} = \sqrt{\mu a(1-e^2)};$$

$$a = \frac{l^2}{\mu(1-e^2)}.$$



Рис. 3.9. Голограф скорости для гиперболической орбиты

Отсюда окончательно получаем

$$E = \frac{\mu^2 (1 - e^2)}{2R},$$

3. Корабль мастера встречается с планетой в момент, когда её астроцентрическое расстояние составляет a . Заметим, что в силу симметрии и поскольку сумма расстояний от точек эллипса до фокусов равна $2a$, можно заключить, что в этот момент планета находится на малой оси своей орбиты. Воспользуемся вторым законом Кеплера (рис. 3.10):



Рис. 3.10. К применению второго закона Кеплера

$$\begin{aligned} \frac{t}{T} &= \frac{\frac{1}{2}\pi ab + \frac{1}{2}cb}{\pi ab} = \frac{\frac{1}{4}\pi a^2 \sqrt{1-e^2} + \frac{1}{2}ea \cdot a \sqrt{1-e^2}}{\pi a^2 \sqrt{1-e^2}} = \frac{1}{4} + \frac{e}{2\pi}, \\ t &= T \left(\frac{1}{4} + \frac{e}{2\pi} \right) = 60 \text{ лет} \times \left(\frac{1}{4} + \frac{0.44}{2\pi} \right) = 19.2 \text{ стандартных года}. \end{aligned}$$

Очень долго, разве что стандартный год короче земного.

Упражнения.

1. Мог ли Мастер добраться до места встречи с Марсом по гиперболической траектории (без применения Силы)?
2. Определите, за какое минимальное время Кота мог бы добраться до указанной точки по параболической траектории.

3.11 Mars Orbiter Mission

Пересчитаем высоты в расстояния до центра Земли:

$$r_p = R_\oplus + h_p = 6.64 \cdot 10^3 \text{ км}$$

$$r_a = R_\oplus + h_a = 30.28 \cdot 10^3 \text{ км}.$$

Вычислим круговую скорость на расстоянии r_p , изменение скорости при манёвре и эксцентриситет начальной орбиты:

$$V = \sqrt{\frac{GM_\oplus}{r_p}} = 7.8 \cdot 10^3 \text{ м/с}$$

$$\Delta v = \frac{J}{m} = 1.3 \cdot 10^2 \text{ м/с}$$

$$e = \frac{r_a - r_p}{r_a + r_p} = 0.64.$$

Перицентрические скорости до и после манёвра связаны с V и эксцентриситетом орбиты соотношениями

$$v_p = V\sqrt{1 - e};$$

$$v'_p = V\sqrt{1 + e'};$$

$$v'_p = v_p - \Delta v.$$

Здесь вытрихованные величины относятся к состоянию после «толчка». Приходим к соотношению

$$V\sqrt{1 - e'} = V\sqrt{1 - e} + \Delta v;$$

$$e' = e + 2 \frac{\Delta v}{V} \sqrt{1 + e} + \frac{\Delta v^2}{V^2} = 0.68.$$

Большая полуось, период обращения и высота апогея на новой орбите тогда равны

$$a' = \frac{r_p}{1 - e'} = 2.1 \cdot 10^5 \text{ км};$$

$$T' = 2\pi \sqrt{\frac{a'^3}{GM_\oplus}} = 3.0 \cdot 10^4 \text{ с} = 8.4 \text{ ч};$$

$$h'_a = r'_a - R_\oplus = a'(1 + e') - R_\oplus = 2.9 \cdot 10^4 \text{ км}.$$

3.12 Масса Местной группы

1 – 3. Полная механическая энергия системы есть

$$E = \frac{\mathfrak{M}_1 v_1^2}{2} + \frac{\mathfrak{M}_2 v_2^2}{2} - \frac{G\mathfrak{M}_1\mathfrak{M}_2}{r_1 + r_2}.$$

Для центра масс $\mathfrak{M}_1 r_1 = \mathfrak{M}_2 r_2$. Поскольку $r_1 + r_2 \equiv r$,

$$\begin{cases} r_1 = \frac{\mathfrak{M}_2}{\mathfrak{M}_1 + \mathfrak{M}_2} r \\ r_2 = \frac{\mathfrak{M}_1}{\mathfrak{M}_1 + \mathfrak{M}_2} r \end{cases} \implies \begin{cases} v_1^2 = \left(\frac{\mathfrak{M}_2}{\mathfrak{M}_1 + \mathfrak{M}_2} \right)^2 v^2 \\ v_2^2 = \left(\frac{\mathfrak{M}_1}{\mathfrak{M}_1 + \mathfrak{M}_2} \right)^2 v^2 \end{cases}$$

Подстановка даёт

$$E = \frac{v^2}{2} \cdot \frac{\mathfrak{M}_1 \mathfrak{M}_2^2 + \mathfrak{M}_2 \mathfrak{M}_1^2}{(\mathfrak{M}_1 + \mathfrak{M}_2)^2} - \frac{G\mathfrak{M}_1\mathfrak{M}_2}{r} = \frac{\mu}{2} \left(v^2 - \frac{2G\mathfrak{M}}{r} \right),$$

$$\therefore v^2 = \frac{2E}{\mu} + \frac{2G\mathfrak{M}}{r} = 2G\mathfrak{M} \left(\frac{1}{r} - \frac{1}{r_0} \right), \quad \text{где } r_0 = \frac{G\mathfrak{M}\mu}{E}.$$

4–6. Продифференцируем $r(\theta)$ по t , а $t(\theta) = \pi/\theta$:

$$v = \frac{r_0}{2} \sin \theta \cdot \frac{d\theta}{dt};$$

$$\frac{dt}{d\theta} = \left(\frac{r_0^3}{8G\Omega^2} \right)^{\frac{1}{2}} (1 - \cos \theta) = \left(\frac{d\theta}{dt} \right)^{-1}.$$

Этот «трюк» позволяет прийти к выражению^{***}:

$$\frac{vt}{r} = \frac{\frac{r_0}{2} \sin \theta \times \left(\frac{r_0^3}{8G\Omega^2} \right)^{\frac{1}{2}} (\theta - \sin \theta)}{\frac{r_0}{2} (1 - \cos \theta)} \cdot \frac{d\theta}{dt} = \frac{(\theta - \sin \theta) \sin \theta}{(1 - \cos \theta)^2}.$$

Подстановка современных значений r_0 , t_0 и r_n даёт значение

$$\left. \frac{vt}{r} \right|_{t=t_n} = -2.33 = \frac{(\theta_n - \sin \theta_n) \sin \theta_n}{(1 - \cos \theta_n)^2}.$$

Из того, что правая часть отрицательна, следует, что $\theta_n > \pi$. Получившееся уравнение относительно θ_n решается методом итераций:

$$\theta_0 = 4.28 \text{ рад.}$$

Вновь обратимся к связи $r(\theta)$:

$$r = \frac{r_0}{2} (1 - \cos \theta).$$

Видно, что $r_{\max} = r_0$. По известным r_n и θ_n не представляет труда вычислить

$$r_0 = \frac{2r_n}{1 - \cos \theta_n} \approx 1 \text{ Мпк.}$$

Из выражения второй связи находим общую массу галактик:

$$t = \left(\frac{r_0^3}{8G\Omega^2} \right)^{\frac{1}{2}} (\theta - \sin \theta) \quad \Rightarrow \quad \Omega = 3.95 \cdot 10^{12} \text{ Мпк}.$$

Из оценки количества звёзд следует итог: результат $\Omega_V \approx 6 \cdot 10^{11} \text{ Мпк}$, откуда можно сделать вывод, что тёмная материя составляет большую часть массы Местной группы.

^{***} То же самое можно получить, выразив t из первого уравнения, а затем в выражении подстановку, но это довольно мучительная процедура.

Для любознательных. Приведём искомое решение уравнений движения галактик (3.1) из условия. Запишем выражение для скорости $v(r)$ и разделим переменные:

$$v = \frac{dr}{dt} = \sqrt{2GM} \left(\frac{r_0 - r}{r_0 r} \right)^{\frac{1}{2}} \text{ при } r < r_0;$$

$$\int \sqrt{2GM} dt = \int \left(\frac{r_0 r}{r_0 - r} \right)^{\frac{1}{2}} dr.$$

Правую часть интегрируем после введения замены $\sin^2 \varphi \equiv \frac{r_0}{r}$:

$$t = \left(\frac{r_0^3}{8GM} \right)^{\frac{1}{2}} (2\varphi - \sin 2\varphi) + D.$$

Мы выбрали начальное условие, при котором массы расположаются близко друг к другу в начальный момент, поэтому $\varphi = 0$ при $t = 0$ и, соответственно, $D = 0$:

$$t(\theta) = \left(\frac{r_0^3}{8GM} \right)^{\frac{1}{2}} (\theta - \sin \theta), \quad \text{где } \theta \equiv 2\varphi.$$

Наконец,

$$r = r_0 \sin^2 \varphi = \frac{r_0}{2}(1 - \cos \theta).$$

□

3.13 Экзопуны

1. Расстояние от центра масс до луны можно выразить через a_{pb} — расстояние от планеты до центра масс:

$$a_m = \frac{\mathfrak{M}_p}{\mathfrak{M}_m} a_{pb}.$$

Для наблюдателя с Земли оно проецируется на картинную плоскость:

$$a_{pr} = a_{pb} \sin f_m.$$

Чтобы транзит произошёл, центр масс должен «довернуться» по орбите на величину этой проекции (так как скорость луны мала в сравнении с орбитальной скоростью планеты, можно учитывать лишь движение вокруг звезды):

$$\sigma_I = \frac{a_{pr}}{a_p} / \frac{2\pi}{P_p} = \frac{a_p \cdot a_{pr}}{2\pi a_p} = \frac{a_m \mathfrak{M}_m P_p}{2\pi a_p \mathfrak{M}_p} \sin f_m.$$

2. Скорости обращения центра масс вокруг звезды и планеты вокруг центра масс равны соответственно

$$v_p = \frac{2\pi}{P_p} a_p;$$

$$v_{pb} = \frac{2\pi}{P_m} a_{pb}.$$

Первая из них и так лежит в картииной плоскости, а проекция второй на картииную плоскости равна

$$v_{pr} = -v_{pb} \cos f_m = -\frac{2\pi}{P_m} a_{pb} \cos f_m.$$

Длительность транзита без учёта луны составляется

$$\tau = \frac{D}{v_p},$$

где D — расстояние, которое планета должна пройти, чтобы завершить прохождение. С луной длительность получится другой:

$$\tau_m = \frac{D}{v_p + v_{pr}}.$$

$$\therefore \sigma_d \equiv \tau_m - \tau = -\tau \frac{v_{pr}}{v_p + v_{pr}} \approx -\tau \frac{v_{pr}}{v_p} = \tau \frac{P_p M_m a_m}{P_m M_p a_p} \cos f_m.$$

3. Используя третий закон Кеплера, можем вычислить расстояние от центра масс до звезды:

$$\frac{P_p^2}{a_p^3} = \frac{4\pi^2}{G(M_\odot + M_p)};$$

$$a_p = 6.75 \cdot 10^9 \text{ м.}$$

$$a_p = \alpha \cdot 10^{10} \text{ м.}$$

Рис. 3.11. Геометрия транзита

Теперь легко узнать, какой бы был транзит, если бы луны не было — см. чертёж 3.11:

$$\tau = P \frac{\alpha}{2\pi} = \frac{P}{2\pi} \arcsin \sqrt{1 - \frac{a_p}{r}} = 1.128 \text{ сут.}$$

4-5. Из основного тригонометрического тождества следует

$$\left(\frac{P_m \mathfrak{M}_p a_p}{P_{\rho} \mathfrak{M}_m a_m \tau} \right)^2 \sigma_d^2 + \left(\frac{2 \pi a_p \mathfrak{M}_p}{a_m \mathfrak{M}_m P_p} \right)^2 \sigma_t^2 = 1;$$

$$\sigma_d^2 = \left(\frac{P_p \mathfrak{M}_m a_m \tau}{P_m \mathfrak{M}_p a_p} \right)^2 - \left(\frac{2 \pi \tau}{P_m} \right)^2 \sigma_t^2.$$

Поэтому связь σ_t и σ_d , приведённая в условии, позволяет установить

$$-\left(\frac{2 \pi \tau}{P_m} \right)^2 = -0.7432 \quad \Rightarrow \quad P_m = 0.933 \text{ сут.}$$

По третьему закону Кеплера (в пренебрежении массой луны)

$$a_m = \sqrt{\frac{G \mathfrak{M}_p P_m^2}{4 \pi^2}} = 31.2 R_{\odot}.$$

Пришло время использовать второй коэффициент связи σ_t к σ_d :

$$\left(\frac{P_p \mathfrak{M}_m a_m \tau}{P_m \mathfrak{M}_p a_p} \right)^2 = 1.933 \cdot 10^{-3} \text{ сут}^2 \quad \Rightarrow \quad \mathfrak{M}_m = 1.18 \mathfrak{M}_{\odot}.$$

3.14 Moon nail?

1. В первом приближении радиус сферы Хилла можно считать равным расстоянию от Земли до точки Лагранжа L_1 системы Солнце – Земля. Зафиксируем начало координат в её центре масс. Пусть Земля и Солнце вращаются вокруг него по круговым орбитам с угловой скоростью ω , их радиусы-векторы соответственно \vec{r}_z и \vec{r}_{\odot} , а x – искомое расстояние. Из третьего закона Кеплера

$$\omega = \frac{2 \pi}{T} = \sqrt{\frac{G(\mathfrak{M}_z + \mathfrak{M}_{\odot})}{R^3}},$$

где R – расстояние между Землёй и Солнцем.

Пусть в точке L_1 , на радиусе-векторе \vec{r} , находится тело массы m . Перечислим силы, действующие на него в системе отсчёта Солнца. Во-первых, Земля придаёт Солнцу ускорение

$$\vec{a}_z = \frac{G \mathfrak{M}_z}{R^3} (\vec{r}_z - \vec{r}_{\odot}).$$

Поэтому на тело в точке L_1 действует сила инерции

$$\vec{F}_i = -m\ddot{\vec{r}}_0 = -\frac{GmM_\oplus}{R^3}(\vec{r}_0 - \vec{r}_\oplus).$$

Во-вторых, Земля и Солнце притягивают тело, что приводит к появлению ещё двух сил:

$$\vec{F}_\oplus = \frac{GM_\oplus m}{|\vec{r}_\oplus - \vec{r}|^3}(\vec{r}_\oplus - \vec{r}),$$

$$\vec{F}_\odot = \frac{GM_\odot m}{|\vec{r}_\odot - \vec{r}|^3}(\vec{r}_\odot - \vec{r}).$$

Точка Лагранжа вращается вокруг центра масс системы с той же угловой скоростью ω , поэтому сумма всех сил равняется центростремительной:

$$\frac{GM_\oplus m}{|\vec{r}_\oplus - \vec{r}|^3}(\vec{r}_\oplus - \vec{r}) + \frac{GM_\odot m}{|\vec{r}_\odot - \vec{r}|^3}(\vec{r}_\odot - \vec{r}) - \frac{GmM_\oplus}{R^3}(\vec{r}_\oplus - \vec{r}_\odot) = m\omega^2\vec{r}.$$

Силы, действующие на пробную массу, коллинеарны — это условие нетрудно переписать в проекциях:

$$-\frac{M_\oplus}{x^2} + \frac{3M_\odot}{(R-x)^2} + \frac{M_\odot}{R^2} = \frac{M_\odot + M_\oplus}{R^3}r.$$

Чтобы найти величину вектора \vec{r} , нужно вычесть x из расстояния от Земли до центра масс:

$$r = \frac{M_\odot}{M_\odot + M_\oplus}R - x.$$

$$-\frac{M_\oplus}{x^2} + \frac{M_\odot}{(R-x)^2} + \frac{M_\odot}{R^2} = \frac{M_\odot}{R^2} - \frac{x(M_\odot + M_\oplus)}{R^3}.$$

Если умножить это равенство на $\frac{R^2}{M_\odot}$, выражение станет элегантнее:

$$-\mu + \xi^2(1-\xi)^{-2} - \mu\xi^2 = \xi^2 - \xi^3 - \xi^3\mu \quad \left| \begin{array}{l} \xi \equiv \frac{x}{R} \ll 1; \\ \mu \equiv \frac{M_\oplus}{M_\odot} \ll 1. \end{array} \right.$$

Используя формулу $(1+x)^\beta \approx 1 + \beta x$, получим

$$\mu \approx 3\xi^3 + \mu(\xi^2 + \xi^3) \implies \mu = \frac{3\xi^3}{1 - \xi^2 - \xi^3} \approx 3\xi^3.$$

В результате

$$\xi = \sqrt[3]{\frac{\mu}{3}} \implies \alpha = \frac{1}{3}.$$

Замечание. Часто эту задачу решают, считая, что Солнце просто стоит на месте, а Земли на него никакого влияния не оказывает. Это приводит к исчезновению числов $\mu\zeta^2$ и $-\zeta^3\rho$ и не влияет на ответ. Однако, например, для L_3 такое же пренебрежение приводит к ошибке (см. задачу 3.2).

2. Теперь найдём выражение для предела Рома. Будем считать, что Луна абсолютно жёсткая и не деформируется под воздействием приливных сил (это приведёт к некоторому занижению отпета). Если приливное ускорение на её поверхности сравняется с ускорением, которое она создаёт своей гравитацией, её начнёт разрывать:

$$\frac{2GM_{\oplus}R_{\oplus}}{R_{\oplus}^3} = \frac{G\cdot U_{\oplus}}{R_{\oplus}^2} \implies \frac{2\rho_{\oplus}R_{\oplus}^3}{R_{\oplus}^3} = \rho_{\oplus},$$

где R_{\oplus} и R_{\odot} — радиусы Земли и Луны соответственно. Отсюда естественным образом вытекает

$$R_{\oplus} = R_{\odot}\sqrt{\frac{2\rho_{\oplus}}{\rho_{\odot}}} \implies \beta = 2.$$

3. Для того, чтобы Луна могла существовать как спутник Земли, нужно, чтобы её орбита лежала внутри сферы Хилла Земли, но не ближе предела Рома:

$$R_{\oplus} \leq a_{\odot} \leq R_h.$$

Подставим выражения для R_h и R_{\oplus} :

$$R_{\oplus}\sqrt{\frac{2\rho_{\oplus}}{\rho_{\odot}}} \leq a_{\odot} \leq a_{\oplus}\sqrt{\frac{M_{\oplus}}{3M_{\odot}}}.$$

Разделим неравенство на радиус Земли и возведём в куб, а затем «перевернём» дроби:

$$\frac{9M_{\odot}}{4\pi\rho_{\oplus}a_{\oplus}^3} \leq \frac{R_{\oplus}^3}{a_{\odot}^3} \leq \frac{\rho_{\odot}}{2\rho_{\oplus}}, \implies \frac{9M_{\odot}a_{\odot}^3}{4\pi R_{\oplus}^3a_{\oplus}^3} \leq \rho_{\oplus} \leq \frac{\rho_{\odot}a_{\odot}^3}{2R_{\oplus}^3}.$$

$$9 \cdot 10^1 \text{ кг/м}^3 \leq \rho_{\oplus} \leq 2 \cdot 10^{10} \text{ кг/м}^3.$$

Как видим, простор для воображения весьма широк.

Есть свойства -- существа без воплощены,
Свойнюю жизнью: иллюзий их лик --
В той сущности двоякой, чей родник --
Свет в веществе, предмет и отражение.

Э. Но. пер. К. Балюмонта

4.1 Операция «Ag⁻»

По главной оптической оси тонкой плосковыпуклой линзы с постоянной скоростью V ползёт муха. В некоторый момент времени скорость её изображения составила aV . Линзу быстро заменяют на такую же с посеребрённой выпуклой поверхностью, и скорость изображения становится равной bV . Какие значения может принимать отношение b/a , если $a = 4$? Показатель преломления стекла $n = 1.4$.

4.2 В погоне за звёздами

Астроном поднялся на стратостате до высоты $h = 30$ км над поверхностью Земли. Пренебрегая атмосферным поглощением, определите количество звёзд, которое он сможет наблюдать, используя подзорную трубу с апертурой $D = 100$ мм и увеличением $\Gamma = 10$.

4.3 Транзит через луч GMRT

Giant Metrewave Radio Telescope расположен в точке с географическими координатами $\varphi = 19^\circ 06'$ с.ш.; $\lambda = 74^\circ 03'$ п.д. Телескоп состоит из 30 тарелок, каждая из которых имеет диаметр $D = 45.0$ м. Одна из них направлена в точку с зенитным расстоянием $z = 39^\circ 42'$ на северной части небесного меридиана. Тарелка фиксирует прохождение точечного источника радиоизлучения при пересечении источником меридиана. Каково время транзита источника через луч диаграммы направленности данной тарелки при частоте излучения $f = 200$ МГц?

Подсказка. Каково угловое разрешение тарелки?

4.4 Микровспышка звезды

При фотографических наблюдениях рассеянного света на фоне с пологовым углекислом ТАЛ-1 (рефрактор «Максим») с фокусным расстоянием фокусного преломления диаметр объективца $N = 75 \text{ см}$, в близи звезды можно принять его ширину вручную. К сожалению, в то время Рика Нестаджу от скопления не находилось ярких звёзд, кроме звезды Гесперия. Спектральная величина звезды $m_\star = 6,99^{\circ}\circ$.

Используя известства своего преподавателя, астронома, рисунку спроектирован звезду масштабом это было возможно в таких наблюдениях, в ходе которых получила $N = 16$ фотографий с выдержкой каждого по $T = 2 \text{ мин}$. Квантовая эффективность используемой камеры $\eta = 42\%$.

Количество отсчётов в каждом пикселе края звезды приближено после компьютерной обработки прямо пропорционально изображаемому короткоточечному фотографии: ошибке гауссовой обратно пропорциональной разнице изображения звезды и для её устранения звезды ставят ≈ 1 .

Справедливо представить съёмочную величину звезды на изображении, получившем после компьютерной обработки, используя следующие оценки телескопа ТАЛ-1, приведённые в таблице.

Параметр	Значение
диаметр звезды	$d = 1,1 \text{ мкм}$
высота звезды	$H = 1,1 \text{ мкм}$
ширина звезды	$W = 0,1 \text{ мкм}$
ширина звезды	$w = 0,1 \text{ мкм}$

4.5 Оптика телескопа

Телескоп-рефрактор системы Кеплера имеет относительное отверстие $f/5$ при фокусном расстоянии объектива $F = 1100 \text{ см}$.

1. Вычислите увеличение телескопа для окуляра с $f_2 = 1 \text{ см}$. Чему равна «линия трубы» телескопа — оптическое расстояние между объективом и окуляром?
2. На каком расстоянии от главного фокуса объектива нужно расположить линзу биноклю с $f_b = 1 \text{ см}$, чтобы получить зумированием увеличением в том же биноклю при этом увеличении звезды, имеющей
3. Пусть в фокальной плоскости объектива имеется ИКА-изображение с размером изображения 10 мкм . Определите расстояние между изображениями двух звезд на получившем спиральном изображении, если на небе они разделены угловым расстоянием $2^{\circ} 0'$.

4.6 Ёжик в тумане

Для некоторой звезды, похожей на Вегу, величина межзвездного поглощения в видимой области спектра составляет 2.4^m . Каков наблюдаемый показатель цвета $B - V$ этой звезды?

4.7 Горизонт событий

Оцените величину базы радиоинтерферометра, способного разрешить сверхмассивную чёрную дыру Sgr A* в центре Млечного Пути в диапазоне $230 \div 450$ ГГц. На иллюстрации приведён трек известной близкой к центральному объекту звезды S2.

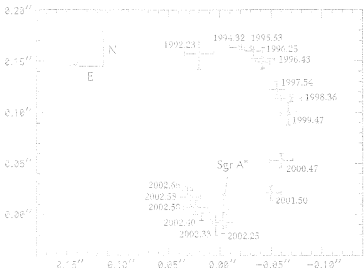


Рис. 4.1. К задаче Горизонт событий

4.8 Go to

Gravitational-wave Optical Transient Observer предназначен для поиска оптических остатков источников гравитационных волн различной природы в течение одного часа после их обнаружения системами LIGO и VIRGO. В обзоре необходимо покрыть большую площадь неба за короткое время, чтобы охватить всю указанную гравитационными детекторами область, пока источник не погас. Система GOTO состоит из 4 одинаковых рефлекторов с апертурой 40 см и относительным отверстием 1 : 2.5 одновременно фотографирующих крупный участок неба. Для простоты положим, что поля телескопов не перекрываются.

1. Выполните поиск под изображений звезды с известной яркостью в различных фильтрах и достоинствах в ульевых условиях неба.

Причём, что ожидается отображение звезды с известной яркостью $RON = 10$ отсчётов на изображении звезды в фильтре с известной яркостью I отсчёт в минуту называется τ_{RON} . Для звезды с яркостью $RON = 10$ отсчётов в минуту и известной яркостью I между количеством фотоплёнок и отсчётов будет $\tau_{RON} = 10 \cdot 10^{-6}$ отсчётов, т.е. для атмосферных изображений звезд в местных условиях обсерватории звезды $\tau_{RON} = 10^6$.

Соотношение сигнал-шум при продолжительности экспозиции t определяется как

$$SNR \equiv \frac{\text{Несущее число отсчётов}}{\sqrt{\sum_i N_{\text{шум}}^2}} = \frac{\text{Несущее число отсчётов}}{\sqrt{\sigma_{\text{шум}}^2 + \sigma_{\text{фон}}^2}},$$

$$\sigma_{\text{фон}} = \sqrt{N_{\text{фон}} \cdot RON^2}, \quad \sigma_{\text{шум}} = \sqrt{N_{\text{шум}} \cdot RON^2},$$

где $N_{\text{шум}}$ - количество «задействованных» пикселей.

Число-минимум для частоты отсчётов детектора звезды, при котором шумы данной системы составляют $m = 18.5$,

- Рассчитайте минимальное время экспозиции для звезды с известной яркостью звездной величины $m_{\text{шум}} = 21.5$, если неизвестное количество сбоя отсчётов сигнала равно $SNR = 5$.
- Определите соотношение между SNR и количеством отсчётов достаточно велико, то оцените погрешность измерения пусковой яркости.

$$\sigma_{\text{шум}} = \sqrt{\text{Количество отсчётов}}.$$

Пересчитайте минимальное время экспозиции для звезды с известной яркостью $m_{\text{шум}}$ при $SNR = 5$ с учётом пускового шума.

- Характерная неопределённость определение положения гравитационных волн составляет около 10^{-18} ср. Необходимо проверить данную точность в течение часа с пропишением τ_{RON} . Оцените минимальную длину стороны матрицы в изображении, которая позволит определить эту метку. Пренебречите потерями от сбоя отсчётов и погрешностями оптической системы, считыванием с ПК и т.д.

На первом этапе, для каждого изображения, будем считать, что изображение звезды в изображении звезды в изображении звезды при предполагаемой ширине ядра.

4.9 Гравитационно-линзовый телескоп

Общая теория относительности Эйнштейна предсказывает отклонение света вблизи массивных тел.

При малых углах отклонения можно пользоваться выражением

$$\theta = \frac{2R_S}{r},$$

Рис. 4.2. К задаче Гравитационно-линзовый телескоп

где R_S — радиус Шварzsильда гравитирующего тела. Зададим присутственный параметр r как расстояние между лучом света и прямой, расположенной параллельно оси x и проходящей через центр тела. Лучи, приходящие «с бесконечности» с одним и тем же присутственным параметром r , сходятся в точку на оси x на расстоянии $f(r)$ от центра массивного тела. Наблюдатель заметит увеличение яркости благодаря такому фокусированию — массивное тело становится гравитационным телескопом, усиливающим сигнал далёких галактик.

1. Пусть Солнце является таким гравитационным телескопом. Найдите наименьшее расстояние от центра Солнца f_{\min} , на котором лучи могут сфокусироваться.
2. Предположим, что маленький круглый детектор размером a установлен на расстоянии f_{\min} центрирован на оси x и ориентирован перпендикулярно ей. Попасть в детектор могут только лучи, проходящие до некоторой высоты $h \ll R_S$ над поверхностью Солнца. Выразите усиление сигнала A через R_S и a .
3. Пусть луч света проходит через скопление галактик с неким сферически-симметричным распределением массы $\mathcal{M}(r)$. Найдите вид зависимости $\mathcal{M}(r)$, при котором такая гравитационная линза ведёт себя аналогично «классической» тонкой собирающей линзе.

4.10 Коронадо

Одна из разновидностей спектральных фильтров основана на эталоне Фабри — Перо. Такой фильтр представляет собой два расположенных параллельно обрашённых друг к другу зеркала, между которыми формируется резонансная стоячая оптическая волна (см. рис. 4.3).

Если оба зеркала имеют коэффициент отражения R , функция пропускания фильтром света с длиной волны λ имеет вид

$$T(\beta) = \frac{1}{1 + F \sin^2 \beta}, \quad \text{где } F \equiv \frac{4R}{(1-R)^2}, \quad \beta(\lambda) \equiv \frac{2\pi nl \cos \theta}{\lambda}.$$

Рассмотрим фильтр нормального падения, целевой максимум пропускания которого приходится на линию H_{α} ($\lambda_0 = 6562.8 \text{ \AA}$). Пространство между зеркалами заполнено газообразным гелием (показатель преломления $n = 1.0000$), длина эталона $l = 120.1 \text{ мкм}$, коэффициент $(1 - R) = 0.018$.

1. Рассчитайте FSR фильтра — расстояние $\Delta\lambda$ между двумя соседними максимумами пропускания в окрестности λ_0 .
2. Рассчитайте FWHM фильтра — ширину $\delta\lambda$ спектрального диапазона, включающего λ_0 , пропускание на котором составляет не менее половины от максимального.
3. Оцените добротность фильтра $Q \equiv \Delta\lambda/\delta\lambda$.
4. Найдите ширину диапазона скоростей δv , соответствующих целевой полосе пропускания этого фильтра (например, при наблюдении солнечных протуберанцев).



Рис. 4.3. К задаче Коронадо

Решения

4.1 Операция «*Ag*»

Запишем формулу тонкой линзы, связывающую расстояния x и y от соответствующих фокусов до изображения и до объекта:

$$\frac{1}{F} = \frac{1}{F+x} + \frac{1}{F-y} \implies xy = D^{-2}, \quad (4.1)$$

где F — фокусное расстояние линзы, $D \equiv 1/F$ — её оптическая сила. Протифференцируем уравнение (4.1):

$$\dot{x}y + \dot{y}x = 0,$$

откуда отношение скоростей изображения и объекта

$$k = \left| \frac{\dot{x}}{\dot{y}} \right| = \left| \frac{x}{y} \right| = D^2 x^2.$$

Изначальная оптическая сила линзы

$$D_0 = \frac{1}{F} = \frac{n-1}{R},$$

и нетрудно выразить расстояние \tilde{x} от изображения до линзы, соответствующее скорости изображения aV :

$$a \equiv k|_{x=\tilde{x}} = D_0^2 \left(\tilde{x} - \frac{1}{D_0} \right)^2 = (D_0 \tilde{x} - 1)^2; \quad (4.2)$$

$$\tilde{x} = \frac{\sqrt{a} + 1}{D_0}.$$

Серебрение выпуклой поверхности линзы приводит к изменению её оптической силы. Возможны два варианта расположения линзы относительно объекта: либо линза будет действовать как выпуклое сферическое зеркало с радиусом кривизны R :

$$D_1 = -\frac{2}{R} = -\frac{2D_0}{n-1},$$

либо будет рассматриваться как система из линзы со сферическим вогнутым зеркалом позади, расположенным вплотную к ней:

$$D_2 = 2D_0 - D_1 = \frac{2nD_0}{n-1}.$$

Теперь можно по аналогии с (4.2) выразить коэффициент b :

$$b = D^2 \left(\tilde{x} - \frac{1}{D} \right)^2 = D^2 \left(\frac{\sqrt{a} + 1}{D_0} - \frac{1}{D} \right)^2 = \left(\left| \frac{D}{D_0} \right| (\sqrt{a} + 1) - \operatorname{sign} D \right)^2.$$

Окончательно, подстановка выражений для D_1 и D_2 даёт

$$\frac{b}{a} = \begin{cases} \frac{1}{a} \left(\frac{2(\sqrt{a} + 1)}{n - 1} + 1 \right)^2 = \frac{1}{4} \left(\frac{2 \times (\sqrt{4} + 1)}{1.4 - 1} + 1 \right)^2 = 64; \\ \frac{1}{a} \left(\frac{2n(\sqrt{a} + 1)}{n - 1} - 1 \right)^2 = \frac{1}{4} \left(\frac{2 \times 1.4 \times (\sqrt{4} + 1)}{1.4 - 1} - 1 \right)^2 = 100. \end{cases}$$

4.2 В погоне за звёздами

Оценим по формуле Норсона проникающую способность подзорной трубы, сравнивая её с глазом (диаметр зрачка $d_r = 6$ мм, проникающая способность $m_e = 6^{m}$):

$$m' = m_e + 5 \lg \frac{D}{d_r} = 6^m + 5 \lg \frac{100}{6} = 12.1^m.$$

Отметим, что выходной зрачок трубы

$$d = \frac{D}{\Gamma} = \frac{100}{10} = 10 \text{ мм} > d_r,$$

поэтому на ней необходиимо учитывать частичную потерю света:

$$m = m' - 5 \lg \frac{d}{d_r} = 12.1^m - 5 \lg \frac{10}{6} = 11.0^m.$$

Звезду, видимую на пределе изооружённым глазом, нужно удалить в

$$\sqrt{10^{6.0^m - m_e}} = 10^{6.0 \times 11.0} = 10 \text{ раз.}$$

чтобы она оказалась на грани видимости уже для трубы. Считая звёзды равномерно распределёнными в пространстве, заключаем, что подзорной трубе в принципе доступны для наблюдения в 10^3 раз большие звёзд, чем изооружённому глазу, то есть порядка $6000 \times 10^3 = 6 \cdot 10^6$ штук.

Необходимо определить ломо небесной сферы, незакрытую Землёй. Геометрическое понижение горизонта составляет

$$\Delta h = \arccos \frac{R_\oplus}{R_\oplus + h} = \arccos \frac{6371}{6371 + 30} = 5.55^\circ.$$

Также свой вклад вносит рефракция, величину которой для оценки возьмём равной величине удвоенной стандартной рефракции у горизонта:

$$r \approx 2r_0 = 2 \cdot 35' = 1.17^\circ.$$

Общее понижение составляет $5.55^\circ + 1.17^\circ \approx 6.7^\circ$. Телесный угол, соответствующий незакрытой части небесной сферы,

$$\Omega = 4\pi \sin^2 \frac{90^\circ + \Delta h + r}{2} = 4\pi \sin^2 \frac{90^\circ + 6.7^\circ}{2} = 2.23\pi \text{ ср.}$$

Следовательно, астроном сможет наблюдать

$$6 \cdot 10^6 \times \frac{\Omega}{4\pi} \approx 3.3 \cdot 10^6 \text{ звёзд.}$$

Упражнение.

Грубо оцените, как учёт атмосферного поглощения влияет на ответ.

4.3 Транзит через луч GMRT

Разрешающую способность тарелки на данной частоте излучения рассчитаем по формуле

$$\beta = \frac{\lambda}{D} = \frac{c}{fD} = \frac{2.998 \cdot 10^7}{200 \cdot 10^6 \times 45.0} \approx 0.033 \text{ рад} \approx 1.9^\circ.$$

Нетрудно понять, что разрешающая способность равна угловому радиусу луча диаграммы направленности, поскольку в таком случае пик сигнала одного источника приходится на «края» сигнала другого (критерий Рэлея). Угловая ширина луча равна $2\beta = 1.9^\circ \times 2 = 3.8^\circ$.

Кульминация наблюдаемого объекта происходит к северу от зенита, при этом $z < 90^\circ - \varphi$ — объект выше северного полюса мира, а потому находится в верхней кульминации. Определим его склонение:

$$90^\circ - z = \varphi + 90^\circ - \delta;$$

$$\delta = \varphi + z = 19^\circ 06' + 39^\circ 42' = +58^\circ 48'.$$

Угловая скорость суточного движения источника есть

$$\omega = \frac{360^\circ}{T_s} \cdot \cos \delta = \frac{360^\circ \times \cos 58^\circ 48'}{23^h 56^m 04^s} = 7.79^\circ/a \approx 0.130^\circ/\text{мин.}$$

Окончательно, искомое время транзита через луч составляет

$$\frac{2\beta}{\omega} = \frac{3.8^\circ}{0.130^\circ/\text{мин.}} \approx 0.5 \text{ ч.}$$

4.4 Ускользающая звезда

Эффективная площадь входного отверстия телескопа определяется как разность площади главного зеркала и площади, затеняемой вторичным зеркалом:

$$S = \frac{\pi}{4} (D^2 - d^2) = \frac{\pi}{4} (110^2 - 20^2) \text{ мм}^2 = 9.2 \cdot 10^3 \text{ мм}^2.$$

Телескоп собирает в ξ раз больше света, чем невооруженный глаз, причем ξ равно отношению площадей входного отверстия и зрачка невооруженного глаза, диаметр которого примем равным $D_g = 6 \text{ мм}$:

$$\xi = \frac{S}{\pi D_g^2 / 4} = \frac{4 \times 9.2 \cdot 10^3}{\pi \times 6^2} = 325.$$

Пусть R_0 — радиус изображения сфокусированной звезды. Для оценки максимального радиуса R изображения звезды «в расфокусе», при котором её сия видно ($m_e = 6''$), используем формулу Погсона и значение ξ :

$$\frac{R}{R_0} = \sqrt{\xi} \cdot 10^{0.2(m_e - m_{\infty})} = \sqrt{325} \cdot 10^{0.2 \times (6 - 6.2)} = 15.8.$$

Согласно условию задачи, сплобка гидрования составляет

$$\sigma = 60'' \cdot \frac{R_0}{R} = \frac{60''}{15.8} = 3.8''.$$

Оценим дифракционное разрешение объектива фотоаппарата для видимого света (с длинами волн $\lambda \approx 0.5 \text{ мкм}$), которое по условию есть размер изображений звезд:

$$\beta = \frac{1.22\lambda}{\Delta} = \frac{1.22 \times 0.5 \cdot 10^{-6}}{100 \cdot 10^{-3}} \approx 1.3''.$$

Примем квантовую эффективность глаза равной $\eta_e = 4\%$, его временное разрешение — $T_e \approx 0.1$ с. и рассчитаем искомую предельную звездную величину на обработанной фотографии:

$$m_{\text{lim}} = m_e$$

Сравнение с глазом:

$$+ 5 \lg \frac{\Delta}{D_e}$$

фотоаппарат собирает больше света.

$$+ 2.5 \lg \frac{\eta}{\eta_e}$$

его матрица чувствительнее глаза.

$$+ 2.5 \lg \frac{T}{T_e}$$

а выдержка достаточна;

$$- 5 \lg \frac{\beta + \sigma}{\beta}$$

ошибки гиперфокального увеличения изображения из-за уменьшения его поверхности яркости;

$$+ 1.25 \lg N$$

эффект от постобработки.

$$m_{\text{lim}} = 6^m - 5 \lg \frac{100 \text{ мм}}{6 \text{ мм}} - 2.5 \lg \frac{42\%}{4\%} + 2.5 \lg \frac{2 \times 60 \text{ с}}{0.1 \text{ с}} -$$

$$\sim 5 \lg \frac{1.3'' + 3.8''}{1.3''} + 1.25 \lg 10 \approx 20.6^m.$$

4.5 Оптика телескопа

1. Увеличение телескопа определим как отношение фокусного расстояния объектива к фокусному расстоянию окуляра:

$$I = \frac{F}{f} = \frac{100}{1} = 100.$$

Оптическая сила окуляра в системе Кеплера положительна. Фокальные плоскости объектива и окуляра должны быть совмещены, следовательно, искомая линза составляет

$$L = F + f = 100 \text{ см} + 1 \text{ см} = 101 \text{ см}.$$

2. Объектив создаёт в своей фокальной плоскости изображения звёзд. Нетрудно понять, что линзу Барлоу нужно установить перед фокальной плоскостью объектива: по формуле тонкой рассеивавющей линзы для линзы Барлоу имеем

$$-\frac{1}{f_B} = -\frac{1}{u} + \frac{1}{v},$$

Под v и u естественно понимать расстояния от линзы до «старой» и «новой» фокальных плоскостей телескопа, преобразование между которыми линза не осуществляет с увеличением $v/u = 2$:

$$-\frac{1}{f_B} = -\frac{1}{u} + \frac{1}{2u} = -\frac{1}{2u}; \\ u = f_B/2 = 1 \text{ см}/2 = 0.5 \text{ см}.$$

Изменение длины телескопа составляет в таком случае

$$\Delta L = v - u = u = +0.5 \text{ см}.$$

3. Рассчитаем масштаб изображения в фокальной плоскости:

$$\mu = \frac{1}{F} = 1 \text{ рад/м} = 3.44'/\text{мм}.$$

Расстояние между центрами изображений звезд

$$\Delta x = \frac{20''}{3.44'/\text{мм} \times 10 \text{ мкм/пиксель}} \approx 10 \text{ пикселов}.$$

Упражнение.

Установите, достаточно ли разрешение ПЗС матрицы, чтобы с максимальной эффективностью использовать данный телескоп.

4.6 Ёжик в тумане

“Вега — звезда спектрального класса A0, а значит, её истинный показатель цвета $(B-V)_0$ равен 0^m в точности. Известно, что для межзвездного поглощения A_V в полосе V в целом выполняется соотношение

$$A_V \approx 3 \cdot E_{B-V},$$

где $E_{B-V} \equiv (B-V) - (B-V)_0$ — избыток цвета.

Выражая избыток цвета через поглощение и подставляя численные значения, получаем

$$B - V = (B - V)_0 + E_{B-V} = (B - V)_0 + \frac{A_V}{3} = 0.0^m + \frac{2.4^m}{3} = 0.8^m.$$

Упражнения.

- Грубо оцените расстояние до указанной звезды и её видимую звёздную величину.
- Определите максимальную галактическую широту, которую может иметь такая звезда в модели «цилиндрического» галактического диска.

* Мы не знаем, почему эта задача находится здесь. Галактика ёжик в тумане забыла...

4.7 Горизонт событий

Для оценки массы чёрной льры необходимо найти большую поступательную орбиту звезда S2 и период её обращения. Поскольку масштабы по осям телескопии совпадают, можем измерить угловой размер большой оси неподсветленного галактика, конечно, наклонной орбиты к картинной плоскости с периодом пребывания также воспользоваться данным:

$$\alpha \approx 0.2'' \implies a = 0.1'' \times 8 \text{ км} = 8 \cdot 10^5 \text{ а.е.} \\ T = 15 \text{ лет.}$$

На рисунке листочку Кеплера массы чёрной льры равна

$$\frac{GM}{c^2} = \frac{4\pi^2 a^3}{GT^2} \approx 2.3 \cdot 10^{-9} \text{ кг.}$$

А её измеримый извнешний размер линейный и умножен на склонение

$$D_s = \frac{100}{c} \approx 1.4 \cdot 10^{10} \text{ м} \approx 0.1 \text{ а.е.}$$

$$d_s < \frac{0.1 \text{ а.е.}}{8 \text{ км}} = 1.25 \cdot 10^{-10} \approx 6 \cdot 10^{-11} \text{ радиан.}$$

Наименованию длины волн соответствуют длины волн

$$\lambda = \frac{c}{v} = 0.67 + 1.30 \text{ мкм} \approx 1 \text{ мкм.}$$

При выборе линии фона $\tilde{\lambda}$ приравняем угловое разрешение интерферометра к угловому радиусу звезды Sag A*:

$$d_s = \frac{\tilde{\lambda}}{2} \implies \tilde{\lambda} = \frac{d_s}{2} \approx \frac{1 \cdot 10^{-10} \text{ м}}{6 \cdot 10^{-11} \text{ радиан}} \approx 2 \cdot 10^{-1} \text{ мкм.}$$

Задачи на практику

1. Какие параметры орбиты чёрной льры позволяют определить её массу и определить угол наклона её орбиты к ориентации?
2. Воспользуйтесь установите ориентацию орбиты в пространстве по её проекции на горизонтальную плоскость?
 - по треку обрываются тела с достаточным и юным расположением точек?
3. Предложите способ определения периода движения S2 по линиям трека на условиях нахождения с наибольшей возможной точностью.

4.3. Соотношения

1. Фокусное расстояние рефрактора $f = 12.5 \text{ см}$, то есть линиями линейных измерений и относительными измерениями:

$$\Gamma = \frac{D}{f^2 \cdot 5} = 0.4 \text{ м} \approx 2 \text{ см}$$

Теперь легко получить градусы частного угла в изображении:

$$\mu = \frac{1 \text{ радиан}}{F} = \frac{1 \text{ радиан}}{1000 \text{ мм}} \approx 3.44 \cdot 10^{-6}$$

2. Для ответа на следующий вопрос зададим приятие: необходи-
мо рассчитать линейный размер δ изображения точечного объекта
в фокальной плоскости:

$$\delta = \frac{\text{secdg}}{\mu} = \frac{1''}{3.44' \text{ мм}} = 2.84 \cdot 10^{-4} \text{ мм} = 0.8 \text{ микрометра}$$

Можно считать, что объект занимает единицу времени — $\Delta t_0 = 1$.
Затем из формулы Петсона найдём время, за которое количество от-
считов в строке от объекта превзойдёт заданную величину изначаль-
ного срока времени:

$$\text{СИ} = 1 \text{ отсчет} \cdot e^{10^{-4} \cdot \text{мин}} \cdot \alpha = 1 \cdot 10^{-4} \cdot e^{10^{-4} \cdot \text{мин}} \cdot \alpha \text{ отсчет} \cdot \alpha$$

Последовательные полученные результаты в выражении для SNR получаем
линейное уравнение относительно временного интервала t :

$$\text{SNR} = \frac{\text{CR} \cdot t}{\sqrt{\text{RON}^2 + \text{DN} \cdot t}}$$

$$t = \frac{\text{SNR}^2 \cdot \text{DN} \pm \text{SNR} \sqrt{\text{SNR}^2 \cdot \text{DN}^2 + 4 \cdot \text{CR}^2 \cdot \text{RON}^2}}{2 \cdot \text{CR}^2}$$

$$= \frac{5^2 \cdot (1/60) \pm 5 \sqrt{5^2 \cdot (1/60)^2 + 4 \cdot 0.1^2 \cdot 0.01}}{2 \cdot 0.1^2} \quad \rightarrow t = 5.21 \text{ с} \approx 9.7 \text{ мин.}$$

3. Заметим, что $\sigma_{\text{exp}}^2 = \text{Количество отсчётов} \cdot \text{СИ}$, поэтому линей-
ное уравнение относительно t' перепишется в виде

$$\text{SNR} = \frac{\text{CR} \cdot t'}{\sqrt{\text{RON}^2 + \text{DN}' \cdot t'}}, \text{ где } \text{DN}' = \text{DN} - \text{CR} \cdot t$$

$$t' = \frac{\text{SNR} \cdot \text{DN} \pm \text{SNR} \sqrt{\text{SNR}^2 \cdot \text{DN}^2 + 4 \cdot \text{CR}^2 \cdot \text{RON}^2}}{2 \cdot \text{CR}^2} = 11.1 \text{ минут.}$$

4. Заметим, что за один час полёта регистрируются гравитационные волны на одном телескопе можно считать 5 раз.

$$N = \frac{60 \text{ минут}}{\delta t} = \frac{60}{11.1} = 5.4 \approx 5 \text{ снимков.}$$

Следовательно, изоцель, покрытая одним из четырёх телескопов за один экспозицию Ω , должна составлять

$$\Omega = \frac{0.03 \text{ ср}}{4 \times N} = \frac{0.03 \text{ ср}}{4 \cdot 5} \approx 1.5 \cdot 10^{-4} \text{ ср} = 9.77^\circ.$$

Преимущество, что используемая матрица имеет форму квадрата, найдём её линейные размеры:

$$l = \frac{\sqrt{\Omega}}{\mu \times 6 \text{ мкм пикселя}} = \frac{\sqrt{9.77^\circ}}{3.44 \times 6 \cdot 10^{-3}} \approx 6.4 \cdot 10^3 \text{ пикселя.}$$

4.9 Гравитационно-тизовый телескоп

1. Наибольшее отклонение претерпевают лучи, проходящие в непосредственной близости от поверхности тела, когда $r \approx R_3$, поэтому

$$f_{\text{тиз}} = \frac{R_3}{2(R_3 - R_1)} = \frac{R_3 c^2}{4GM_3} \approx 543 \text{ а. е.}$$



Рис. 4.4. Картина хода лучей при гравитационной «фокусировке»

2. В центр приемника приходят лучи, идущие у поверхности Солнца, поскольку приёмник располагается на расстоянии f_{\min} от него. На край же попадают лучи, проколотые на расстоянии \tilde{f} от поверхности Солнца или $R_\odot + h$ от его центра. Они пересекают ось x на расстоянии \tilde{f} от центра Солнца.

$$\tilde{f} = \frac{R_\odot + h}{\theta(R_\odot + h)} = \frac{c^2(R_\odot + h)^2}{4G\mathfrak{M}_\odot},$$

Из рисунка 4.4 имеем:

$$a = (\tilde{f} - f_{\min}) \cdot \theta(R_\odot + h) = \left(\frac{c^2(R_\odot + h)^2}{4G\mathfrak{M}_\odot} - \frac{R_\odot^2 c^2}{4G\mathfrak{M}_\odot} \right) \frac{4G\mathfrak{M}_\odot}{c^2(R_\odot + h)} = \\ = R_\odot + h - \frac{R_\odot^2}{R_\odot + h} \approx R_\odot + h - (R_\odot - h) = 2h.$$

Остается сравнить потоки от объекта в присутствии Солнца и без него. Отношение потоков равно отношению светособирающих площадей:

$$\frac{2\pi R_\odot h}{\pi a^2} = \frac{R_\odot}{a}.$$

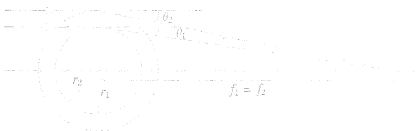


Рис. 4.5. «Гравитационно-оптическая аналогия» в смысле иллюстративной аналогии

3. Чтобы гравитационная линза работала как идеальная оптическая, лучи, проходящие на разных расстояниях от центра гравитирующего тела, должны пересекать ось x в одной точке. Следовательно,

$$f = \frac{r^2 c^2}{4G\mathfrak{M}(r)} = \text{const} \implies \mathfrak{M}(r) \propto r^2.$$

4.10 Коронадо

Функция $T(\beta/\lambda)$ — квазипериодическая: два её последовательных максимума отстоят на π . Отсюда находим расстояние между соответствующими этим максимумам длиными волн:

$$\Delta\beta \approx \pi = \frac{2\pi nl \cos\theta}{\lambda_0} = \frac{2\pi nl \cos\theta}{\lambda_0 + \Delta\lambda} \approx 2\pi nl \cos\theta \cdot \frac{\Delta\lambda}{\lambda_0^2},$$

$$\therefore \Delta\lambda \approx \frac{\pi\lambda_0^2}{2nl \cos\theta} = 18 \text{ \AA}.$$

Ширина $\Delta\lambda$ — полное пропускание оптико-лазерного фильтра при пропускании

$$\frac{1}{1 - T(\sin^2\beta)} \approx \frac{1}{2} \quad \Rightarrow \quad \frac{1}{2} = \sin^2\beta \approx \beta^2 = \left(\frac{2\pi nl \cos\theta}{\lambda_0^2} \right)^2,$$

Последнее верно в силу малости параметра b (коэффициента дифракции) с точностью до целого π . Не будем сорбкой приближать дифракционное значение этого параметра выражением

$$\beta = \frac{d\beta}{d\lambda} \cdot \frac{\delta\lambda}{\lambda},$$

Подставляем приводит к уравнению

$$\frac{1}{F} = \sqrt{\frac{(2\pi nl \cos\theta \delta\lambda)^2}{\lambda_0^2 - \frac{\lambda_0^2}{2}}}.$$

$$\therefore \delta\lambda = \frac{\lambda_0^2}{\pi nl \cos\theta \sqrt{F}} \approx 0.1 \text{ \AA}.$$

$$\therefore Q = \frac{\Delta\lambda}{\delta\lambda} = \frac{18}{0.1} \approx 2 \cdot 10^4.$$

Найдём скорость, соответствующий целевой частоте пропускания фильтра, определяемая дифференциальным спектром линии Бальмер-атома:

$$v_F = \frac{\delta\lambda}{\lambda_0} \cdot c = \frac{0.1}{6562.5} \times 3.003 \cdot 10^8 \approx 4.6 \text{ м/с.}$$

Упражнение:

Оцените дифракционное постоянство фильтра Фабри-Перо в видимом свете (излучениях звездных).

* Спектральную зависимость $T(\beta/\lambda)$ имеет вид β/λ , то есть связанный с ней фильтром сильно склоняется к прямой, отекающей спектре максимумы.

Любой должен быть изотермальным. В противном случае поменянные туда инженеры смогли бы сконструировать тепловую установку, чтобы охладить часть своего окружения до любой наперёд заданной температуры.

Г. Бент

5.1 Циклотрон

Циклотронной частотой f называют частоту обращения заряженной частицы в постоянном однородном магнитном поле с индукцией \vec{B} в плоскости, перпендикулярной \vec{B} .

Найдите модуль индукции магнитного поля $B_{\text{МЧ}}$, при которой циклотронная частота нерелятивистских свободных электронов совпадает с используемой в бытовых микроволновых печах ($f_{\text{МЧ}} = 2.45 \text{ ГГц}$).

5.2 Побег из атмосферы

Предположим, что у Луны когда-то была изотермическая $T = 300 \text{ K}$. Когдато существовала атмосфера. Грубо оценим минимальную высоту, на которой молекулы с энергией, равной средней квадратичной, были способны покинуть Луну. Выразите ответ в лунных радиусах.

5.3 Oxygen

Спутник летит в верхних слоях атмосферы на высоте $h = 100 \text{ км}$. Концентрация молекул составляет $n = 1.4 \cdot 10^{15} \text{ см}^{-3}$, температура $T = 237 \text{ K}$. В любой части спутника установлен манометр, который соединяется с атмосферой через диафрагму радиуса $r = 0.5 \text{ мм}$; поверхность диафрагмы перпендикулярна направлению движения спутника.

Температура в объёме манометра поддерживается постоянной и равной $T_1 = 300 \text{ K}$. Оцените давление P , которое покажет манометр после установления равновесия.

5.4. Атмосферная высота

Рассмотрим атмосферу для Титана, как для однородной в 80 км. Это значит, что давление, как и температура, если бы оно было, не зависят от высоты. Определим атмосферную высоту у поверхности.

Сделав вычисления однородной атмосферы, в которой температура у ее поверхности $T_0 \approx -36^\circ\text{C}$. Можно считать, что атмосфера Титана состоит преимущественно из углекислого газа.

5.5. Радио на Титане

Молекулы газа в атмосферах планет обладают типичным распределением скоростей. Если их среднеквадратичная скорость движется при 1/6 скорости звука, то бесконечная атмосфера будет продолжаться вечно. Чему равен минимальный радиус существования атомной линии A_{eff} плаэмыного радиатора, при котором мог бы существовать в атмосфере Титана? Температура поверхности Титана приблизительно $T \approx 100\text{ K}$.

5.6. Литотоники

Во время северных сияний высокозенитные излучения испытывают сдвиги атмосферными атомами кислорода. Плюсом к этому добавляется состояние. Если же время жизни в таком состоянии очень небольшое, то сдвиги не сгущаются. Он возвращается в более плавное звучание. Штиль и основное состояние с испусканием фотонов соответствуют звону залегания. Энергия уровня первого и второго возбужденных состояний по отношению к основному состоянию равны 1.96 эВ и 1.17 эВ. Время жизни этих состояний составляет 110 с и 0.8 с соответственно.

Определите частота северных сияний на высотах 160 км и 220 км. Атмосферу Земли считайте изотермической.

5.7. Обратный Комптон-эффект

Обратный эффект Комптона (ОЭК) предполагает обратное рассеяние фотона на ультрафиолетовом свободном электроне, при котором происходит перенос энергии от электрона к фотону. Радио зонте ОЭК для флуоресцентового излучения. При этом излучение электронов и излучение оно также рассеяние излучение которого будет спектроприведено на фоторегистрирующее с фильтром λ^2 .

5.8. Солнце

- Солнце из радиальных радиограм об источнике энергии Солнца известно, что оно светит из-за потерионов, орбитирующих на его поверхности. Несколько моментов уединения от Солнца сферические астероиды, массой m . Каждый распределен в пространстве равномерно с концентрической и. их скорости равномерно распределены на промежутке $[v_1, v_2]$ и соотношения v_1 и v_2 – соответственно первая и вторая космические скорости для Солнца.

Определите установленную светимость Солнца, считая, что излучающие потоки космической энергии аккрецируются им обоими. Выразите ответ через m , R_S , R_{\odot} и физические постоянные.

- Температура ядра Солнца долгое время оставалась загадкой, поскольку в рамках классической физики температура на ядре не соответствует истине для прохождения термоядерных реакций.

Определите температуру, при которой возможно обрывание двух протонов на расстояние порядка ядра Солнца.

- Найдите радиус ядра Солнца равным $0.3R_S$, единица энерговыделения единицы объема — q . Известно, что плотность потока тепловой энергии в ядре пропорциональна градиенту температуры:

$$F = -\kappa \frac{dT}{dr}, \quad \kappa > 0.$$

Ядро окружает зону диффузного переноса, прослояка шириной $0.3R_S$, где поток тепловой энергии, как известно, зависит от концентрации нейтронов, за счет радиационных механизмов.

Найдите температуру T_1 на границе ядра и T_2 на границе зоны диффузного переноса, если температура в центре Солнца составляет T_0 .

- Численное рассеяние на свободном электроне выражено силами рассеяния Ферми и путем рассеяния фотонов в ядрах Солнца. Его эффективное сечение $\sigma \approx 7 \cdot 10^{-26} \text{ м}^2$. Всего требуется многократное рассеяние пульс фотонов, чтобы оно выглядело как случайное блуждание.

Вычислите характеристическую длину свободного пробега фотона в солнечном веществе, считая потоком гравитационных электронов a_e не зависящей от глубины, и грубо определите время, за которое рожденный в центре Солнца фотон достигнет поверхности.

5.5. Пузыри — из четырех

При испытании усилителяного генератора в космическом аппарате с его помощью «обратное» возмущение обнаружено в виде четырех пузырей.



Пайдите норму такой реакции, то есть связь между энергией E протона космических лучей, при которой они могут взаимодействовать.

5.6. Предел ГЭК

В 1966 году Георгием Зацепиным и Бартиом Кульчицким, и независимо от них Кеннетом Грайзеном было предсказано, что протоны с энергией выше порогового порога взаимодействуют с фотонами, рожденными аннигиляцией:



Это указывает и тому, что воспринимая источником, находящимся рядом с ним, например, стационарную гравитацию и стационарную адреналиновую сию не могут поглощаться в квантовых лучах от отдаленных источников.

Определите пороговую энергию протона, при которой возможен данный процесс.

5.7. Лог фамилии

Межзвездный магнитный маяк представляет собой изогнутый, компактный и яркий источник. Для земного наблюдателя его бокометрическая либрация величина составляет $m = 5.2^{\circ}$. Какую бокометрическую величину маяка m' измерят на ракете «Центри-Н», пролетающей этим Солнечной системы со скоростью $v = 0.7c$ в сторону звезд?

5.8. Гравитационные волны

Первый гравитационно-волновой спутник «Лайбнит» был запущен на орбиту в 1960 в Монреале в Июняхе 1967 года (см. график 5.1).

Чтобы избежать будем исходить из предположения, что гравитационный спутник получает при спиральном полете, т.е. движении по кривых существенно преодолевает массу Земли, и поэтому имеется установившийся гравитационный потенциал более массивного объекта.

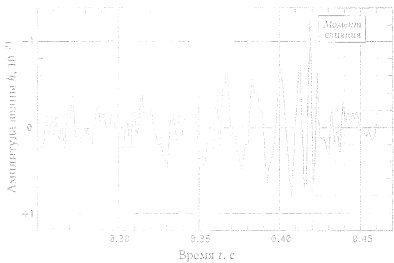


Рис. 5.1. К задаче *Гравитационные волны* (LIGO Open Science Centre)

Объект меньшей массы теряет энергию вследствие излучения гравитационных волн, в результате чего его орбита уменьшается в размерах до тех пор, пока оно не достигнет поверхности центрального тела, или, в случае чёрной дыры, пока орбита не достигнет минимальной устойчивой круговой орбиты, радиус которой равен трём шарциньковским. В этот момент слияния амплитуда гравитационной волны максимальна, как и частота, которая вдвое превышает орбитальную. После слияния вихрь гравитационных волн существенно изменяется.

Основываясь только на частоте гравитационных волн в эпоху слияния, установите, может ли центральный объект быть звездой главной последовательности, белым карликом, нейтронной звездой или чёрной дырой. Определите массу центрального объекта в масштабах Солнца.

Подсказка 1: Для звезды главной последовательности её радиус R_{MS} и масса M_{MS} связаны степенным законом

$$R_{\text{MS}} \propto M_{\text{MS}}^{\alpha} \quad \left| \begin{array}{l} \alpha = 0.8, \quad M_{\text{MS}} > M_{\odot}; \\ \alpha = 1.0, \quad 0.08 M_{\odot} \leq M_{\text{MS}} \leq M_{\odot}. \end{array} \right.$$

Подсказка 2: Для белого карлика справедливо соотношение $R \propto M^{-1/3}$, причём $R(M = M_{\odot}) \approx R_{\odot}$. Предел Чандraseкара $M_{\text{Ch}} \approx 1.4 M_{\odot}$.

Подсказка 3: Самая массивная из открытых к настоящему времени нейтронная звезда имеет массу $2.0 M_{\odot}$; радиусы нейтронных звёзд составляют от 10 до 20 км.

Решения

5.1 Циклотрон

На электрон, движущийся по ларморовской окружности в магнитном поле, действуют сила Лоренца и центробежная сила. Второй закон Ньютона для него записывается в виде

$$\frac{m_e(\omega r)^2}{r} = e|\vec{B}| \cdot \omega r \implies m_e \omega^2 r = e|\vec{B}| \omega r,$$

где r — радиус траектории электрона, ω — круговая частота движения. Нетрудно получить

$$B_{\text{MW}} = \frac{m_e \omega}{e} = \frac{m_e \cdot 2\pi f_{\text{MW}}}{e} = 87.5 \text{ мТл}.$$

Упражнения:

- Произведите выкладки и вычисления, относящиеся к решению этой задачи, в системе СГС.
- Как известно, движущийся с ускорением a электрический заряд e излучает электромагнитные волны мощностью (в СГС)

$$P = \frac{2 e^2 a^2}{3 c^3}.$$

За какое время ларморовский радиус электрона из условия задачи уменьшается в два раза? Начальную кинетическую энергию положим равной $E_K = 0.01 \text{ мJc}^2$.

- Решите задачу для релятивистского электрона с энергией $E = 1 \text{ мJc}^2$.

5.2 Побег из атмосферы

Для того, чтобы молекула могла покинуть Луну, её тепловая скорость движения должна превосходить вторую космическую скорость для той высоты h над поверхностью Луны, на которой находится данная молекула. В качестве минимальной высоты рассмотрим такую, при которой тепловая скорость и вторая космическая скорость равны:

$$\sqrt{\frac{3kT}{\mu}} \approx \sqrt{\frac{2GM_L}{h + R_L}},$$

где $\mu \approx 29 \text{ г/моль}$ — молярная масса воздуха.

$$\therefore h = \frac{2\mu GM_L}{3kT} - R_L \approx 20R_L.$$

5.3 Оxygen

Рассчитаем орбитальную скорость спутника и тепловую скорость движения молекул воздуха (молярная масса $\mu \approx 29$ г/моль) при температуре $T = 237$ К:

$$v = \sqrt{\frac{GM_E}{R_E + h}} = 7850 \text{ м/с};$$

$$v_t = \sqrt{\frac{3kT}{\mu}} \approx 450 \text{ м/с}.$$

Скорость спутника, таким образом, значительно превышает тепловую скорость молекул атмосферы.

В стационарном режиме поток молекул в полости манометра равен потоку из него. За единицу времени количество проходящих через плоскость площадью σ частиц равно $n_1 v_1 \sigma / 4$, где n_1 и v_1 — соответственно концентрация и средняя скорость молекул в полости; в качестве v_1 примем среднеквадратичную скорость при температуре T_1 :

$$v_1 = \sqrt{\frac{3kT_1}{\mu}}.$$

Поскольку потоки равны, сравниваем соотношение

$$n_1 v_1 \sigma = \frac{1}{4} n_1 v_1 \sigma \implies n_1 = 4n \frac{v}{v_1}.$$

С учётом вышеизложенного,

$$P = n_1 k_B T_1 = \frac{4n v}{v_1} k_B T_1 \approx 4 \text{ Па}.$$

Упражнение.

Оцените значение длины свободного пробега для молекул воздуха при концентрации n_1 и температуре T_1 . Средний размер молекулы примите равным $\approx 10^{-8}$ см.

Читателей, не изучавших добросовестно науки молекулярно-кинетической теории, задающимся вопросом: в приведённости коэффициента 1/4 в выражении для количества молекул, летающих мимо, авторы напрямик и блоге с запросом «число ударов о стенку», первая ссылка.

5.4 Атмосферная высота

Поскольку масса атмосферы несущих, то есть образующих давление атмосферы, равна, пренебрегая гравитацией. Ускорение свободного падения. Во-вторых, обеёу этических явлений как атмосферных, нет, обобщим.

$$U_{\text{атм}} = 4\pi R_{\oplus}^2 p.$$

Подставим эту формулу в выражение для давления в атмосфере:

$$p = \frac{g M_{\text{атм}}}{4\pi R_{\oplus}^2} = \frac{4\pi R_{\oplus}^2 h \rho g}{4\pi R_{\oplus}^2} = \rho g h.$$

А что мы можем получить?

Запишем уравнение состояния идеального газа. В нашем случае, учитывая что молярная масса $\mu_{\text{атм}} = 12 + 1 + 16 = 30$ г/моль,

$$\rho V = \frac{m}{\mu} R T \quad \Rightarrow \quad \rho = \frac{\rho_0}{V_0}$$

Ускорение свободного падения для исходной точки вычислим из формулы

$$g = \frac{GM_{\oplus}}{R_{\oplus}^2} \approx 8.7 \text{ м/с}^2$$

Итоговая формула для высоты однородной атмосферы:

$$h \geq \frac{p}{\rho g} = \frac{RT}{\rho g} = \frac{8.314 \text{ Дж/моль} \cdot \text{К} \cdot 273 \text{ К}}{44 \cdot 10^{-3} \text{ кг/моль} \times 30 \cdot 10^3 \text{ м}^2/\text{с}^2} \approx 14 \text{ км}$$

5.5 Газы на Титане

Для того, чтобы частица оставалась в атмосфере, должно выполниться условие, накладываемое на среднюю кинетическую тепловую скорость $v_{\text{кин}}$ и скорость убегания v_{∞} :

$$v_{\text{кин}} < \frac{v_{\infty}}{2} \Leftrightarrow \sqrt{\frac{3kT}{m}} < \frac{1}{2} \sqrt{\frac{2GM_{\oplus}}{r}} \text{ м/с}$$

$$\rho \geq \frac{540TR}{(30)^2} \approx 13.2 \text{ г/см}^3 \text{ при } \Leftrightarrow A_{\text{дис}} = 13.2 \text{ см}$$

5.6 Дальтоники

Для изотермической атмосферы первая барометрическая формула

$$n(h) = n_0 \exp\left(-\frac{h}{H}\right),$$

связывающая концентрацию молекул на высоте h и на уровне моря; $H \approx 8$ км — высота однородной атмосферы (см. задачу 5.4).

Зададимся целью оценить количество соударений молекул за время её жизни в возбуждённом состоянии. Частота таких соударений выражается как отношение длины свободного пробега молекул воздуха и их средней скорости теплового движения:

$$v \approx c/\lambda \approx n d^2 v,$$

где d — характерный размер молекул воздуха, который возьмём для оценки равным $\approx 10^{-10}$ м. Их среднеквадратичная скорость теплового движения при температуре $T \approx 300$ К составляет порядка $\approx 5 \cdot 10^2$ м/с.

На уровне моря

$$n_0 = \frac{P_0}{k_B T} = \frac{101325 \text{ Па}}{1.38 \cdot 10^{-23} \text{ Дж} \times 300 \text{ К}} = 2.45 \cdot 10^{25} \text{ м}^{-3};$$

$$v_0 = n_0 d^2 v \approx 1.2 \cdot 10^9 \text{ с}^{-1}.$$

Несложно заметить, что с высотой частота ударов падает экспоненциально ($v \propto n$). Выполним соответствующие расчёты количества соударений за время жизни T_I :

$$N = T_I \cdot v(h) = T_I \cdot v_0 \exp\left(-\frac{h}{H}\right),$$

видим, что на высоте 160 км атомы могут спокойно излучать только со второго уровня. Переходы на первый и основной уровнях соответствуют фотонам с энергиями

$$\Delta E_{21} = (4.17 - 1.96) \text{ эВ} = 2.21 \text{ эВ}, \quad \Delta E_{20} = 4.17 \text{ эВ};$$

или же с соответствующими длинами волн

$$\lambda_{21} = \frac{hc}{\Delta E_{21}} \approx 570 \text{ нм}, \quad \lambda_{20} \approx 300 \text{ нм}.$$

Переход со второго уровня на первый соответствует «зелёному» фотону видимого света.

На высоте 220 км возможность излучать присуща атомам кислорода в обоих состояниях. Понятно, что в первом возбуждённом состоянии находится гораздо больше атомов, чем во втором. Их излучение будет доминировать.

$$\lambda_{10} = \frac{hc}{\Delta E_{10}} = \frac{hc}{1.96 \text{ эВ}} \approx 630 \text{ нм}.$$

Это — красные авроры, более редкие.

5.7 Обратный комpton-эффект

Данную задачу в действительности можно интерпретировать как задачу об отражении мячика от движущейся стены. В самом деле, начальная и конечная энергии фотона $\ll m_e c^2$, поэтому можно считать, что в системе отсчёта покоящегося электрона изменяется только направление импульса фотона.

Очевидно, энергетически выгодно (как нам, так и фотону) рассматривать столкновение с поворотом направления движения фотона на 180° , при этом энергия фотона изменится наиболее сильно. В лабораторной системе отсчёта (ЛСО) начальная энергия фотона E , тогда в СО электрона

$$E' = E \sqrt{\frac{c+v}{c-v}},$$

а в ЛСО конечная энергия отражённого фотона

$$E'' = E' \sqrt{\frac{c+v}{c-v}} = E \cdot \frac{c+v}{c-v}. \quad (5.1)$$

Энергии рентгенового фотона E (температура $T \approx 3$ К) и фотона на фотоприёмнике E'' (длина волны $\lambda \approx 0.5$ мкм) есть

$$E \approx k_B \cdot 3 \text{ К} = 2.6 \cdot 10^{-4} \text{ эВ}; ^{*}$$

$$E'' = \frac{hc}{\lambda} \approx 2.5 \text{ эВ}.$$

* На самом деле, можно показать, что для таких излучений фотона коэффициент излучения с температурой T составляет $E \approx 2.7k_B T$.

Теперь уже нетрудно рассчитать энергию электрона:

$$\mathcal{E} = \frac{m_e c^2}{\sqrt{1 - \frac{v^2}{c^2}}} = \frac{m_e c^2}{\sqrt{c^2 - v^2}}.$$

Преобразуем уравнение (5.1) к более удобному виду: поскольку электрон ультрарелятивистичен, положим $(c - v)^2 \approx 1c^2$:

$$\frac{E''}{E} = \frac{c - v}{c + v} = \frac{(c - v)^2}{c^2 - v^2} \approx \frac{1}{c^2 - v^2} \implies \frac{1}{\sqrt{c^2 - v^2}} \approx \frac{1}{2c} \sqrt{\frac{E''}{E}}.$$

Окончательно

$$v = \frac{m_e c^2}{2} \sqrt{\frac{E''}{E}} \approx 0.5 \text{ MeV} \times \frac{\sqrt{(2.5 \text{ eV} \cdot (2.6 \cdot 10^{12} \text{ eV})}}}{2} \approx 25 \text{ MeV}.$$

5.8 Сотничио

1. Найдём число астероидов, падающих на Солнце за единицу времени, имеющих «на бесконечности» скорость в интервале от v до $v + dv$. Определим радиус сечения захвата:

$$\left\{ \begin{array}{l} \text{ВСМН: } \frac{r^2}{v^2} = \mu R_1 \\ \text{ВСЭ: } \frac{r^2}{v^2} = \frac{\mu^2}{2} - \frac{GM_1}{R_1} \end{array} \right. \implies r = \frac{R_1}{v} \sqrt{v^2 + \frac{2GM_1}{R_1}},$$

Тогда темп акреции $N_{\text{а}}$ астероидов (количество падающих астероидов за единичный интервал времени) с такими скоростями в следствие разнократности распределения по скоростям

$$N_{\text{а}} = \pi r^2 v dv = \pi r^2 v \cdot \frac{ndv}{v_2 - v_1},$$

а соответствующая величина

$$dv_{\text{а}} = \frac{1}{v} d\ln N_{\text{а}} = \frac{\pi n R_1^2}{2R_1} \pi r^2 v \frac{ndv}{v_2 - v_1} = \frac{\pi mn R_1^2}{2(v_2 - v_1)} \left(v^2 + \frac{2GM_1}{R_1} \right)^{-\frac{1}{2}} \frac{dv}{v},$$

Введём обозначения

$$A \equiv \sqrt{\frac{2GM_1}{R_1}}, \quad \delta \equiv \frac{\pi mn R_1^2}{2(v_2 - v_1)}$$

и проинтегрируем по интервалу скоростей астероидов:

$$L = \int dv_{\text{а}} = \delta \int_{v_1}^{v_2} \frac{(v^2 + A^2)^{\frac{1}{2}}}{v} dv = \delta \left[\frac{11}{16} + \ln \sqrt{2} \right] A^2.$$

2. Для обновления протонов на расстоянии $r \gg R_{\odot}$, т.е. в $\Omega^2 \ll 1$ и ω — квадратичного масштаба — требуется действие, включаямое в кинетическую энергию. При этом срабатывает куполовскую энергию $E_{\text{куп}} = \frac{1}{2}mv^2$.

$$\frac{e^2}{4\pi r_{\text{пл}}} \sim k_B T_{\text{пл}}$$

$$T_{\text{пл}} \sim \frac{e^2}{4\pi r_{\text{пл}} k_B} \approx 10^{-10} \text{ K}$$

3. Рассмотрим тонкую шаровую оболочку радиуса $r < 0.3R_{\odot}$ и толщины dr в замкнем условие сё теплового равновесия. Меняется энергоподеление в объёме внутри оболочки радиуса концентрации теплоотдачи, неустановившегося через её поверхность:

$$\frac{4\pi}{3}r^3 \cdot q = -4\pi r^2 \cdot \kappa \frac{dT}{dr} \implies dT \cdot r^2 = \frac{q}{3\kappa} dr.$$

Тогда на границе ядра температура скажется

$$T_0 = T + \frac{q}{3\kappa} \frac{(0.3R_{\odot})^2}{2} = T + \frac{qR_{\odot}^2}{18\pi\kappa}.$$

В зоне диффузного переноса поток энергии из сферической ядерной зоны сохраняется и обусловлено погружением в зону с учётом закона Стефана-Больцмана

$$T_0^4 R_0^2 = T_1^4 R_1^2 \implies T_1 = T_0 \sqrt{\frac{R_0^2}{R_1^2}} \approx \sqrt{\frac{3}{4}} \left(T_0 + \frac{qR_0^2}{18\pi\kappa} \right).$$

4. Концентрация электронов в солнечном ветре не зависит от радиуса

$$n_r = \frac{m_e}{\frac{4}{3}\pi R_{\odot}^3 m_p},$$

Когда свободного пробега λ определяется магнитным полем синхротронного излучения испытывается при её прохождении:

$$1.5n_r \approx 1 \implies \lambda \approx \frac{1}{n_r} = \frac{4\pi m_p h}{\eta \cdot \omega} \approx 2 \cdot 10^{-11} \text{ м.}$$

Укорочение перемещение фотона $\tau_{\text{фото}} \approx 10^{-11} \text{ с.}$ (около 10^{10} км), приводит к соответствию

$$\tilde{\tau}_0^2 = (\tilde{\tau}_0^2 - \tau_{\text{фото}}^2 + \tilde{\tau}_1^2) \approx \tilde{\tau}_0^2 + \tilde{\tau}_1^2 = \frac{\tilde{\tau}_0^2 \tilde{\tau}_1^2 (1 + \eta)^2}{\tilde{\tau}_0^2 + \tilde{\tau}_1^2} \approx \eta \tilde{\tau}_0^2.$$

то есть перемещение фотона $S \approx \sqrt{R}$. Искомое время, при котором фотон «вылетит наружу», то есть $S \approx R_+$, есть

$$t = n \cdot \frac{\lambda}{c} = \frac{R_+^2}{\lambda c} \approx 10^{19} \text{ с} \approx 10^3 \text{ лет.}$$

§ 9. По длине — по времени

Для решения будем пользоваться идеей физикульса — совокупностью теории и эксперимента E, \vec{p} . Понятно, что в-координата сохраняется, поскольку сохраняются все компоненты по отсчетности. Однако специальную теорию относительности утверждает, что в-координата изменяется

$$(\vec{p}, \vec{p}') = \vec{p}' - v \sigma t := m \sigma \vec{v},$$

где v — это скорость частицы или эффективный масштаб системы, измеренный в единицах выбранной системы отсчета. Этому позволяет применять правила сохранения гораздо эффективнее (конечно, эту задачу можно решить и «тривиальным» способом).

По отсчетности. Квадрат $\frac{1}{4}$ -излучения системы (лаборатории СО):

$$\begin{aligned} Q &\geq \left[(E_{ph}\vec{P}) + (m_p c^2, \vec{0}) \right]^2 = (E_{ph}\vec{P})^2 + (m_p c^2, \vec{0})^2 + 2(E_{ph}\vec{P}) \cdot (m_p c^2, \vec{0}) = \\ &= m_p^2 c^4 + m_p^2 c^4 + 2E_{ph} m_p c^2 - 2\vec{P} \cdot \vec{0} c^2 = 2m_p c^2 (m_p c^2 + E_{ph}). \end{aligned}$$

После отсчетности. Квадрат $\frac{1}{4}$ -излучения системы (СО центра масс):

$$Q \geq [4m_p c^2]^2. \quad (5.2)$$

Несколько разницеств достигается, когда проходит к различие отсчетов.

Квадрат $\frac{1}{4}$ -излучения не зависит от выбора системы отсчета, если ограничиться чистой реальностью.

$$2m_p c^2 (m_p c^2 + E_{ph}) = 16m_p^2 c^4,$$

$$\therefore E_{ph} \approx 7m_p c^2$$

Примечание.

Строго говоря, несправедливость формулы (5.2). Какой её физический смысл?

Полученная оценка оказывается несколько заниженной. В действительности, конечно, четырехвектор механики реализуется в глубоких стенах Солнца, где концентрации тепловой энергии неизвестно выше средней, и при более низких температурах возникает более эффективное взаимодействие с веществом.

5.10. Продел ГЭК

Это выражение решается в точности так же, как и для γ . Для упрощения расчетов заметим, что напоминаем, что в этом случае при некоторой решетке буде протекать соответствующий квантимагнитный ток I :

$$\left| E, \vec{P} - (E_p, \vec{P}_p) \right|^2 = m_p^2 c^2 + m_p^2 c^2 = (m_p^2 + m_\pi^2 c^2) = m_p^2 c^2 + (1 + 2\beta^2) = (\vec{P} + \vec{P}_p)^2.$$

Здесь величина с индексом p относится к решетке ядра фонону; его энергия $E_p \approx k_b \times 3 \text{ К} \approx 0.3 \text{ мэВ}$, импульс $P_p = E_p/c$.

Изменяя прохождение сяяжем с его энергией E за счет:

$$P_E = \sqrt{E^2 - m_p^2 c^2}$$

Складывая произведение $\vec{P} + \vec{P}_p$ при противоположных направлениях импульса равно $-\vec{P} \vec{P}_p$. Применим к уравнению соответствующую \vec{P} :

$$E \approx \sqrt{\vec{P}^2 + m_p^2 c^2} = \frac{(m_p + m_\pi c^2)}{2\beta} = \frac{m_\pi c^2}{2\beta}.$$

Последнее против ультракрасотипистским соотношением $m_\pi c^2 \ll E$ не срациене E . Окончательно получим

$$E \approx \frac{(m_p + m_\pi c^2)^2 + m_p^2 c^2}{4E_p} \approx 2 \times 10^{-10} \text{ эВ} \approx 1.04.$$

5.11. Две формулы

Вследствие продольного эффекта Доплера константы решеткируемых из ракеты фотонов источника изменятся в

$$k_1 = \sqrt{\frac{c + v}{c - v}} \text{ ради.}$$

При этом испытание перенесено сокращениями, связанными с движением излучения в один раз в общий умножитель π :

$$k_1 = \left(1 + \frac{v^2}{c^2}\right)^{-\frac{1}{2}} \text{ ради.}$$

Концентрация возрастает во столько же раз.

Таким образом, измеряемая на ракете энергия излучения от манка за секунду будет больше в $k_1 k_2$ раз по сравнению с измеряемой на Земле. Эффективную величину m' определим по формуле Потсона:

$$m' = m - 2.5 \lg(k_1 k_2) = m - 2.5 \lg \frac{c}{c - v} = 3.9^m,$$

5.12 Гравитационные волны

По данным графика, непосредственно перед пиком излучения первой гравитационной волны составлял приблизительно 0.007 с — частота гравитационных волн f_0 составляет около 140 Гц.

По третьему закону Кеплера орбитальная частота

$$f_{orb} = \frac{1}{T} = \frac{1}{2\pi} \sqrt{\frac{GM}{r^3}},$$

где M — масса центрального тела, r — радиус орбиты. Следовательно, частота гравитационных волн

$$f_{gr} = 2f_{orb} = \frac{1}{\pi} \sqrt{\frac{GM}{r^3}}. \quad (5.3)$$

Звезда главной последовательности. Частота излучения гравитационных волн будет наибольшей при $r \approx R_{MS}$. Подставим выражение для R_{MS} в формулу для частоты:

$$f_{MS} = \frac{1}{\pi} \sqrt{\frac{GM_{MS}}{R_{\odot}^3}} \left(\frac{M_{\odot}}{M_{MS}} \right)^{\frac{3\alpha}{2}} = \frac{1}{\pi} \sqrt{\frac{GM_{\odot}}{R_{\odot}^3}} \left(\frac{M_{MS}}{M_{\odot}} \right)^{\frac{1-3\alpha}{2}}$$

Для указанных в условии значений α величина $\frac{1-3\alpha}{2}$ отрицательна. Частота достигнет максимума при наименьшей возможной массе звезды главной последовательности $M_{min} = 0.08 M_{\odot}$ (при этом $\alpha = 1$):

$$f_{MS, min} = \frac{1}{\pi} \sqrt{\frac{GM_{\odot}}{R_{\odot}^3}} \cdot \frac{M_{\odot}}{M_{min}} \simeq 2.5 \text{ мГц}.$$

Белый карлик. Понятно, что максимальная частота гравитационных волн достигается при $r \approx R_{WD}$. Для белых карликов по условию выполняется соотношение

$$R_{WD}^3 = R_{\odot}^3 \frac{M_{\odot}}{M_{WD}}.$$

поступательное выражение для радиуса Шварzsона:

$$R_{\text{Ш}} = \frac{1}{\pi} \sqrt{\frac{G M_{\text{ш}}}{R_{\text{ш}}^3}} = \frac{1}{\pi} \sqrt{\frac{GM_{\text{ш}}}{R_{\text{ш}}^3}} = \frac{R_{\text{ш}}}{\pi} \sqrt{\frac{M_{\text{ш}}}{R_{\text{ш}}^2}}$$

Частота будет максимальной в случае если радиус Шварzsона будет равен радиусу звезды:

$$f_{\text{Шарzsон}} = \omega_{\text{ж}} R_{\text{ш}}^2 / R_{\text{ш}}^3$$

Нейтронная звезда. Для нейтронных звезд звезды частота от массы в радиусе также описывается соотношением (3.3). Праведущий и условной третья подсказка является «ловушкой»: частота будет минимальной при *наименьшей* массе и наибольшем радиусе нейтронной звезды. При смесях изомёдов $M_{\text{ш}} = M_{\odot}$ и $R_{\text{ш}} = 15$ км спектр гармоничном не будет, поскольку зависимость между массой и радиусом нейтронных звезд узок. Итак,

$$R_{\text{ш}} \approx 3 \text{ км}$$

Масса звезды, в то время как её радиус и частота в конечном итоге определяются законом плоской линии. Остается одна переменная.

Чёрная дыра. Согласно Шварzsону радиус звезды определяется

$$R_{\text{ш}} = \frac{2GM}{c^2} \quad \Rightarrow \quad \frac{R_{\text{ш}}}{R_{\text{ш}}} = \frac{M}{M_{\text{ш}}} = \frac{M}{M_{\text{ш}}}$$

где $R_{\text{ш}} = 3$ км — радиус Шварzsона.

В случае чёрной дыры в качестве минимального расстояния мы ставим $R_{\text{ш}} = 3R_{\text{ш}}$:

$$f_{\text{Ш}} = \frac{1}{\pi} \sqrt{\frac{GM_{\text{ш}}}{R_{\text{ш}}^3}} = \frac{1}{\pi} \sqrt{\frac{GM_{\text{ш}}}{27R_{\text{ш}}^3}} = \frac{M_{\text{ш}}}{M_{\text{ш}}} = 0,1396 \cdot 10^{-11} \cdot \frac{M_{\text{ш}}}{M_{\text{ш}}}$$

Полученное вначале решение ошибка частоты на следующий раз $\sim 140\%$. Неподходящий объект, как известно из курса физики может иметь разную чёрную дыру, кроме которой

$$\frac{M_{\text{ш}}}{M_{\text{ш}}} = \frac{4,5 \cdot 10^{-11}}{140} \cdot f_{\text{Ш}} \approx 3,2 \cdot 10^{-12}$$

Законы излучения

Я больше не верю ни в Свет, ни в Тьму.
Свет — это просто поток фотонов.
Тьма — это просто отсутствие света.

С. Нукъяненко

6.1 Багровый ужас

Расстояние до звёзд столь велики, что лишь у некоторых звёзд, угловые размеры диска позволяют «восстановить» изображение звезды. Тем не менее, каких-то разледданные у нас есть. Для некоторой яркой звезды (болометрическая звёздная величина $m = 0.9^m$) измерения углового диаметра дали значение $\gamma \approx 10$ mas. Какого она цвета?

6.2 Аккреция на нейтронную звезду

На нейтронную звезду радиусом $R = 10$ км и массой $M = 1.4M_\odot$ происходит аккреция холодного межзвёздного газа с темпом 10^{15} г/с. Из-за магнитного поля, искажающего сферическую аккрецию, вещества выпадает на две площадки в районе полюсов нейтронной звезды суммарная площадь которых составляет 2 км^2 . Считая, что нагрев и свечение полюсов нейтронной звезды происходят благодаря полной передаче энергии аккрецирующему веществу поверхности нейтронной звезды, определите температуру её полярных областей.

6.3 Тройной альфа-процесс

Оцените, сколько ядер углерода ^{12}C ежесекундно образуется в звезде с абсолютной болометрической звёздной величиной -9.3^m , если известно, что вклад горения гелия в светимость этой звезды составляет 30%. Массы ядер гелия ^3He и углерода ^{12}C составляют 4.002603 а.е.м. и 12.000000 а.е.м. соответственно.

Как можно догадаться из названия, в сокращённом виде реакцию горения гелия можно записать как $3\ ^3\text{He} \rightarrow ^{12}\text{C} + \gamma$.

6.4 Нейтрино

В 1938 году Бете предположил, что ядерная реакция синтеза гелия из водорода, происходящая в ядре Солнца, — это его источник энергии. Результатирующее уравнение ядерной реакции:



Электронные нейтрино ν_e , которые получаются в этой реакции, можно считать безмассовыми. Эти частицы вылетают из Солнца, а их обнаружение на Земле подтверждает то, что внутри Солнца происходят ядерные реакции.

1. Рассчитайте плотность потока нейтрино Φ_{ν} , достигающих Земли. Считайте, что энергия, излучаемая Солнцем, полностью получается в реакции, приведённой выше. Вы можете пренебречь энергией, уносимой нейтрино.

На пути к Земле часть электронных нейтрино превращается в нейтрино других типов ν_i . Эффективность детектирования ν_i составляет $1/6$ эффективности детектирования ν_e . Если бы не происходило превращения нейтрино, мы бы детектировали N_1 нейтрино в год. Однако из-за этих превращений детектируется N_2 нейтрино в год (ν_e и ν_i вместе).

2. Какая доля f частиц ν_e превращается в ν_i , если $N_1/N_2 = 2.25$?

6.5 Пульсация цефейды

Звезда β Золотой Рыбы — переменная класса цефеид с периодом пульсации $T = 9.84$ сут. Предположим, что звезда является наиболее яркой в момент наибольшего сжатия (радиус R_1) и наиболее слабой в момент наибольшего расширения (радиус R_2), сохраняет сферическую форму и ведёт себя подобно абсолютно чёрному телу в каждый момент в течение всего цикла пульсаций.

Болометрическая звёздная величина этой звезды меняется от 3.46^m до 4.08^m . По измерениям доплеровского смещения известно, что в течение периода пульсаций поверхность звезды сжимается и расширяется со средней радиальной скоростью $v = 12.8$ км/с; спектральный максимум излучения колеблется от $\lambda_1 = 581.0$ нм до $\lambda_2 = 649.1$ нм.

1. Найдите отношение радиусов звезды R_1/R_2 в моменты наибольшего сжатия и наибольшего расширения и оцените величины этих радиусов.
2. Вычислите поток F_2 от звезды в момент её наибольшего расширения.
3. Определите расстояние D до звезды.

6.6 Одна фамилия

Межгалактический мяч представляет собой изограничный, компактный и яркий абсолютно чёрный источник. Для земного наблюдателя его балометрическая звёздная величина составляет $m = 5.2^m$.

Какую спектральную плотность потока излучения мяка на частоте $f = 32$ ГГц измерят на ракете «Нейтрон-Н», находящейся на стартовом столе космодрома «Восточный», если максимальная интенсивность излучения приходится на длину волны $\lambda_0 = 500$ нм? Выразите ответ в япских. Поглощением пренебречь.

6.7 Давайте поговорим про это

Одним из вероятных мест для поиска жизни являются планеты, обращающиеся вокруг звёзд главной последовательности. Исходить будем из того, что планеты имеют диапазон температур, подобный земному, с малыми температурными колебаниями. Причем для звёзд главной последовательности следующее усреднённое соотношение масса – светимость:

$$L \propto M^{3.5}.$$

Предположим, что полная выделяемая за время жизни звезды энергия $E \propto M$, а время жизни Солнца на главной последовательности составляет около 10 млрд лет.

Спектральная классификация звёзд приведена в таблице ниже; подклассы (0 – 9) присваиваются в линейной зависимости от $\lg(M/M_\odot)$.

Спектральный класс	O5V	B0V	A0V	F0V	G0V	K0V	M0V
Масса, M_\odot	60	17.5	2.9	1.6	1.05	0.79	0.51

- Чтобы разумной жизни нужно по крайней мере 4 млрд лет, чтобы развиться. Какой спектральный класс (с точностью до подкласса) может иметь самая массивная звезда, в окрестностях которой имеет смысл искать разумную жизнь?
- Рассмотрим планету, имеющую такую же излучательную способность ϵ и альбедо a , что и Земля, а помимо того — такую же температуру. Выразите расстояние d (в а. е.) между планетой и её светилом при массе светила M .
- Нашные планеты можно установить по вариации лучевой скорости звёзды; наименьший регистрируемый сдвиг длины волны составляет $\Delta\lambda/\lambda = 10^{-10}$. Какую наименьшую массу m (в массах Земли) может иметь планета из (2), которую можно обнаружить у звезды из (1)?

6.8 Мегамазер

В туманности Клеймана–Лоу наблюдают компактный радиоисточник в мазерной линии водяного пара $\lambda = 1.35 \text{ см}$. Известно, что источник имеет радиус около 0.05 а. е. , а его яркостная температура на данной линии волны достигает 10^{17} К . Оцените расстояние до источника, если измеренная плотность потока излучения от него составила 1.7 МЯн.

6.9 Спирт в космосе

Астрономы проводят наблюдения молекулярного облака в мазерной линии метанола на частоте 6.66 ГГц . Плотность потока излучения при этом составила 120 Ян. Определите длину волны, на которой проводились наблюдения. Оцените яркостную температуру метанолового облака, если известно, что его диаметр равен 1600 а. е. , а параплакс составляет 0.77 mas .

6.10 Запрещённая зона

У полупроводника, из которого изготовлен солнечный элемент, ширина запрещенной зоны равна E_g . Каждый фотон с энергией $E \geq E_g$ позволяет электрону преодолеть запрещенную зону. Возбуждённый электрон может преобразовать в потезшую только энергию E_g , оставшаяся часть энергии рассеивается.

Введём безразмерный параметр $x_g \equiv E_g/(k_B T_0)$. Нарисуйте качественный график зависимости $\varphi(x_g)$ КПД солнечного элемента от x_g . Найдите максимальную возможную КПД солнечного элемента.

6.11 Dolce Vita

Оцените, во сколько раз отличаются количества видимых звёзд на квадратный градус в зените при наблюдениях в чистом поле и лежа на дне бассейна глубиной в два метра в алмазных очках для плавания?

Показатель преломления воды $n_w = 1.33$, алмаза $n_d = 2.42$, температура воздуха $t_a = +26^\circ\text{C}$. Поглощением, дисперсией и поляризацией света в средах можно пренебречь, граничи разделя сред гладкие, звёзды расположены в пространстве равномерно.

Подсказка: в случае нормального падения света на границу раздела двух сред с показателями преломления n_1 и n_2 энергетический коэффициент отражения

$$R = \left| \frac{n_1 - n_2}{n_1 + n_2} \right|^2.$$

5.12. Энергия быстрого катиона

Нагородив горы над Морем Синдро — 35 км, высота $h = 1000$ м, плавающую в морской бинокль наблюдатель корабль устремлен. На корабле установлена сигнальная лампа. Сигналы излучаются с частотой $\nu = 2 \text{ Гц}$.

На какую электрическую мощность P она рассчитана, если её можно перенести с земляной Вегой? Болометрические измерениями пропускания Землиное изложение на уровне моря приложено $\tau = 0.27$.

6.13. Фотометрия в полосе U

Звезда обладает видимой звёздной величиной $m_V = 15.0^{+0}$ в полосе U . Фильтр в полосе G является идеальным, то есть обладает пропусканием $\tau_{G,U} = 0.97$ в ее полосы. Центр полосы пропускания фильтра лежит в оптическом диапазоне 360 нм. Ширина полосы $\Delta \lambda = 80 \text{ нм}$.

Предполагается, что звезда имеет плоское распределение излучения по спектру оптических частоты. Несколько от видимой величины и в простирающейся к яркости полосе излучения f , израсходованной в полосе, выражается выражением

$$f = 3631 \cdot 10^{-12} \text{ лм.}$$

Считите количество фотонов (N_γ) полосы G от единицы времени, прошедших оптический путь через область излучения Γ за время t в единицей яркости атмосферы константу секунду.

Звезда наблюдалась в полосе U с помощью наземного телескопа с диаметром зеркала 2.0 м. Можно считать, что в генезисе наблюдений недостаток ограничивается дифракцией, атмосферная нестабильность в полосе U составляет 50%. Средняя интенсивность яркость звезды при наблюдении в полосе U равна 22.0^{+0} .

Чему равно отношение K количества фотонов, припоминаемых за секунду, от звезды, к количеству фотонов, регистрируемых от ночной неба, если наблюдение проводится с круговой апертурой диаметром $2''$?

На склоне регистрируются только 2% фотонов полосы U , падающих на зеркало. Какое количество N_γ фотонов от звезды регистрируется фактически?

6.14 AstroSat

На индийском астрономическом спутнике AstroSat, запущенном в сентябре 2015 года, есть 5 различных инструментов. В данной задаче мы будем обсуждать 3 из них: SXT, LAXPC и CZT. Эти инструменты наблюдают в рентгеновском диапазоне и имеют общее поле:

Инструмент	Цолоса (кэВ)	Площадь (cm^2)	Квантовая эф.	Уровень насыщения (отсчёты)	Число пикселов
SXT	0.34-8.0	0.067	60%	150000 всего	512×512
LAXPC	3+80°	1.5	40%	500000 в сумме из 3 счётчиков при 200000 всего	—
CZTI	10-150	0.09	50%	—	4×4096

Пусть спутник наблюдает точечный рентгеновский источник, энергетический спектр которого имеет степенной характер: спектральная плотность потока фотонов с энергией E

$$F(E) \propto KE^{-2.3},$$

где $K = 10$ фотонов/(кэВ $^{1/3}$ · м 2 · с).

- Найдите спектральные плотности потока фотонов с энергиями 1 кэВ, 5 кэВ, 40 кэВ и 100 кэВ для данного источника. Для каждой плотности потока рассчитайте полное число отсчётов в единичном интервале энергий, зафиксированное каждым из инструментов за время экспозиции $t = 200$ с.
- Вычислите для наблюдаемого источника максимальное время экспозиции t_S , при котором не достигается насыщение матрицы SXT.
- Предположив, что источник стал в 3500 раз ярче, вычислите ожидаемое полное число отсчётов в секунду на счётчиках 1 и 8 LAXPC. Что окажется причиной насыщения при длительной экспозиции: перенаполнение какого-либо отдельного счётчика или общее по всем счётчикам?

* Энергетический диапазон LAXPC распределён на 8 счётчиков с равной шириной полос без перекрытий.

6. Источник считается зарегистрированным, если отношение сигнал/шум SNR > 3. Стандартная квадратическая погрешность отсчетов CZT1 последних ступеней флукутации составляет 0.00034 отсчета (к.кВ · наносек). Какое минимальное время измерений для обнаружения или регистрации обеих точек источника на CZT1?
7. Представим себе, что наш источник демонстрирует переменность при ядерной коэффициенте К «скакком» возрастает до 20%. AstroSat наблюдает источник в течение 1 с по изменению яркости и 1 с после него. Важно ли количество отсчетов, измеренное каждым из инструментов в обоих наблюдениях? Какой инструмент наилучшим образом подходит для регистрации подобных изменений?
8. У некоторых рентгеновских источников, таких как Гам А, наблюдается линия излучения, соответствующая радиоактивному распаду ^{41}Ti , с длиной волны 0,01825 нм. Представим себе, что существует источник, который излучает только одну яркую линию, соответствующую этому распаду. Какова должна быть минимальная (по междуду) линевая скорость с любой источником, чтобы регистрируемая линия в линии излучения другого источника соответствовали различным сублиниям ГАХРС?

Решения

6.1 Багровый ужас

В соответствии с законом Стефана – Больцмана светимость звезды

$$L = 4\pi R^2 \sigma T^4,$$

а создаваемая ей освещённость на расстоянии d равна

$$E = \frac{L}{4\pi d^2} = \frac{4\pi R^2 \sigma T^4}{4\pi d^2} = \frac{R^2}{d^2} \sigma T^4 = \frac{Y^2 \sigma}{4} T^4.$$

Сопоставим полученное значение с солнечной постоянной E_\odot , используя формулу Погсона:

$$\frac{E}{E_\odot} = 10^{9.4(m - m_\odot)} \implies T = \left(\frac{4E_\odot \cdot 10^{9.4(m - m_\odot)}}{Y^2 \sigma} \right)^{0.25} \approx 4200 \text{ К}.$$

Такая температура соответствует оранжевому извету звезды.

Упражнения.

1. К какому спектральному классу и типу может принадлежать эта звезда?
2. Оцените возможное расстояние до неё.

6.2 Аккреция на нейтронную звезду

Светимость определяется полной передачей энергии аккрецирующего вещества: по условию на «подлёте» потенциальная энергия газа обращается в кинетическую, чтобы затем все кинетическая энергия потока перешла в тепловую — поверхности пейтронной звезды. В согласии со сказанным ранее, при темпе аккреции \dot{M} светимость равна

$$L = \frac{GM\dot{M}}{R},$$

при этом мы пренебрегаем начальной внутренней энергией газа вследствие её малости по сравнению с его потенциальной энергией.

Считая создаваемое на полюсах излучение чернотельным, запишем закон Стефана – Больцмана, откуда уже нетрудно выразить температуру:

$$L = S \cdot \sigma T^4 \implies T = \left(\frac{GM\dot{M}}{RS\sigma} \right)^{1/4} \approx 2 \cdot 10^7 \text{ К}.$$

6.3 Тройной альфа-процесс

Самый известный абсолютную зарядную величину при 3γ -излучении единичной энергии, её спектральность в 300 раз больше солнечной: $L = 3,88 \cdot 10^{28}$ Вт.

При слиянии ядра улерода выделяется энергия

$$\Delta E = \Delta mc^2 = \Delta m_{\text{пл}}c^2 = m_{\text{пл}} - m_{\text{пл}}^* = 1,17 \cdot 10^{-12} \text{ Дж.}$$

Быстроходное образование за 1 секунду ядер улерода радиоактивного состояния из счёт горения топлива систематически энергии, выделяемой при слиянии одного ядра улерода:

$$\frac{0,3 \times 3,88 \cdot 10^{28} \text{ Вт}}{1,17 \cdot 10^{-12} \text{ Дж}} \times 1 \text{ с} \approx 1 \cdot 10^{39}.$$

6.4 Нейтрони

1) Поскольку мы предполагаем, что получаем Солнечную энергию облучающую в усреднённой реакции, то на каждые $\Delta E = 25$ МэВ единичной энергии приходится 2 нейтрино. Тогда время величины единичной постоянной τ , рассчитанной плотность потока нейтрино:

$$\phi_n = \tau \frac{\delta E}{V_E} = 2 \times \frac{1369}{25 \cdot 10^6 \times 1,6 \cdot 10^{-19}} \approx 7 \cdot 10^{-3} \text{ нейт. м}^{-2} \text{ с}^{-1}.$$

2) Число частиц, детектируемых нейтрино сферами со средними параметрами

$$N_2 = N_1 \left(\left(1 - f \right) + \frac{1}{6} f^3 \right),$$

откуда доля превращающихся частиц

$$f = \frac{6}{5} \left(1 - \frac{N_2}{N_1} \right) \approx \frac{2}{3}.$$

Гидроактивация

Однотипные солнечные нейтрино входят в состав временных ядерных взрывов в звездах, близких к звезде Сириуса.

Число частиц, в которых меняются со временем, неодинаково для нейтрино, проходящих сквозь звёзды, или некоторой окружности галактики обладает простираемой областью, которая не зависит от радиуса звезды.

6.5 Пульсация цефеиды

1. Сначала определим отношение потоков, затем оценим потоки по закону Стефана – Больцмана. Запишем формулу Ньютона:

$$m_1 - m_2 = -2.5 \lg \left(\frac{F_1}{F_2} \right);$$

$$\frac{F_1}{F_2} = 10^{-(0.4m_1 - m_2)} = 10^{-(0.4 \cdot 3.48 - 1.78)} = 1.77.$$

Светимость определим по закону Стефана – Больцмана, откуда выражим потоки и отношение радиусов:

$$L_i = 4\pi R_i^2 \sigma T_i^4 \quad \Rightarrow \quad F_i = \frac{4\pi R_i^2 \sigma T_i^4}{4\pi D^2};$$

$$\frac{F_1}{F_2} = \frac{R_1^2}{R_2^2} \times \frac{T_1^4}{T_2^4} \quad \Rightarrow \quad \frac{R_1}{R_2} = \sqrt{\frac{F_1}{F_2}} \times \left(\frac{T_2}{T_1} \right)^2.$$

Воспользуемся также законом смещения Вина:

$$\begin{aligned} \frac{T_2}{T_1} &= \frac{\lambda_1}{\lambda_2} \quad \Rightarrow \quad \frac{R_1}{R_2} = \sqrt{\frac{F_1}{F_2}} \times \left(\frac{\lambda_1}{\lambda_2} \right)^2 = \\ &= \sqrt{1.77} \times \left(\frac{531.0}{649.1} \right)^2 = 0.890. \end{aligned}$$

Поскольку средняя скорость расширения и период пульсаций известны, можно записать выражение для разности радиусов

$$R_2 - R_1 = v \times \frac{P}{2} = 12.8 \cdot 10^3 \times 86400 \times \frac{9.84}{2} \text{ м.}$$

Подставим в формулу полученное ранее отношение радиусов:

$$(1 - 0.890)R_2 = 5.441 \cdot 10^9 \text{ м} \quad \Rightarrow \quad \begin{cases} R_2 = 4.95 \cdot 10^{10} \text{ м}, \\ R_1 = 4.41 \cdot 10^{10} \text{ м}. \end{cases}$$

2. Для определения абсолютной величины потока F_2 сравним его с наблюдаемым потоком от Солнца:

$$m_2 - m_{\odot} = -2.5 \lg \left(\frac{F_2}{F_{\odot}} \right) \quad \Rightarrow \quad F_2 = F_{\odot} \cdot 10^{-(0.4m_2 - m_{\odot})}.$$

В качестве солнечного потока подставим солнечную постоянную:

$$F_{\odot} = 2 \cdot 10^{-24} \cdot 10^{(3.48 - 4.83) \cdot 10^3} \approx 6.51 \cdot 10^{-16} \text{ Вт/м}^2.$$

3. Запишем выражение для расстояния до звезды через радиус, поток и температуру в момент наибольшего расширения.

$$D = \sqrt{\frac{L}{4\pi F_1}} = \sqrt{\frac{R\sigma T^4}{F_1}} = R T^2 \sqrt{\frac{\sigma}{F_1}}$$

По закону стяжения Вина

$$T_1 = \frac{\lambda}{\lambda_1} = \frac{2.898 \cdot 10^{-3} \text{ м} \cdot \text{К}}{646.1 \cdot 10^{-9} \text{ м}} = 4365 \text{ К}.$$

$$\therefore D \approx 9.205 \cdot 10^{15} \text{ м} \approx 300 \text{ а.и.}$$

6.6 Одна фамилия

По закону стяжения Вина эффективная температура источника равна

$$T = \frac{\lambda}{\lambda_1} = \frac{0.0029 \text{ м} \cdot \text{К}}{500 \times 10^{-9} \text{ м}} = 5800 \text{ К} \approx T_1.$$

Отсюда можно сделать вывод, что спектральная кривая источника похожа на солнечную.

По формуле Ньютона можно, во сколько раз источник слабее Солнца:

$$\xi = \frac{L_1}{L_{\odot}} = 10^{-4} \text{ эн-дл} = 10^{-4 \cdot 5.2-10.4} = 6.3 \cdot 10^{-4} \text{ раз.}$$

В радиодиапазоне, где справедливо соотношение $c/f \gg \lambda$, применимо приближение Рэлея – Джинса. Тогда некомая плотность потока определяется следующим соотношением:

$$\frac{F_2}{F_1} = F_2 \cdot \frac{1}{\xi} = \frac{2\pi f^2 k T}{c^2} \cdot \frac{4\pi R_1^2}{4\pi r_1^2} \cdot \frac{1}{\xi} \approx 2.0 \cdot 10^{-32} \frac{\text{Вт}}{\text{м}^2 \cdot \text{Гц}} \approx 2.0 \cdot 10^{-5} \text{ Ян.}$$

Упражнения.

- Ответите, как бы изменился бы свет, если бы вместо приближения Рэлея – Джинса была применена формула Гётака.
- Ракета начала двигаться в направлении на Марс с ускорением a . Определите, как измеряется на ракете спектральная плотность потока звезд от времени.

6.7. Давайте побороть про это

Частичную выделываемую энергию $\dot{E} = \dot{M}$ при горячей звезде можно вычислить при этом $L \approx 10^{25}$, то время существования звезды $t \approx 10^9$ лет

$$\tau \approx 10^{25} \quad \Rightarrow \quad \tau \approx t \left(\frac{\dot{M}}{10^{25}} \right)^{1/2},$$

Очевидно получим близкую к звезды масса звезды

$$\dot{M} = M_{\odot} \left(\frac{T}{T_{\odot}} \right)^{1.25} = M_{\odot} \left(\frac{10^{10}}{10^7} \right)^{1.25} \approx 1.44 M_{\odot}.$$

Оценим спектральный класс такой звезды. Масса звезды лежит в интервале от $1.6 M_{\odot}$ до $1.65 M_{\odot}$, что соответствует спектральному классу F.

Проверим зависимость подкласса от температуры звезды

$$10 \times \frac{\lg T - \lg T_{\odot}}{\lg T - \lg T_{\text{жел}}} + 2.5$$

Таким образом, звезда имеет спектральный класс F2V.

2. Альбедо излучения, прибывающего от звезды, получено с помощью

$$P_{\text{ал}} = (1 - a) \frac{\pi r^2 L}{4\pi d^2} + (1 - a) \frac{r^2 L}{4d^2}$$

$$P_{\text{ал}} = 4\pi r^2 a \sigma T^4,$$

Мы предположили, что планета поглощает как абсолютно чёрное тело (и это даже абсолютно чёрного). Запишем равенство приближённой и полученной мощности:

$$(1 - a) \frac{r^2 L}{4d^2} = 4\pi r^2 a \sigma T^4,$$

На разность температур планеты и звезды скажут выражение

$$T^4 = \frac{(1 - a)r_1^2 + ar_2^2}{16\pi^2 a^2 d^4} \cdot \frac{L^2}{r_1^2 r_2^2 \sigma^2},$$

$$T^4 = \frac{1}{a} \cdot \frac{r_1^2}{r_2^2} \cdot \frac{r_1^2}{r_2^2} \cdot \frac{L^2}{r_1^2 r_2^2 \sigma^2} = \Rightarrow T^4 = d^{-2} \left(\frac{M}{M_{\odot}} \right)^{2/3} \text{ и } T =$$

3. Выразим угловую скорость движения планеты вокруг центра масс системы при помощи третьего закона Кеплера:

$$T^2 = \frac{4\pi^2 d^3}{G(M+m)} \Rightarrow \omega = \frac{2\pi}{T} = \sqrt{\frac{GM + m}{d^3}}.$$

Пусть d_1 и d_2 — расстояния от звезды и планеты до центра масс, тогда

$$d_s = \frac{m}{M} d_1.$$

Выразим линейную скорость через угловую:

$$v = \omega d_s = \omega d \frac{m}{M} = \frac{m}{M} \sqrt{\frac{GM + m}{d}} \approx m \sqrt{\frac{G}{Md}}.$$

По соотношению для эффекта Лоренца получим выражение для массы планеты:

$$\frac{M}{\lambda} = \frac{v}{c} = \frac{m}{c} \sqrt{\frac{G}{Md}} \Rightarrow m = \frac{\lambda}{c} v \sqrt{\frac{Md}{G}}.$$

Подставим полученное выше выражение для расстояния d :

$$m = \frac{\lambda}{c} v \sqrt{\frac{M \left(\frac{M}{M_\odot} \right)^{\frac{1}{2}} \times a_\oplus}{G}} = \frac{\lambda}{c} v \sqrt{\frac{M_\odot \times 1.44^{0.5} \times a_\oplus}{G}},$$

Итоговое значение массы равно $m = 3.31 \cdot 10^{-2}$ кг или $0.554 M_\oplus$.

5.8 Межмазер

Плотность потока излучения связана с яркостью источника B_r и конусным углом Ω , под которым виден этот источник, соотношением

$$S_r = B_r \Omega, \quad \text{где } \Omega = \frac{\pi R^2}{d^2},$$

где R — радиус источника, d — расстояние до него. Отсюда выражим расстояние:

$$d = \sqrt{\frac{\pi R^2 B_r}{S_r}}.$$

Яркость источника найдём по формуле Рэля — Джинса:

$$B_r = \frac{2k_B T \sigma r^2}{c^2} = \frac{2k_B T \sigma}{\lambda^2},$$

Найдем выражение для яркости в формуле для радиации в дальнем инфракрасном диапазоне:

$$d = \sqrt{\frac{2\pi R^2 k_B T}{\lambda^5}} \approx 0.1 \text{ кд}$$

Задача 6.8

Оцените яркость кипердиодного излучателя, полученного при $\lambda = 670 \text{ нм}$ при средней температуре $T = 2 \cdot 10^3 \text{ К}$.

6.9 Спираль и космос

Определите длину волны, на которой произошло наблюдение:

$$\lambda = \frac{c}{v} = 4.5 \text{ см.}$$

Рассчитайте по таблице вычисления на параллелепипеде:

$$\alpha = \frac{1 \text{ пк}}{\pi d} = 1.5 \text{ мкм} = 4 \cdot 10^{-5} \text{ м}$$

Скорость света получена равной

$$S_0 = 120 \text{ Ян} = 1.2 \cdot 10^{-2} \text{ Вт} \cdot \text{см}^2 \cdot \text{Гц}$$

и спектр с максимумом источника B_0 , соответствием $b = B_0 S_0$, где Ω — полный угол, под которым виден источник.

$$\Omega = \pi \frac{R^2}{d^2} = \frac{\pi D^2}{4d^2}$$

где R — радиус источника, D — его диаметр, d — расстояние до него.

Выразим яркость источника по формуле Ньютона-Ламберта:

$$B_{00} = \frac{2k_B T}{d^2}$$

Определим коэффициент яркости $\tau_{\text{спираль}}$:

$$\tau_{\text{спираль}} = \frac{B_0 \tau^2}{2k_B T} = \frac{S_0 \tau^2}{2\pi d^2} = \frac{(4 \cdot 10^{-5})^2}{(2 \cdot 10^3)^2} \approx 3 \cdot 10^{-10} \text{ К.}$$

5.10 Запрещённая зона

Пределенная мощность падающего излучения, приходящего из ортогонального луча к японику A . Распределение энергии в спектре определяем законом Вина:

$$P_{\text{вн}} = \int d\omega \omega^2 d\tau = \int A \frac{R_1^2}{d_1^2} \frac{2\pi h}{c^2} v^2 \exp\left(-\frac{hv}{k_B T_1}\right) dv$$

делают новое обозначение:

$$x = \frac{hv}{k_B T_1} \quad \Rightarrow \quad \left(v = \frac{k_B T_1}{h} x \right) dx = \frac{k_B T_1}{h} dx$$

преобразуем получившееся выражение и возьмём этот интеграл¹⁴

$$\begin{aligned} P_{\text{вн}} &= \frac{2\pi h A R_1^2}{c^2 d_1^2} \frac{(k_B T_1)^4}{h^4} \int_0^\infty x^3 e^{-x} dx = \\ &= \frac{2\pi k_B^2}{c^2 h^3} T_1^4 A \frac{R_1^2}{d_1^2} \cdot b = \frac{12\pi k_B^4}{c^2 h^4} T_1^4 A \frac{R_1^2}{d_1^2}, \end{aligned}$$

получим возможность в данном случае решить тепловой энергии в расчёте по единичной функции $\xi_0 \equiv hv/k_B T_1$, умноженной на коэффициент фотонов с энергией x и обозначенной $x_0 \equiv E_0/k_B T_1$:

$$\begin{aligned} P_{\text{вн}} &= h n_g \int d\omega \omega^2 d\tau = h n_g A \frac{R_1^2}{d_1^2} \frac{2\pi}{c^2} \int_{x_0}^\infty x^2 \exp\left(-\frac{hv}{k_B T_1}\right) dx = \\ &= k_B T_1 N_g A \frac{R_1^2}{d_1^2} \frac{2\pi}{c^2} \left(\frac{k_B T_1}{h}\right)^2 \int_{x_0}^\infty x^2 e^{-x} dx = \\ &= \frac{2\pi k_B^2}{c^2 h^3} T_1^4 A \frac{R_1^2}{d_1^2} x_0^2 (x_0^2 + 2x_0 + 2) e^{-x_0}. \end{aligned}$$

однократное дифференцирование:

$$\begin{aligned} \int x^2 e^{-x} dx &= -x^2 e^{-x} - \int 2x^2 e^{-x} dx = -x^2 e^{-x} - 2 \left\{ x^2 e^{-x} - \int 2x e^{-x} dx \right\} \\ &= -x^2 e^{-x} - 2x^2 e^{-x} + 2 \left\{ x e^{-x} - \int e^{-x} dx \right\} = -(x^2 + 3x + 2)e^{-x}. \end{aligned}$$

КН і комплексного зваження у вигляді логарифмічної функції

$$\eta = \frac{P_{\text{р}}}{P_{\text{н}}} = \frac{\frac{2\pi R_{\text{н}}}{\lambda} \left(1 + \frac{R_{\text{н}}}{R_{\text{р}}} X_{\text{н}} / X_{\text{р}} \right) - 1}{\frac{2\pi R_{\text{н}}}{\lambda} \left(1 + \frac{R_{\text{н}}}{R_{\text{р}}} X_{\text{н}} / X_{\text{р}} \right) + 1} = \frac{X_{\text{н}} / X_{\text{р}} - 1}{X_{\text{н}} / X_{\text{р}} + 1} = \frac{e^{j\alpha X_{\text{н}} / X_{\text{р}}} - 1}{e^{j\alpha X_{\text{н}} / X_{\text{р}}} + 1}.$$

Предобразуємо отримане вираз до вигляду, підходящого для побудови та коефіцієнта під час розв'язання рівняння

$$\eta = \frac{1}{6} (X_g^2 + X_y^2 - 2X_g) e^{j\alpha X_g} \quad \Rightarrow \quad \eta \gg 0, \quad \text{при } \alpha \ll 0.$$

У підімножині множини все коефіцієнти підомножини, сподвигнувшись, їх монотонно зростають; експоненційний множини, наоборот, монотонно зменшуються. Таким чином, графік має тільки один мінімум:

$$\eta$$



Фіг. 3.4.1. Коефіцієнти під час розв'язання (3.4.1).

В точці $x = \text{мінімум}$ є пропорція (3.4.1) залежністю від η :

$$\frac{\partial \eta}{\partial X_g} = \frac{1}{6} (-X_g^2 + X_y^2 + 2X_g + 2e^{-j\alpha X_g}) = 0,$$

$$p(X_g) \equiv X_g^2 - X_y^2 - 2X_g + 2 = 0.$$

Корені цього уравнення можна знайти методом бiseкції:

$$p(0) = -2,$$

$$p(1) = -4,$$

$$p(2) = -2,$$

$$p(3) = 10 \quad \text{при } 2 < x < 3,$$

$$p(1.5) = 2.375 \quad \text{при } 1 < x < 1.5,$$

$$p(2.25) = -0.171 \quad \text{при } 2.25 < x < 2.5.$$

В точці $x = 2.27$, що відповідає критичному значенню (3.4.1)

$$X_{\text{н}} / X_{\text{р}} = p(X_g) \approx 4.9 \%,$$

5.11 Dolce Vita

Монокристаллический керамический коэффициент отражения в сущности равен 100%.

$$T = 1 - R = \frac{4n_d n_w}{(n_d + n_w)^2}$$

Керамик имеет низкую поглощаемость в бассейне, если учесть что три границы раздела сред (воздух — вода, вода — азот и азот — воздух). Коэффициент преломления воздуха считаем равным $n_d = 1.00$. Результирующий коэффициент проникновения τ равен произведению коэффициентов проникновения для трёх границ разделов сред:

$$\tau = \frac{4n_d n_w}{(n_d + n_w)^2} \times \frac{4n_w n_d}{(n_w + n_a)^2} \times \frac{4n_d n_a}{(n_d + n_a)^2} \approx 0.74.$$

Условные масштабы на переходе воздух — вода — азот — воздух не изменяются, поскольку в итоге эта «контактная система» ведёт себя как однокомпонентная пластина. Наблюдаемая набором освещённость пропорциональна τ . Значит, расстояние до наблюдавших за предметом поглощает излучение:

$$E \propto \tau \cdot E \propto \frac{1}{R^2} \quad \Rightarrow \quad R \propto 1/\sqrt{\tau}.$$

На сравнению с наблюдателем для лайнеры «корабль» излучает в 5 раз ярче и на 1.16 раза. Коэффициент видимого света при этом увеличился на $(\tau^5)^{1/2} \approx 1.6$ раза.

5.12 Домашнее дело каленя

Растояние от наблюдателя до корабля равно

$$l = \sqrt{(R_0 + h)^2 - R_0^2} \approx \sqrt{2R_0 h}.$$

Сопоставим освещённость от лампы с солнечной постоянной:

$$\frac{E}{E_0} = 10^{-10 \text{ лм} \cdot \text{м}^{-2} \cdot \text{с}^{-1}} \quad \Rightarrow \quad \frac{\eta P}{4\pi l^2} = E \cdot 10^{-10 \text{ лм} \cdot \text{м}^{-2} \cdot \text{с}^{-1}}$$

Найдём соотношение для мощности лампы

$$P = \frac{4\pi l^2 E_0 \cdot 10^{-10 \text{ лм} \cdot \text{м}^{-2} \cdot \text{с}^{-1}}}{\eta}.$$

Попробуйте упростить получившееся и укажите что $\eta = 0.01$, то мощность лампы получается равной $P = 200 \text{ мВт} \rightarrow$ не газон и пренесите!

Пусть $H_0 \approx 8$ км — высота однородной атмосферы, тогда путь луча от Веги через атмосферу составляет приблизительно

$$L = l + \sqrt{2R_\oplus H_0}.$$

Величина поглощения прямо пропорциональна длине пути луча через атмосферу:

$$\Delta m_1 = \zeta \frac{l}{H_0}, \quad \Delta m_2 = \zeta \frac{L}{H_0}.$$

Тогда равенство освещённостей примет вид

$$\frac{\eta P}{4\pi l^2} \cdot 10^{-0.4\zeta(l/H_0)} = E_\odot \cdot 10^{-(0.4m_1 + m_2)} \cdot 10^{-0.4\zeta(L/H_0)},$$

Итоговое выражение для мощности:

$$P = \frac{1}{\eta} 4\pi l^2 E_\odot \times 10^{-(0.4m_1 + m_2)} \times 10^{-0.4\zeta(L/H_0)} \implies P \approx 130 \text{ Вт}.$$

Упражнение.

Сравните результаты при наблюдениях звезды на высотах 20° и 45° над горизонтом и в zenithе.

6.13 Фотометрия в полосе U

1. Область полосы U задана как диапазон длин волн (360 ± 40) нм. Следовательно, максимальная, минимальная и средняя частоты для полосы будут равны

$$\nu_{\max} = \frac{c}{\lambda_{\min}} = 9.369 \cdot 10^{14} \text{ Гц},$$

$$\nu_{\min} = 7.495 \cdot 10^{14} \text{ Гц}, \quad \nu_{\text{avg}} = 8.432 \cdot 10^{14} \text{ Гц}.$$

Ширина полосы в терминах частоты равна

$$\Delta\nu = \nu_{\max} - \nu_{\min} \approx 1.874 \cdot 10^{14} \text{ Гц}.$$

Плотность потока излучения для центральной полосы

$$f_{\text{st1}} = 3631 \times 10^{-0.4 \times 15} \text{ Ян} = 3.631 \text{ мЯн} = 3.631 \cdot 10^{-20} \text{ Вт} \cdot \text{Гц}^{-1} \cdot \text{м}^{-2}.$$

Искомое количество фотонов связано с плотностью потока следующим образом (используем следствия о плоском спектре):

$$N_0 \cdot h\nu_{\text{avg}} = \Delta\nu \cdot f_{\text{st1}} \cdot A \cdot \Delta t,$$

где $A = 1 \text{ м}^2$ и $\Delta t = 1 \text{ с}$. Итоговое выражение имеет вид

$$N_0 = \frac{\Delta\nu \cdot f_{\text{st1}} \cdot A \cdot \Delta t}{h\nu_{\text{avg}}} = \frac{1.874 \cdot 10^{14} \times 3.631 \cdot 10^{-20} \times 1 \times 1}{6.626 \cdot 10^{-34} \times 8.432 \cdot 10^{14}} \approx 12180.$$

2. Используя следующие обозначения: Φ — поток от неба и расстояние до звезды (расстояние от звезды до земной поверхности), $\phi_{\text{зв}}$ — поток от звезды. Определим, что

$$\phi_{\text{зв}} = \Phi/\pi = \pi \times (127)^2 / (\pi \times \Phi) = 22.0.$$

Переведём к линейным величинам:

$$m_{\text{зв}} = 22.0^2 + 2.5 \lg \left(\frac{\Phi}{\Phi_{\text{сы}}} \right) = 22.0^2 + 2.5 \lg 22.0 = 26.76^m,$$

Частотный диапазон имеет погрешность 50%.

$$R = \frac{\phi_{\text{зв}}'}{\phi_{\text{сы}}} = \frac{0.5 \phi_{\text{зв}}}{\phi_{\text{сы}}} = 0.5 \cdot 10^{0.4296 \cdot 26.76} \approx 100,$$

3. Число зарегистрированных фотонов равно произведению N_0 , коэффициенту усиления и эффективности приёмника, и также настройке телескопа (поля сканирования МП).

$$N_0 = 12180 \cdot 0.5 \times 0.2 \times \pi \left(\frac{2.0}{1.2} \right)^2 = 1233.7 \approx 1233$$

6.14. Астрофизика

1. Тривиальный вычислитель для детектора с площадью A и квантовой эффективностью α . Число отсчётов в единичном интервале энергии за время t есть

$$C_{\text{кв},A}(E) = F(E) \cdot \alpha A \cdot t = Kt \cdot \alpha A \cdot E^{-2/3},$$

где по условию коэффициент $K = 10$ отсчётов/(нм $^{1/3}$ · м 2 · с).

Результаты решений занесём в таблицу:

Энергия кванта	Вероятность потока (у. е.)	SXT	LANDSAT	СКИ
1	2	80	—	—
3	3.42	27	444	—
10	0.87	—	19.3	8
100	0.42	—	—	3

2. Интенсивность потока фотонов с энергией от $E_{\min} \leq E \leq E_{\max}$

$$\text{DF}(E_1, E_2) = \int_{E_1}^{E_2} \text{DF}(E) dE = \delta^{\text{SXT}}(E) \cdot \tau(E),$$

помимо числа отсчётов, фиксируемых СКТ за определённый

$$C_0 = \alpha A G [E_{\min}^{\text{SXT}}, E_{\max}^{\text{SXT}}] + 1 \text{ для отсчётов } n.$$

Максимальное время экспозиции определяется как время, за которое достигается уровень насыщения:

$$t_s = \frac{C_{\text{max}}^{\text{SXT}}}{C_0} = \frac{15000}{1.695} \approx 9350 \text{ с.}$$

3. Показаны кластерные из восьми счётчиков LCBPC-фотоны на фоне, равнущем SNR = 3; S = 0.025 кэВ. Расчёт производится методом бретта (таблицу, вынутую из него, настичит насыщение счётчиков).

Счётчик	E_{\min} (кэВ)	E_{\max} (кэВ)	$\tau(E)$ (с)	C_0
1	3.0	11.675	1.0	55.8
8	70.875	86.0	1.0	1.1
Всего	3.0	86.0	1.0	57.0

4. Рассчитаем число отсчётов от источника и фону для СКТ, а также наихудшее условие на их отношение (SNR < 3). помимо этого, что математическое описание связана с присутствием зависимостей от времени экспозиции:

$$E(s) = \mathbb{E}\{s\}_n \cdot \frac{t}{t_n},$$

и среднеквадратическое отклонение производимого АД:

$$\sigma(s) = \tau(s) \cdot \sqrt{\frac{T}{t_n}},$$

Определены значения $E(s)$ и $\sigma(s)$:

$$E(s) = 3K(E_{\min}^{\text{SXT}} + \tilde{E}_{\max}^{\text{SXT}}) \cdot t / (t_n + \text{старт}) \text{ отсчётов},$$

$$\sigma(s) = 0.00014 \cdot (\tilde{E}_{\max}^{\text{SXT}} - \tilde{E}_{\min}^{\text{SXT}}) \cdot t / (t_n + \text{старт}) + \sigma^{\text{SXT}} \text{ отсчётов}.$$

Выражение для отношения «сигнал-шум» за время t имеет вид

$$\text{SNR}(t) = \frac{\mathbb{E}\{s\}}{\sigma\{s\}} = \frac{\mathbb{E}\{s\}_0 \cdot t/t_0}{\sigma\{s\}_0 \sqrt{t/t_0}} = \frac{\mathbb{E}\{s\}_0}{\sigma\{s\}_0} \sqrt{\frac{t}{t_0}}.$$

Минимальное время накопления сигнала соответствует $\text{SNR}(t_c) = 3$:

$$\text{SNR}(t_c) = 3 \implies t_c \approx 51 \cdot 10^3 \text{ с.}$$

5. Лучше всего показывает LAXPC:

Инструмент	Число отсчётов	
	до	после
SXT	$1.60 \approx 2$	$1.93 \approx 2$
LAXPC	$51.60 \approx 52$	$61.92 \approx 62$
CZT	$4.26 \approx 4$	$5.11 \approx 5$

6. Линия $\lambda = 0.01825 \text{ нм} = 18.25 \text{ нм}$ соответствует энергии

$$E_\lambda = \frac{hc}{\lambda e} = 67.95 \text{ кэВ.}$$

Фотоны с такой энергией регистрируются счётчиком 7. Чтобы попасть в поле счётачика 6, энергия фотонов должна стать меньше $E'_1 = 60.75 \text{ кэВ}$, для счётачика 8 — больше $E'_2 = 70.375 \text{ кэВ}$. Очевидно, для минимальности модуля лучевой скорости должен реализовываться второй вариант (различные энергии меньше; источник приближается):

$$\lambda' = \frac{hc}{E'_2 e} = 17.62 \text{ нм.}$$

$$v = \left(1 - \frac{\lambda'}{\lambda}\right)c \approx 10.4 \cdot 10^3 \text{ км/с.}$$

Галактики

Не походит ли галактика на сливки в чашке кофе, где каждая сверкающая точка — звезда?

Т. Пратчетт

7.1 Утечка газа

На радиоинтерферометре VLA проведены наблюдения в линии H α дисковой галактики с активным звездообразованием IRAS 08334+6517, находящейся на расстоянии 80.2 Мпк. Угол наклона её оси к лучу зрения составляет около 23°. Наблюдаемая лучевая скорость газа на расстоянии 7.8 кпк от её центра составляет 5850 км/с; по претерпевшим голубое смещение линиям межзвездного поглощения на фоне континуума звездного излучения здесь обнаружено истечение газа.

1. Вычислите скорость вращения галактики v_c и скорость убегания v_e для пробной частицы в газовом потоке на радиусе 7.8 кпк.
2. Определите, может ли истекающий газ на данном радиусе преодолеть гравитацию галактики, используя данные рис. 7.2.



Рис. 7.1. Вид «сбоку»

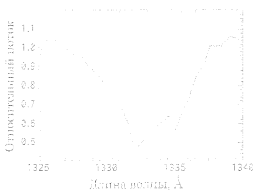


Рис. 7.2. Спектрометрия линий поглощения С II λ 1335, исправленная на космологический эффект (Сапков et al.)

7.2. Dark Matter

В состав галактики входит 70 спиральных и 30 эллиптических галактик. Абсолютная блескнова звездного ядра галактики -19^m , отношение массы-светимости составляет 18%. Гравитационная энергия галактики ~ 210 км с при соответстви $\sim 7 \times 10^{11}$ км.

Оцените поток тёмной материи внутри скопления, если радиус линии постоянного газа на периферии превышает 10^5 км, а средняя квадратичная скорость галактик достигает 10^3 км с, а разброс константы ~ 7 Мёд.

7.3. Теорема Рыбака

При наблюдении галактики, находящейся на расстоянии $R = 90$ Мпк и изображающейся «с ребра», было обнаружено, что соотношение максимального и минимального смещения некомпьютерных относительно лабораторного взгляда составляет 1,15. Преизлучение некомпьютерной скоростью этой галактики, оцените её абсолютную величину либо свою величину.

7.4. Энергия вакуума

Определите изменение плотности энергии радиоактивного излучения (температура $T \approx 3$ К) к плотности энергии излучения при изменении стечения концентрации $n \sim 10^{-10}$.

7.5. Галактика Вселенной

Современные значения параметра плотности — предельная плотность к критической плотности Вселенной ρ_c — для известных и изученных соответственно разны $\Omega_m = 0,3$ и $\Omega_\Lambda = 16\%$.

1. Определите значение красного смещения z_1 , при котором плотности излучения вещества и излучения совпадают.
2. Оцените температуру T_e и характерную энергию фotonов потенциального излучения ε_e , соответствующую эпохе с красным смещением z_1 .

7.6. Поганка и Ниц

В радиотелескопе наблюдаются два абсолютно чёрных объекта с одинаковыми физическими характеристиками. Один движется по орбите звезда, а другой — в галактике с красным смещением $z = 0,1$. Изменение спектральных плотностей спектров излучения четырех других объектов регистрируют наблюдатели и получают из познаний чистого и их спектростей, и разделяют на следующее расположение по объектам.

7.7 Обзорная 21 см

Радиотелескоп оборудован приёмником излучения, способным принимать излучение в диапазоне частот от 1.32 до 1.52 ГГц. Для тиничной галактики в рамках приводимого обзора сметимость в линии H α составляет 10^{12} Вт при ширине линии 1 МГц и лабораторной частоте 1.42 ГГц. Прелет чувствительности приёмника составляет 0.5 мЯн за 1 минуту накопления сигнала в луче диаграммы направленности, причём луч достаточно широк, чтобы область излучения H α датчика галактики можно было считать точечным источником. Галактика с каким наибольшим красным смещением z может быть зарегистрирована на данном радиотелескопе, если время накопления сигнала составляет 1 минуту?

Решебник

7.1. Галактика газа

1. Скорость v_s космологического туманения "Скоп" для определения скользящей скорости можно определить по закону №66, т.е.

$$v_s = 68 \text{ км/с} / \text{Мпк} \times 80.2 \text{ Мпк} = 5450 \text{ км/с}$$

Найденная скользящая скорость v_s складывается из систематической скорости удаления и скорости вращения галактики v_r , с учётом угла наклона оси галактики к лучу зрения i :

$$v_r = v_s + v_r \sin i,$$

$$v_r / v_s = \frac{v_r - v_s}{\sin i} = \frac{(5850 - 5450) \text{ км/с}}{\sin 23^\circ} = 1020 \text{ км/с}.$$

В результате получим, в которой преобразует формулы для предположения о теореме верности ДНД динамического метода изображения звёздных спиральных галактик:

$$\text{ДНД} = \frac{G M}{R} \quad \Rightarrow \quad v_r = \sqrt{\frac{2 G M}{R}} \approx 115 \cdot \sqrt{\frac{M}{R}} = 115 \cdot 0.01 \text{ км/с}.$$

2. Начнём с определения скорости истечения газа на основе свидетельств о доплеровском смещении линии поглощения:

$$\frac{\Delta \lambda}{\lambda} = \frac{|\Delta \lambda|}{\lambda},$$

На основании обозначений линии С II 1335 натропно соотнести с ней лабораторную линию поглощения $\lambda = 1335 \text{ \AA}$ и определить величину её смещения:

$$\Delta \lambda = \frac{\lambda - \lambda_0}{\lambda_0} \cdot \lambda = 3 \cdot 10^7 \text{ км/с} \times \frac{1335 - 1332}{1335} = 900 \text{ км/с}.$$

Это значение оказывается вдвое меньшим величины, ранее скользящей скорости звёзды. Таким образом, рассматриваемый звезды пока не способен притянуть галактику.

7.2 Dark Matters

Определим светимость и массу эллиптической галактики по данным абсолютной звёздной величины и соотношению масса-светимость:

$$L_E = 10^{0.4(M - M_0)} \cdot L_\odot = 10^{0.4(4.8 - 20)} \cdot L_\odot \approx 8 \cdot 10^9 L_\odot,$$

$$\mathfrak{M}_E = 8 \cdot 10^9 L_\odot \times (15 \mathfrak{M}_\odot / L_\odot) \approx 1.2 \cdot 10^{11} \mathfrak{M}_\odot.$$

Для спиральных галактик выполняется соотношение Таллы-Финиера, связывающее светимость и скорость вращения: $L \propto v^4$. Светимость Млечного Пути рассчитаем из известного значения абсолютной звёздной величины, чтобы затем определить светимости спиральных галактик скопления и их массы:

$$L_{MW} = 10^{0.4(M - M_{MW})} \cdot L_\odot = 10^{0.4(4.8 - 21.5)} \cdot L_\odot \approx 3 \cdot 10^{10} L_\odot;$$

$$L_S = L_{MW} \cdot \left(\frac{V_{rot}}{V_{MW}} \right)^4 = \left(\frac{210}{240} \right)^4 \times 3 \cdot 10^{10} L_\odot \approx 1.8 \cdot 10^{10} L_\odot,$$

$$\mathfrak{M}_S = 1.8 \cdot 10^{10} \times (5 \mathfrak{M}_\odot / L_\odot) \approx 9 \cdot 10^{10} \mathfrak{M}_\odot.$$

Суммарная масса галактик оказывается равной

$$\mathfrak{M}_G = 30 \mathfrak{M}_E + 70 \mathfrak{M}_S =$$

$$= 30 \times 1.2 \cdot 10^{11} \mathfrak{M}_\odot + 70 \times 9 \cdot 10^{10} \mathfrak{M}_\odot \approx 1 \cdot 10^{12} \mathfrak{M}_\odot.$$

С другой стороны, из теоремы виртуала получаем оценку динамической массы скопления:

$$\mathfrak{M}_V \approx \frac{v^2 R}{G} = \frac{10^3 \text{ км/с} \times 3.5 \text{ Мпк}}{G} \approx 8 \cdot 10^{14} \mathfrak{M}_\odot.$$

Поскольку масса межзвёздного газа на порядок превышает массу галактик, то суммарная масса галактик и газа оказывается порядка $10 \mathfrak{M}_G \approx 1 \cdot 10^{14} \mathfrak{M}_\odot$, а доли тёмной материи

$$\eta_{DM} \approx 1 - \frac{10 \mathfrak{M}_G}{\mathfrak{M}_V} \approx 1 - \frac{1 \cdot 10^{14}}{8 \cdot 10^{14}} = \frac{7}{8} \approx 90\%.$$

Упражнение.

Определите значение отношения масса-светимость для скопления в целом, сравнивте со значением для эллиптической галактики.

7.3 Теорема Рыбака

Рассчитаем скорость удаления галактики по закону Хаббла:

$$V_H = HR = 68 \text{ (км/с)/Мпк} \times 90 \text{ Мпк} \approx 6100 \text{ км/с} \ll c.$$

На одном краю галактики скорость её приватального движения направлена к нам, на другом — от нас. Определим эту скорость V_{rot} из отношения донлеровских смещений

$$k \equiv \frac{(\Delta\lambda)_{\text{ макс}}}{(\Delta\lambda)_{\text{ мин}}} = \frac{V_H + V_{\text{rot}}}{V_H - V_{\text{rot}}} = 1.15;$$

$$V_{\text{rot}} = V_H \cdot \frac{k-1}{k+1} = 6100 \text{ км/с} \times \frac{0.15}{2.15} \approx 430 \text{ км/с.}$$

Взяв в качестве эталона для сравнения Млечный Путь ($V_{\text{MW}} = 240 \text{ км/с}$, $M_{\text{MW}} = -21.5^m$), используем соотношение Талли — Фишера:

$$\frac{L}{L_{\text{MW}}} = \left(\frac{V_{\text{rot}}}{V_{\text{MW}}} \right)^2 = \left(\frac{430}{240} \right)^2 \approx 10.$$

$$\therefore M = M_{\text{MW}} - 2.5 \lg 10 \approx -21.5^m - 2.5^m = -24^m.$$

Упражнения.

- Показатель степени в законе Талли — Фишера зависит от фотометрической полосы. Оцените абсолютную звёздную величину галактики в полосе В, если показатель степени для данной полосы равен 3. Абсолютная звёздная величина Млечного Пути в полосе В равна -20.7^m .
- Найдите функциональную зависимость показателя извета галактики от скорости её приватного движения: $B-V = f(V_{\text{rot}})$.
- Оцените хабблонское покрасление галактик $\Delta B - V$.

7.4 Энергия вакуума

Зная концентрацию протонов и их массу m_p , не трудно вычислить их плотность энергии покоя^{**}:

$$w_p = pm_p c^2 \approx 1 \text{ м}^{-3} \times 938 \text{ МэВ} = 9.4 \cdot 10^{30} \text{ эВ/м}^3 \approx 1.5 \cdot 10^{-10} \text{ Дж/м}^4.$$

Реликтовое излучение является чернотельным и подчиняется закону Стефана — Больцмана. Рассмотрим малую абсолютно чёрную плоскадку

* Галактики с такими высокими скоростями трансформации линий света могут существовать, так, галактика UGC 12591, одна из наиболее массивных спиральных галактик, имеет скорость вращения около 500 км/с.

** Под энергией покоя вещества здесь, конечно, понимается эквивалент его массы $E = mc^2$.

плоскостью δs , находящуюся в термодинамическом равновесии с фотонным газом. Пусть средняя энергия фотона равна \bar{e}_y , соответствующая концентрация фотонов — n_y . В единицу времени на площадку падают и поглощаются (по аналогии с известным результатом из МКТ)

$$N = \frac{1}{4} n_y c \cdot \delta s$$

фотонов, что соответствует мощности

$$P = \bar{e}_y N = \frac{1}{4} w_y c \cdot \delta s,$$

где $w_y = n_y \bar{e}_y$ — плотность энергии излучения. Для площадки справедливо следующее условие теплового равновесия:

$$P = \frac{1}{4} w_y c \cdot \delta s \cdot dt = \sigma T^4 \cdot \delta s \cdot dt.$$

$\frac{\text{излучение}}{\text{излучение}}$

$$\therefore w_y = \frac{4\sigma T^4}{c} = \frac{4 \times 3^4 \times 5.67 \cdot 10^{-8} \text{ Дж/(с} \cdot \text{м}^2)}{3 \cdot 10^8 \text{ м/с}} \approx 6 \cdot 10^{-14} \text{ Дж/м}^3;$$

$$\frac{w_y}{w_p} = \frac{6 \cdot 10^{-14}}{1.5 \cdot 10^{-19}} \approx 4 \cdot 10^5.$$

7.5 Ранняя Вселенная

По Фридману, расширение Вселенной описывается масштабным фактором $a = a(t)$, так что в момент времени t расстояние $r(t) = a(t)r_0$. Понятно, что плотность вещества

$$\rho_m \propto n \propto a^{-3},$$

где n — концентрация частиц.

При расширении Вселенной изменяется не только концентрация фотонов, но и соответствующее яркость волн: $\lambda(t) = a(t)\lambda_0$, так что для излучения

$$\rho_r \propto n/\lambda \propto a^{-4},$$

Для красного смещения имеем по определению

$$z = \frac{\lambda(t_0) - \lambda(t)}{\lambda(t)} = \frac{1 - a(t)}{a(t)} = \frac{1}{a(t)} - 1;$$

$$a(t) = (1 + z)^{-1}.$$

Полученное соотношение связывает между собой соответствующую величину кристаллу стяжением σ и масштабный фактор этой стяжки.

Степенью свободой энергии вещества в твердом теле в момент времени t , таким образом, есть

$$\frac{\rho_{\text{ст}}(t)}{\rho_{\text{ж}}(t)} = \frac{\rho_{\text{ст}}(t_0) \cdot a^{3/2}(t)}{\rho_{\text{ж}}(t_0) \cdot a^{3/2}(t)} = \frac{\Omega_{\text{ст}}(t_0)}{\Omega_{\text{ж}}(t_0)} \cdot \eta(t) = \frac{1}{1 + z(t)} \cdot \eta(t), \quad (7.1)$$

Для приложения η достаточно привести соотношение (7.1) к единице, получив, следующее выражение

$$z_v = \frac{\Omega_{\text{ст}}}{\Omega_{\text{ж}}} - 1 \approx \frac{\Omega_m}{\Omega_{\text{ж}}} = \frac{0.3}{10^{-3}} = 3 \cdot 10^3,$$

2. Согласно закону Стефана – Болцмана, плотность энергии излучения пропорциональна четвёртой степени температуры

$$\left\{ \begin{array}{l} \rho_{\text{ж}} \propto T^4, \\ \rho_{\text{ст}} \propto A^{3/2} \end{array} \right. \Rightarrow T \propto a^{1/4} \propto \tau$$

$$\tau_0 \cdot T_0 = 1 + z_v \cdot T_0 \approx 2.7 \text{ К} \times 10^3 \approx 3 \cdot 10^3 \text{ К}.$$

Получим выражение для кванта энергии фотона.

Способ 1. Радиационное излучение — это фotonная энтр.

$$E_v \propto k_B T_v = 1.38 \cdot 10^{-23} \text{ Дж/К} \times 3 \cdot 10^3 \text{ К} \approx 4 \cdot 10^{-20} \text{ Дж} = 4.7 \text{ эВ.}$$

Способ 2. Характерную длину волны радиационного фотона получим, используя закон Вина:

$$\lambda_v = \frac{b}{T_v} = \frac{2900 \text{ мкм} \cdot \text{К}}{3 \cdot 10^3 \text{ К}} \approx 360 \text{ нм.}$$

Характерные волны уже нетрудно рассчитать аналогично

$$\lambda_v = \frac{b}{T_v} = \frac{6.63 \cdot 10^{-31} \text{ Дж} \cdot \text{с} \times 3 \cdot 10^3 \text{ м/с}}{360 \cdot 10^{-9} \text{ м}} \approx 5.6 \cdot 10^{-7} \text{ Дж} = 5.3 \text{ нм.}$$

Задачи

1. Объясните принципиальность применения сплошной модели к кристаллическому решению в 100 раз?
2. Проверьте закон радиации Вина, получите выражение для кванта излучения, выраженного через T , где κ — балансировочный коэффициент как функция от температуры.

7.6. Потока в Ваке

Такое расстояние,ное на орбите Земли, достаточно горяче, чтобы излучение было невозможно для поглощения и распространения звезды Радио – Лампса, который определяет спектральную плотность излучения – его излучения при частоте ν и температуре T с единицей поверхности (в предположении полного излучения):

$$f = f(\nu) = \frac{2\pi\nu^3}{c^2} k_B T.$$

С обратной теперь в удалённому телу. Применим же в принципе частоту $\nu_0 = \delta\nu$ излучение было на самом деле получено им в диапазоне $(1+z) \pm \delta z(1+z)$. Соответствующая спектральная плотность излучения

$$f' = \frac{f(\nu + \delta\nu)}{\delta\nu} = \frac{2\pi\nu_0^3(1+z)^3}{c^2} k_B T \cdot (1+z) = f(1+z)^3.$$

Пускай фотона были получены в момент времени t_0 и приняты в момент времени t . За время распространения излучения фотон «израсходовал» светимость увеличилась и «наработал» излучение между фотонами. Если светимость источника равна E , то соответствующая излученность равна в таком случае

$$F = \frac{E}{4\pi r_0^2} \cdot \frac{dt}{d(t-t_0)} = \frac{E}{4\pi r^2} \cdot \frac{1}{1+z}.$$

Но $r = r_0$ – расстояние в момент приёма излучения. Таким образом, притом, что же к текущему расстоянию до объекта r – системой есть

$$L = 4\pi r_0^2 E \cdot (1+z)^2 \approx (1+z)^3.$$

Отношение спектральных плотностей излучения и «приведённых» светимостей далёкого и ближнего источника равно соответственно

$$\frac{f'}{f} = \frac{f_0}{f_0} \approx (1+z)^3 \approx 1+3z = 1.3,$$

$$\frac{L}{L_0} = (1+z)^3 \approx 1+2z = 1.2.$$

Далее всё просто: получаем курс!

При этом вспомним, что излучение из звезды имеет температуру T , а излучение из звезды L – светимость L .

7.7 Обозрение 21 см

Действие первое. Рассмотрим только интервал частот, в котором приёмник телескопа может зарегистрировать излучение. Предельное красное смещение соответствует сдвигу частоты линии $v_0 = 1.42 \text{ ГГц}$ на край $v = 1.32 \text{ ГГц}$ этой полосы:

$$z_1 = \frac{v_0}{v} - 1 = \frac{1.42}{1.32} - 1 \approx 0.076.$$

Действие второе. Оценим теперь предельное значение красного смещения, используя информацию о пределе чувствительности приёмника. Поскольку $z_1 \ll 1$, будем использовать неравенство приближение. Расстояние до галактики на красном смещении z :

$$d = \frac{cz}{H_0},$$

Выразим плотность потока излучения в спектральной линии НI через светимость галактики L в этой линии, расстояние до неё d и ширину линии Δv :

$$\Phi = \frac{L}{4\pi d^2} \cdot \frac{1}{\Delta v} = \frac{L H_0^2}{4\pi c^2 \Delta v} \cdot z^{-2}. \quad (7.2)$$

Получившаяся величина потока должна превосходить чувствительность данного приёмника:

$$\Phi > \Phi_c = 0.5 \cdot 10^{-3} \text{ Ян} = 0.5 \cdot 10^{-29} \text{ Вт/м}^2 \cdot \text{ГГц}.$$

Следовательно,

$$\begin{aligned} z_2 &= \frac{H_0}{c} \sqrt{\frac{L}{4\pi \Phi_c \Delta v}} = \\ &= \frac{68 \text{ (км/с)/Мпк}}{3 \cdot 10^5 \text{ км/с}} \times \sqrt{\frac{10^{21} \text{ Вт}}{4\pi \times 10^6 \text{ ГГц} \times 0.5 \cdot 10^{-29} \text{ Вт/(м}^2 \cdot \text{ГГц)}}} = \\ &= 2.86 \cdot 10^{21} \text{ м/Мпк} = \frac{2.86 \cdot 10^{21}}{3.08 \cdot 10^{23} \times 10^5} = 0.093. \end{aligned}$$

Действие третье, уточняющее. Повторяя рассуждения, приведённые в решении предыдущей задачи, можно прийти к выводу, что, во-первых, ширина полосы, принимаемой радиотелескопом на Земле, отличается от излучающей галактикой, и равна

$$\Delta v' = \frac{\Delta v}{1+z}.$$

во-вторых, выражение (7.2) подлежит коррекции на космологические эффекты. В классической фридмановской модели такая коррекция соответствует замене

$$\Phi \mapsto \frac{\Phi}{(1+z)^3},$$

Таким образом,

$$\Phi' = \frac{LH_\nu^2}{4\pi c^2 \Delta\nu'} \cdot z^{-2} \cdot (1+z)^{-2} = \frac{LH_0^2}{4\pi c^2 \Delta\nu} \cdot \frac{1}{z^2(1+z)} > \Phi_c$$

$$(z'_2)^2 (1+z'_2) = z_2^2 \quad \Longrightarrow \quad z'_2 = 0.089.$$

Заключение. Более ограничение на красное смещение галактики накладывает полученная в первом действии оценка, обусловленная границей полосы приёма радиотелескопа: $z_{\max} = z_1 = 0.076$.

Справочные данные

§1 Физические и астрономические постоянные

Скорость света в вакууме	c	= $2.998 \cdot 10^8 \text{ м} \cdot \text{с}^{-1}$
Гравитационная постоянная	G	= $6.674 \cdot 10^{-11} \text{ Н} \cdot \text{м}^2 \cdot \text{кг}^{-1} \cdot \text{с}^{-2}$
Постоянная Планка	\hbar	= $6.626 \cdot 10^{-34} \text{ Дж} \cdot \text{с}$
Элементарный электрический заряд	e	= $1.602 \cdot 10^{-19} \text{ Кл}$
Постоянная Больцмана	k_B	= $1.381 \cdot 10^{-23} \text{ Дж} \cdot \text{К}^{-1}$
Ускорение свободного падения на поверхности Земли (стандартное)	g	= $9.806 \text{ м} \cdot \text{с}^{-2}$
Электрическая постоянная	ϵ_0	= $8.854 \cdot 10^{-12} \text{ Ф} \cdot \text{м}^{-1}$
Магнитная постоянная	μ_0	= $12.566 \cdot 10^{-7} \text{ Гн} \cdot \text{м}$
Постоянная тонкой структуры	α	= $7.297 \cdot 10^{-3} \approx 1/137$
Атомная единица массы (плутон)	1 Да	= $1.661 \cdot 10^{-27} \text{ кг}$
Электрон-волты	1 эВ	= $1.602 \cdot 10^{-19} \text{ Дж}$
Боровский радиус	r_B	= $0.529 \cdot 10^{-10} \text{ м}$
Постоянная Авогадро	N_A	= $6.022 \cdot 10^{23} \text{ моль}^{-1}$
Универсальная газовая постоянная	R	= $8.314 \text{ Дж} \cdot \text{моль}^{-1} \cdot \text{К}^{-1}$
Стандартная атмосфера	1 атм	= 101325 Па
Молярный объём идеального газа при нормальных условиях	V_m	= $22.414 \cdot 10^{-3} \text{ м}^3 \cdot \text{моль}^{-1}$
Градус Цельсия	[°C]	* [K] = 273.15
Постоянная Стефана - Больцмана	σ	= $5.67 \cdot 10^{-8} \text{ Вт} \cdot \text{м}^{-2} \cdot \text{К}^{-4}$
Постоянная Вина	b	= $2.898 \cdot 10^{-3} \text{ м} \cdot \text{К}$
Астрономическая единица длины	1 а. е.	= $149.6 \cdot 10^6 \text{ км} = 499 \text{ с} \cdot \text{с}$
Радиус Земли экваториальный	R_\oplus^e	= 6378 км
Радиус Земли полярный	R_\oplus^p	= 6357 км
Радиус Земли средний	R_\oplus	= 6371 км
Наклон экватора Земли к эклиптике	ε	= 23.44°
Световой год	1 ly	= $9.46 \cdot 10^{15} \text{ м}$
Парсек	1 парсек	= $206265 \text{ а. е.} = 3.26 \text{ ly}$
Постоянная Хаббла	H_0	= $68 \text{ км} \cdot \text{с}^{-1} \cdot \text{Мик}^{-1}$

D2 Единицы измерения

Величина	СИ	СГС*
Длина	метр	10^{-3} м = 1 см (сантиметр)
Масса	килограмм	10^{-3} кг = 1 г (грамм)
Сила	ньютон	10^{-5} Н = 1 дин (динам)
Работа, энергия	дюйль	10^{-7} Дж = 1 эрг
Мощность	ватт	10^{-7} Вт = 1 эрг·с ⁻¹
Давление	паскаль	10^{-1} Па = 1 дин·см ⁻²
Сила тока	ампер	10^{-1} А
Электрический заряд	кулон	10^{-1} Кл
Электрический потенциал	вольт	10^{-8} · с В
Электрическая напряжённость	В·м ⁻¹	10^{-9} · с В·м ⁻¹
Электрическое сопротивление	ом	10^{-9} · с ² Ом
Электрическая ёмкость	фарад	10^7 · с ² Ф
Магнитная напряжённость	А·м ⁻¹	$10^3 / 4\pi$ А·м ⁻¹ = 1 Т (эрстед)
Магнитная индукция	тесла	10^{-1} Тл = 1 Гс (тесла)
Магнитный поток	ебер	10^{-8} Вб = 1 Микс (Максвелл)
Индуктивность	генри	10^{-9} · с ² Гн
Яркость	кд·м ⁻²	10^4 кд·м ⁻² = 1 сб (струбц)
Время		секунда (с)
Сила света		кандела (кд)
Световой поток		люмен (лм)
Освещённость		люкс (лк)

Приставка	Prefix	×	Приставка	Prefix	×			
юнта (Й)	Yotta	(Y)	10^{24}	дэзи	(д)	deci	(д)	10^{-1}
зетта (З)	Zetta	(Z)	10^{21}	санти	(с)	centi	(с)	10^{-2}
экса (Э)	Exa	(E)	10^{18}	милли	(м)	milli	(м)	10^{-3}
пста (П)	Peta	(P)	10^{15}	микро	(мк)	micro	(мк)	10^{-6}
тера (Т)	Tera	(T)	10^{12}	нано	(н)	nano	(н)	10^{-9}
гига (Г)	Giga	(G)	10^9	пико	(п)	pico	(п)	10^{-12}
мега (М)	Mega	(M)	10^6	фемто	(ф)	femto	(ф)	10^{-15}
кило (к)	kilo	(к)	10^3	атто	(а)	atto	(а)	10^{-18}
текто (т)	hecto	(т)	10^2	пепто	(п)	zepto	(з)	10^{-21}
дека (да)	deca	(да)	10^1	юкто	(ю)	yocto	(ю)	10^{-24}

* $c = 29\ 979\ 245\ 800 \approx 3 \cdot 10^{10}$ - числовое значение скорости света в СГС.

Величина	СИ	Единственная единица	
Длина	метр	1 морская миля	= 1852 м
		1 ярд	= 0,9144 м
		1 фут	= 30,48 см
		1 дюйм	= 25,4 мм
		1 ангстрем	= 10^{-10} м
Масса	килограмм	1 тонна	= 1000 кг
		1 фунт	= 453,592 г
		1 унция	= 31,1 г
Работа, энергия	Джоуль	1 калория	= 4,1868 Дж
Площадь	м ²	1 гектар	= 10^4 м ²
Объем	м ³	1 литр	= 10^{-3} м ³
Температура	К	[T]	= (9/5) · [°C] + 32
Плотность потока излучения	Вт · м ⁻² · Гц ⁻¹	1 линейной	= 10^{12} Вт · м ⁻² · Гц ⁻¹

D3 Измерение углов

1°	$1'$	$1''$	$1^{\prime\prime}$	$1^{\prime\prime\prime}$	$1^{\prime\prime\prime\prime}$	$1^{\prime\prime\prime\prime\prime}$	рад	1°	$1^{\prime\prime}$	$1^{\prime\prime\prime}$	$1^{\prime\prime\prime\prime}$	ср
$\frac{1}{1}$	$\frac{1}{60}$	$\frac{1}{3600}$	$\frac{1}{60}$	$\frac{1}{3600}$			1°	$1'$	$1''$	$1'''$	$1''''$	
$1'$	$\frac{1}{60}$						1°	$1'$	$1''$	$1'''$	$1''''$	5600
$1''$	15	$9,00$	1	60	3600							
$1'''$		15	900	1	60							
$1''''$			15		1							
рад	$57,26$	3438	206265				1	ср	3283			1
об.	360			24	1440	86400	2π	сф.	41253			4π

D4 Элементарные частицы

Название	Энергия покоя	Заряд	Спин
Фундаментальные блоки			
Фотон	0	0	1
Протон	0	0	1
W-бозон	$80,4$ ГэВ	± 1	1
Z-бозон	$91,2$ ГэВ	0	1
Бозон Хиггса	125 ГэВ	0	0

Название	Энергия покоя	Заряд	Спин	
<i>Фундаментальные фермионы</i>				
Электрон e	0.51 MeV	-1	1/2	
Электронное нейтрино ν_e	< 2.3 eV	0	1/2	
u -кварк	2.4 MeV	2/3	1/2	
d -кварк	4.8 MeV	-1/3	1/2	
Мюон μ	105.7 MeV	-1	1/2	
Мюонное нейтрино ν_μ	< 1.7 MeV	0	1/2	
s -кварк	164 MeV	2/3	1/2	
c -кварк	1.27 GeV	-1/3	1/2	
Тау-лектон τ	1.7 GeV	-1	1/2	
Тау-нейтрино ν_τ	< 15.5 MeV	0	1/2	
t -кварк	172.4 GeV	2/3	1/2	
b -кварк	4.2 GeV	-1/3	1/2	
<i>Некоторые составные частицы</i>				
Протон p^+	uud	938.2 MeV	+1	1/2
Нейтрон n	udd	939.5 MeV	0	1/2
Ион π^\pm, π^0	$u\bar{d}, d\bar{u}, u\bar{u} + d\bar{d}$	$134 \div 139$ MeV	± 1	0
Каон K	$u\bar{s}, d\bar{s}, \frac{ds \pm sd}{\sqrt{2}}$	$494 \div 498$ MeV	± 1	0

D5 Формулы сферической тригонометрии



Сфери́ческая теоре́ма синусо́в

$$\frac{\sin \alpha}{\sin A} = \frac{\sin \beta}{\sin B} = \frac{\sin \gamma}{\sin C};$$

Сфери́ческая теоре́ма косину́сов

$$\cos a = \cos b \cos c + \sin b \sin c \cos A;$$

$$\cos A = -\cos B \cos C + \sin B \sin C \cos a;$$

Формула пятнадцати элементов

$$\sin a \cos C = \sin b \cos c - \cos b \sin c \cos A;$$

$$\sin A \cos c = \sin B \cos C + \cos B \sin C \cos a.$$

Д6 Параметры орбит больших планет

	Большая полуось, а.е.	Эксцентриситет	Наклонение к эклиптике	Период обращения
☿ Меркурий	0.3871	0.2056	7.004°	87.97 сут.
♀ Венера	0.7233	0.0068	3.394°	224.70 сут.
⊕ Земля	1.0000	0.0167	0.000°	365.26 сут.
♂ Марс	1.5237	0.0934	1.850°	686.98 сут.
♃ Юпитер	5.2028	0.0483	1.308°	11.862 лет
♄ Сатурн	9.5388	0.0560	2.488°	29.458 лет
♅ Уран	19.1914	0.0461	0.774°	84.01 лет
♆ Нептун	30.0611	0.0897	1.774°	164.79 лет

Д7 Физические характеристики Солнца и планет

	Масса, кг	Радиус, 10^3 км	Период вращения	Наклон оси вращения	Альбедо
Солнце	$1.989 \cdot 10^{30}$	697	25.38 сут.	7.25°	
Меркурий	$3.302 \cdot 10^{23}$	2.44	58.65 сут.	0.80°	0.10
Венера	$4.869 \cdot 10^{24}$	6.05	243.02 сут.	177.36°	0.65
Земля	$5.974 \cdot 10^{24}$	6.37	23.93 ч	23.44°	0.37
Марс	$6.119 \cdot 10^{23}$	3.40	24.62 ч	23.19°	0.15
Юпитер	$1.899 \cdot 10^{27}$	71.5	9.92 ч	3.13°	0.52
Сатурн	$5.683 \cdot 10^{26}$	60.3	10.66 ч	25.33°	0.47
Уран	$8.683 \cdot 10^{25}$	25.6	17.24 ч	97.86°	0.51
Нептун	$1.024 \cdot 10^{26}$	24.7	16.11 ч	28.31°	0.41

Д8 Характеристики карликовых планет

	Масса, кг	Диаметр, 10^3 км	Большая полуось, а.е.	Эксцентриситет
Цереро	$9.4 \cdot 10^{20}$	0.95	2.77	0.079
Плутон	$1.3 \cdot 10^{22}$	2.24	39.48	0.249
Хаумеа	$4 \cdot 10^{21}$	1.63	43.13	0.193
Макемаке	$3 \cdot 10^{21}$	1.42	45.79	0.159
Эрида	$1.7 \cdot 10^{21}$	2.33	67.67	0.442

159. Характеристики спутников близких к Земле

	Масса, кг	Радиус, км	Весовая силы, кг (981-950)	Гравити- ровка
Земля				
Луна	$7,54 \cdot 10^{22}$	1737	1,004	0,055
<i>Марс</i>				
Фобос	$1,07 \cdot 10^{13}$	11,3	9,38	0,015
Кейнон	$1,48 \cdot 10^{13}$	6,2	23,46	0,000
<i>Юпитер</i>				
Ио	$8,93 \cdot 10^{22}$	1819,1	121,8	0,004
Европа	$4,80 \cdot 10^{22}$	1569,7	87,1	0,003
Ганимед	$1,48 \cdot 10^{23}$	2634,1	170,4	0,001
Каллисто	$1,08 \cdot 10^{23}$	2408,4	155,3	0,002
<i>Сатурн</i>				
Энцелад	$1,08 \cdot 10^{22}$	252,3	2,28,4	0,005
Титан	$6,17 \cdot 10^{22}$	536,3	29,4,7	0,004
Иоанн	$1,09 \cdot 10^{22}$	562,5	37,7	0,002
Рей	$2,31 \cdot 10^{21}$	764,5	52,7	0,001
Титан	$1,35 \cdot 10^{23}$	2575,5	122,7	0,020
Янтарь	$1,81 \cdot 10^{22}$	734,5	3,56,1	0,029
Феба	$8,29 \cdot 10^{18}$	186,6	1,09,18	0,156
<i>Уран</i>				
Мимас	$6,59 \cdot 10^{19}$	235,8	1,29,9	0,003
Арион	$1,35 \cdot 10^{21}$	578,9	196,9	0,001
Умбриэль	$1,17 \cdot 10^{21}$	584,7	186,7	0,004
Гиперион	$3,38 \cdot 10^{21}$	786,9	4,96,8	0,001
Оберон	$3,01 \cdot 10^{21}$	763,4	5,83,5	0,001
<i>Нептун</i>				
Тритон	$2,14 \cdot 10^{22}$	1353,1	3,81,8	0,006
Нерона	$3 \cdot 10^{22}$	170	3,54,1	0,754

Д10 Исполнение времени

	с	м	ч	сут.	неделя	месяц	год	век
с	1							
м	60	1						
ч	3600	60	1					
сут.	86400	1440	24	1				
неделя		10080	168	7	1			
месяц ^{**}			720	30	[4]	1		
год ^{***}	$3.16 \cdot 10^7$			365.25	[52]	12	1	
век						1200	100	1
				СУТКИ	МЕСЯЦ	ГОД		
сидерические		23 ^b 56 ^m 04 ^s		27.3217 сут.	365.2564 сут.			
синодические		24 ^b 00 ^m 00 ^s		29.5306 сут.	-			
тропические		-		27.3216 сут.	365.2422 сут.			
зракономические		-		27.2122 сут.	-			
аномалистические		-		27.5546 сут.	365.2596 сут.			

Уравнение времени

$$\eta \equiv \text{ССВ} - \text{МСВ} \approx 7.53^{10} \cos \alpha_{\odot} + 1.50^{10} \sin \alpha_{\odot} - 9.87^{10} \sin 2\alpha_{\odot}$$

^{**} Средний календарный^{***} При исчислении срока в один год (изменение периодов обращения небесных тел, полураствор долгоживущих радиоизотопов определение системного года и т.п.) используется григорианский год

ОГИ Ярчайшие звезды земного неба

Наименование	Расстояние, лс.	Вид		Степень	
		М	В		
Сириус	-	+26,7	-1,4	-2*	
Сириус	α Сириус	2,5	+1,5	1,0	ном. к № 642
Канопус	α Сар	95	+0,7	+3,5	1,0**
Тотмоз	α Сен	1,4	+0,3	+1,1	1,2** Б.**
Альгир	α Рак	11,8	+0,2	+1,5	1,2**
Бета	β Лун	7,7	0,0	-0,8	2,0**
Еланетра	α Авр	12,0	0,1	-0,5	2,0** Б.**
Ригель	β Ори	264	0,1	-1*	3,0**
Проксима	ε Цент	3,4	0,3	-1,0	3,0**
Асеритар	ε Тре	42,9	0,8	+1,0	3,0**
Бетельгейзе	α Ори	150	0,5	+3,3	3,0** Б.**
Хадар	γ Сен	107	0,6	-0,6	4,0**
Альдамир	α Аql	5,2	0,8	-2,3	4,0**
Альраке	α Стр	64	0,8	-2,8	4,0** Б.**
Альяндрин	α Тав	19,5	0,1	-0,0	4,0**
Альтарес	α Бео	184	1,0	-3,2	4,0** Б.** Б.**
Синка	α Вир	79,7	1,0	-3,2	4,0** Б.** Б.**
Ноэлькус	β Гем	18,4	1,1	-0,7	4,0**
Фомальхут	ε Рак	7,5	1,2	-1,0	4,0**
Мимоза	γ Стру	107	1,8	-1,7	5,0** Б.**
Денеб	ε Сиг	791	1,3	-2,2	5,0**
Регул	α Лео	23,6	1,3	-0,3	5,0**
Альфа	ε ЦМа	122	1,5	-1,9	5,0**
Кастор	ε Гем	15,8	1,7	-0,5	5,0** Б.**
Лицун	λ Сев	215	1,6	-0,5	5,0**
Гарукс	γ Стру	27,0	1,6	-1,2	5,0**
Белантрикс	γ Ори	73,6	1,6	-1,1	5,0**
Это-Наг	β Тре	26,9	1,7	-1,4	5,0**
	β Сар	33,7	1,7	-1,0	5,0**
Альбетум	ε Ори	61,1	1,7	-0,9	5,0**
	γ Вел	256	1,7	-0,2	5,0** Б.** Б.**
Альминту	α Гру	30,7	1,7	-0,7	5,0**
Алькор	ε Уни	24,5	1,8	-0,2	5,0** Б.** Б.**
Альдитик	γ Ори А	251	1,8	-0,1	5,0** Б.** Б.** Б.**
Лубук	α ЦМа	36,8	1,8	-1,1	5,0** Б.**

D12 Координаты некоторых городов России и мира

Город	φ	λ	Город	φ	λ
Хонолулу, США	+21°	-158°	Саранск	+54°	+45°
Лос-Анджелес, США	+34°	-118°	Тегеран, Иран	+36°	+51°
Мехико, Мексика	+18°	-99°	Экампес, Мексика	+37°	+61°
Лима, Перу	+12°	-77°	Омск	+55°	+73°
Нью-Йорк, США	+41°	-74°	Дели, Индия	+28°	+77°
Сан-Паулу, Бразилия	-23,5°	-47°	Новосибирск	+53°	+83°
Лондон, Англия	+51°	-0°	Красноярск	+56°	+93°
Берлин, Германия	+53°	+13°	Бангкок, Таиланд	+14°	+100°
Калкингурд	+35°	+21°	Иркутск	+52°	+104°
Южно-Сахалинск, КНР	+42°	+28°	Джакарта, Индонезия	+6°	+107°
Санкт-Петербург	+60°	+30°	Пекин, КНР	+40°	+116°
Киев, Украина	+40°	+31°	Ангкор	+62°	+130°
Сидней, Австралия	+35°	+153°	Владивосток	+43°	+132°
Мурманск	+69°	+33°	Токио, Япония	+36°	+140°
Мадрид	+39°	+3°	Канберра, Австралия	+35°	+149°
Роттердам-на-Зоне	+5°	+4°	Агадир	+35°	+178°

D13 Некоторые общепринятые значения величин

Расстояние до центра Галактики	R_0	= 8 кпк
Абсолютная звёздная величина Млечного Пути	$M_{\text{МЛР}}$	= -21,5
Скорость вращения Млечного Пути	$V_{\text{МЛР}}$	= 240 км · с ⁻¹
Светимость Солнца	L_0	= $3,88 \cdot 10^{26}$ Вт
Винклик абсолютная величина Солнца	m_0	= -26,7
Абсолютная звёздная величина Солнца	M_0	= +4,7
Индекс цвета Солнца	$B - V L_0$	= -0,67
Эффективная температура Солнца	T_0	= 5800 К
Солнечная постоянная	E_0	= 1360 Вт · м ⁻²
Эксцентриситет орбиты Луны	e_L	= 0,055
Наклонение орбиты Луны	i_L	= 5,15°
Ближайшая звёздная величина Плутона в среднее небесное небо	$m_{\text{Пл}}^*$	= -12,3
Пренебрежимо малая скорость света		= 6
Разрешающая способность глаза		= 1'
Диаметр зрачка глаза у взрослого		= 6 мм

Штаб сборной команды Российской Федерации
на Международной олимпиаде по астрономии и астрофизике

Астрономические олимпиады
vk.com/astroolympiads

Астрофизический дивертимент
Задачи и упражнения по астрономии и астрофизике
Учебно-методическое пособие

*Веселова Ангелина Владимировна
Волобуева Мария Игоревна
Пирогов Михаил Александрович
Утешев Иван Александрович*

Подписано в печать 13.03.2018 г.
Формат 60x90/16. Бумага офсетная. Нечать цифровая.
Тираж 300 экз. Заказ № 74313.

Отпечатано в типографии «Onebook.ru»
ООО «Сам Полиграфист»
129090 г. Москва, Протопоповский переулок, 6
www.onebook.ru